



РУКОВОДЯЩИЙ НОРМАТИВНЫЙ ДОКУМЕНТ

АППАРАТЫ ВЫПАРНЫЕ

Нормы и методы расчета на прочность

РД 26-01-55-84

Издание официальное

УТВЕРЖДЕН Начальником Союзхиммаша

ВВЕДЕН В ДЕЙСТВИЕ ПРИКАЗОМ по Всесоюзному промышленному
объединению № 53 от "23" мая 1984 г.

ИСПОЛНИТЕЛИ П.С.Марченко (руководитель разработки)

Н.Д.Шрапова

В.Н.Нелюба

Д.Г.Ряузов

СОГЛАСОВАН НИИХИММАШ

УДК

Группа Г 02

РУКОВОДЯЩИЙ НОРМАТИВНЫЙ ДОКУМЕНТ

АППАРАТЫ ВЫПАРНЫЕ

PI 26-01-55- 84

Нормы и методы расчета на прочность

Взамен РТМ 26-01-55-73

Приказом по Всесоюзному промышленному объединению
от "23" мая 1984 г. № 53 срок введения
установлен с 01.01.1986

Настоящий руководящий технический материал устанавливает нормы и методы расчета на статическую и малоцикловую прочность сборных единиц и деталей выпарных и опреснительных установок на ЭВМ.

Расчеты на прочность производят для различных состояний, которые могут иметь место при монтаже, пуске, эксплуатации или испытаниях вышарного аппарата с целью выявления максимальных напряжений и определения условных упругих напряжений, необходимых для оценки малоцикловой прочности. Нормативный материал применим при соблюдении требований ГОСТ 14249-80, ОСТ 26-291-79 и ОСТ 26-01-II2-79.

Издание официальное

Перепечатка воспрещена

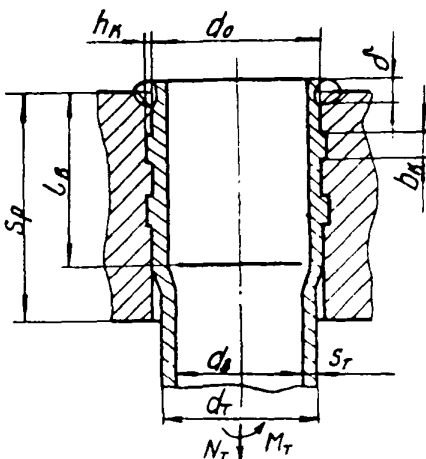
I. РАСЧЕТ ГРЕЮЩИХ КАМЕР

I.I. Исходные данные

I.I.I. Общие

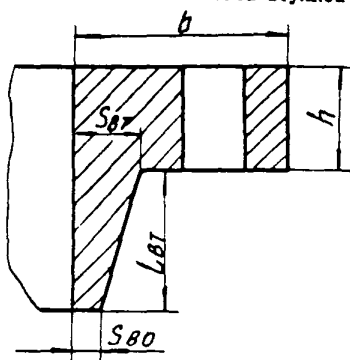
- D - внутренний диаметр кожуха ($D = 2a$), мм;
 S_K - толщина стенки кожуха, мм;
 S_t - толщина стенки кожуха в зоне присоединения к решетке, мм;
 L - длина теплообменных труб, мм;
 l_n - максимальное расстояние от решетки до перегородки, мм;
 l_{pr} - приведенная длина, мм ($l_{pr} = l_n/3$ - если есть перегородки по межтрубному пространству; $l_{pr} = l_n/2$ - если нет перегородок);
 d_t - наружный диаметр теплообменной трубы, мм;
 S_t - толщина стенки теплообменной трубы, мм;
 d_b - внутренний диаметр теплообменной трубы, мм;
 $(d_b = d_t - 2S_t$ или принимается конструктивно);
 f_t - площадь сечения теплообменной трубы, мм^2
 $(f_t = \pi(d_t - S_t)S_t$ или принимается конструктивно);
 f - шаг расположения отверстий в трубной решетке, мм;
 f_i - площадь трубной решетки, приходящаяся на одну трубу, мм^2
 $(f_i = \sqrt{3} f^2/2$ - при треугольном размещении труб;
 $f_i = f^2$ - при квадратном);
 d_o - диаметр отверстий в решетке, мм;
 N_K - число канавок в отверстии под теплообменную трубу в том случае, если вальцаются трубы в отверстия с канавками (черт.1);
 b_K - ширина канавок, мм;
 h_K - глубина канавок, мм;
 S_p - толщина трубной решетки, мм;
 l_B - глубина разваливовки труб, мм;
 χ_B - расстояние от плоскости вальцевания до серединной плоскости решетки (черт.3), мм;
 δ - высота сварного шва в месте приварки трубы к решетке, мм;

Крепление теплообменной трубы к трубной решетке



Черт. 1

Фланец с конической втулкой



Черт. 2

S_{tp} - приведенная глубина, мм ($S_{tp} = l_g$ - при креплении труб разъемной или приваркой с разъемной; $S_{tp} = \delta$ - при креплении труб приваркой);

σ_r - расчетный радиус перфорированной части трубной решетки, мм.

Принимается равным расстоянию от оси аппарата до оси наименее удаленной трубы в трубном пучке (черт.4);

$[y]$ - допускаемый прогиб теплообменных труб, мм. Принимается меньше зазора между трубами с учетом начальной погибы труб ($[y] = 0,5 \dots 0,9 (f - d_r)$);

C - сумма необходимых прибавок к расчетной толщине на возможные утонения при изготовлении и эксплуатации, мм. Задается для каждой из рассчитываемых деталей;

t_0 - начальная температура, $^{\circ}\text{C}$ ($t_0 = 20 \text{ } ^{\circ}\text{C}$);

σ_{tr} , σ_{tr} - предел текучести материалов решетки и труб при начальной температуре, МПа;

α_p , α_r , α_k - коэффициенты линейного расширения материалов решетки, труб и кожуха, $1/{}^{\circ}\text{C}$;

E_p , E_r , E_k - модули продольной упругости материалов решетки, труб и кожуха, МПа.

Для каждого из расчетных режимов задается:

P_T , P_M - давление избыточное (наружное со знаком минус) в трубном и межтрубном пространствах, МПа;

t_{PT} , t_{PM} - температуры решетки со стороны трубного и межтрубного пространств, $^{\circ}\text{C}$;

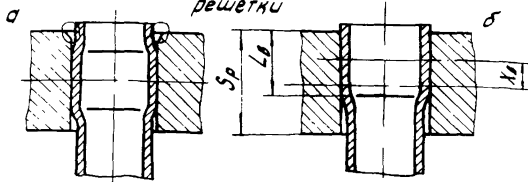
t_p , t_r , t_k - средние значения температуры решетки, труб и кожуха, $^{\circ}\text{C}$;

N - число циклов нагружения (повторений данного расчетного режима) за весь период эксплуатации;

$\{\sigma\}$ - допускаемое напряжение, МПа. Принимается по ГОСТ 14249-80 или другой руководящей нормативной документации для каждой из рассчитываемых деталей;

ν - коэффициент Цуассона ($\nu = 0,3$).

Схемы для определения расстояния от
плоскости вальцевания до серединной плоскости
решетки

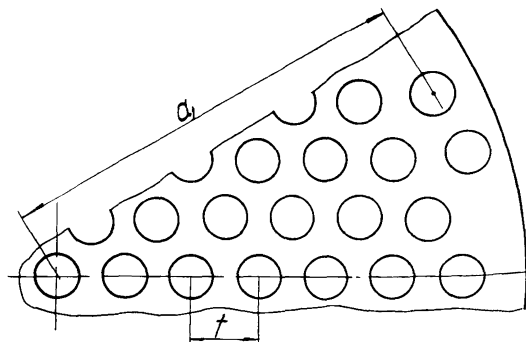


$$x_0 = 0$$

$$x_0 = \frac{Sp - L_0}{2}$$

черт. 3

Схема для определения расчетного радиуса
перфорированной части трубной решетки



При равномерном заполнении площади решетки
трубами $d_1 \approx \sqrt{4f_1/\pi}$

черт. 4

I.I.2. Для греющих камер чарт.8. . .12.

S_2 - толщина стенки камеры,мм. Отдельные конструкции вместо камеры имеют днище, циркуляционную трубу или другие детали, образующие трубное пространство;

S_2 - толщина стенки камеры в месте присоединения к трубной решетке или фланцу,мм;

α_2 - коэффициент линейного расширения материала камеры, $1/^\circ\text{C}$

E_2 - модуль продольной упругости материала камеры, МПа;

t_2 - расчетная температура камеры в месте присоединения к решетке или фланцу, $^\circ\text{C}$.

I.I.3. Для греющих камер чарт.9...II, содержащих фланцевые разъемы

h_1, h_2 - толщина кольца фланца кожуха и камеры,мм;

b_1, b_2 - ширина кольца фланца кожуха и камеры,мм;

R_1, R_2 - средние радиусы поперечных сечений колец фланцев кожуха и камеры,мм;

S_1, S_2 - толщины стенок кожуха и камеры в местах присоединения к фланцу кожуха и камеры,мм. Для фланцев с коническими втулками (черт.2) значения S_1 и S_2 принимаются равными S_3 :

$$S_3 = \mathcal{X} S_{80}; \mathcal{X} = 1 - \frac{(j_{\text{вт}} - 1) \chi_{\text{вт}}}{\chi_{\text{вт}} + 100 + 1}, \chi_{\text{вт}} = \frac{4l_{\text{вт}}}{\sqrt{D} S_{80}}; j_{\text{вт}} = \frac{S_{\text{вт}}}{S_{80}};$$

$S_{\text{вт}}, S_{80}$ - толщины стенок конической втулки в месте присоединения к кольцу фланца и оболочке,мм;

$l_{\text{вт}}$ - высота конической втулки,мм;

$R_{\text{п}}$ - радиус срединной окружности прокладки;

$S_{\text{п}}$ - толщина прокладки,мм;

$b_{\text{п}}$ - ширина прокладки в зоне сжатия,мм. Для резиновых прокладок принимается приведенная ширина по ОСТ 26-373-78;

$E_{\text{п}}$ - модуль упругости материала прокладки,МПа. Принимается по ОСТ 26-373-78 или другой руководящей нормативной документацией;

- y_n - линейная податливость прокладки, $\text{мм}/\text{Н}$ ($y_n = S_n / 2\pi R_n b_n E_n$);
 $q/9$ - минимальное и допускаемое удельное давление на прокладку, МПа . Принимается по ОСТ 26-373-78;
 m - прокладочный коэффициент. Принимается по ОСТ 26-373-78;
 n_δ - количество болтов или шпилек;
 R_δ - радиус болтовой окружности, мм ;
 d_δ - диаметр болта или шпильки, мм ;
 f_δ - площадь поперечного сечения болта или шпильки, мм^2 . Определяется по внутреннему диаметру резьбы;
 l_δ - расчетная длина болта ($l_\delta = h_1 + h_2 + S_n + 0,3 d_\delta$) или шпильки ($l_\delta = h_1 + h_2 + S_n + 0,6 d_\delta$), мм ;
 E_δ - модуль продольной упругости материала болтов или шпилек, МПа ;
 y_δ - линейная податливость болтов или шпилек, $\text{мм}/\text{Н}$ ($y_\delta = l_\delta / E_\delta f_\delta n_\delta$);
 α_δ - коэффициент линейного расширения материала болтов или шпилек, $1/^\circ\text{C}$;
 t_δ - расчетная температура болтов или шпилек, $^\circ\text{C}$;
 $[\sigma]_\delta^{20}/[\sigma]_\delta^t$ - допускаемое напряжение для материала болтов или шпилек при 20 $^\circ\text{C}$ и при расчетной температуре, МПа . Принимается по ОСТ 26-373-78 или другой руководящей нормативной документации;
 Q_δ^0 - усилие затяжки болтов, $\text{Н}/\text{мм}$ ($Q_\delta^0 = f_\delta [\sigma]_\delta^{20} / 2\pi R_\delta$);
 $t_\phi (t_{\phi 1}, t_{\phi 2})$ - расчетная температура фланца, $^\circ\text{C}$;
 $\alpha_\phi (\alpha_{\phi 1}, \alpha_{\phi 2})$ - коэффициент линейного расширения материала фланца, $1/^\circ\text{C}$;
 $E_\phi (E_{\phi 1}, E_{\phi 2})$ - модули продольной упругости материала фланца, МПа ;
 $\lambda_\phi (\lambda_{\phi 1}, \lambda_{\phi 2})$ - приведенные значения податливости фланцев, $\text{мм}/\text{Н}$

$$(\lambda_{\phi 1} = \delta R_1 / (R_\delta - R_n) D / E_{\phi 1} b_1 h_1^3);$$

$$\lambda_{\phi 2} = \delta R_2 / (R_\delta - R_n) D / E_{\phi 2} b_2 h_2^3).$$

I.1.4. Для греющей камеры черт. II

D_H - наружный диаметр трубной решетки, мм;

S_P - толщина решетки в зоне присоединения к кожуху, мм.

I.1.5. Для греющей камеры с кольцевой полостью для отвода конденсата (черт. I2)

L_K - длина кожуха, мм;

L_o - длина цилиндрической обечайки в зоне образования полости для отвода конденсата, мм;

S_o - толщина стенки цилиндрической обечайки, мм;

D_o - радиус цилиндрической обечайки, мм;

S_{pl} - толщина кольцевой пластины, мм;

α_o, α_{pl} коэффициент линейного расширения материалов цилиндрической обечайки и кольцевой пластины, $1/^\circ\text{C}$;

E_o, E_{pl} модули продольной упругости материалов цилиндрической обечайки и кольцевой пластины, МПа.

I.2. Определение возможности развальцовки труб в решетке

I.2.1. Остаточное давление определяется по формуле

$$P_{o\tau} = \min \left\{ P_{o\tau}; \frac{1}{B_c} \left[(B_c - 1) P_{o\tau} - P_{o\tau} \right] \right\},$$

где $d_3 = \sqrt{\frac{6\sqrt{3}}{\pi}} f^2 - 2d_o^2$ при треугольном размещении труб;

$d_3 = \sqrt{\frac{8f^2}{\pi}} - d_o^2$ при квадратном размещении труб;

$$\lambda_T = \frac{d_o}{d_o - 2S_T}; \quad B_T = \frac{\lambda_T^2 + 1}{\lambda_T^2 - 1} - 0,43;$$

$$\lambda_3 = \frac{d_3}{d_o}; \quad B_3 = \frac{\lambda_3^2 + 1}{\lambda_3^2 - 1} + 0,43;$$

$$K_3 = \min \left\{ l_n \lambda_3; 1 \right\}; \quad B_c = \frac{\lambda_T^2 - 1}{2} \left(B_T + \frac{E_T}{E_P} B_3 \right);$$

$$P_{o\tau} = \frac{2}{\sqrt{3}} \sigma_{TT} l_n \lambda_T; \quad P_{o\tau} = \frac{2}{\sqrt{3}} \sigma_{TP} K_3.$$

I.2.2. Условие возможности развалцовки труб в решетке^к

$$P_{ост} > 0.$$

I.2.3. Условие применимости расчетных формул

$$d_3 \leq 1,2(2t - d_0).$$

I.2.4. Требуемая степень развалцовки теплообменных труб рассчитывается по формуле

$$\mathcal{E} = (I \dots I, 5) \frac{(d_{BB} - d_B) - (d_o - d_T)}{d_o} 100\%,$$

где

$$d_{BB} = d_o \left\{ 1 + \frac{1}{E_p} \left[\sqrt{3} \lambda_3 \sigma_{Tp} + 0,91 B_3 (P_{ост} - P_{o3}) \right] \right\};$$

$$\lambda_K = \sqrt{1 + \frac{\pi K b_K}{l_B} \left[\frac{(d_o + 2h_K)^2}{d_{BB}^2} - 1 \right]} ; \quad d_{BB} = \sqrt{\left(\lambda_K d_{BB} \right)^2 - \frac{4f_r}{\pi}} .$$

I.3. Определение минимальной толщины трубной решетки

Толщина трубной решетки назначается конструктивно.

I.3.1. Принятая толщина трубной решетки должна удовлетворять условию прочности беструбной зоны:

$$S_p \geq 0,5 D_E \sqrt{\frac{P_r - P_m}{[\sigma]}} + C ,$$

$$\text{где } D_E = \max \left\{ D'_E, D''_E, \dots \right\} ;$$

D'_E, D''_E - диаметры окружностей, вписанных в беструбные зоны решетки (черт.5).

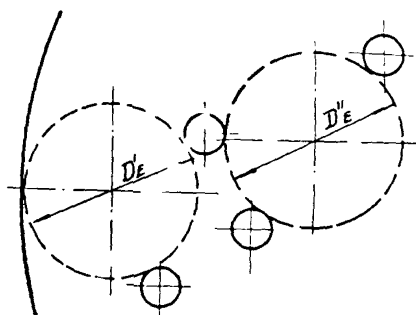
I.3.2. Для решеток, у которых крепление теплообменных труб производится развалцовкой или развалцовкой с обваркой, принятая толщина трубной решетки должна удовлетворять:

- условию возможности развалцовки

$$S_p \geq l_B , \quad l_B \geq 3,5 \sqrt{(d_r - S_r) S_r} ;$$

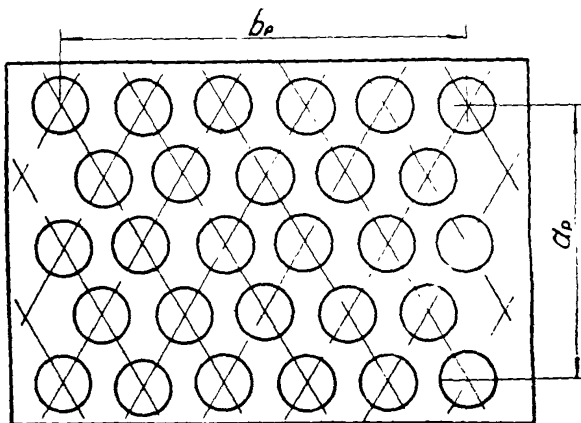
^к Отклонения размеров и свойств материалов даже в допустимых по руководящей нормативной документации пределах могут привести к тому, что не будет выполняться это условие. Поэтому гарантированная прочность вальцовочных соединений достигается при выполнении технических требований к развалцовке труб, например по ОСТ 26-17-01-83.

Схема для определения диаметра окружности, вписанной в максимальную беструбную зону решетки



Черт. 5

Схема для определения расстояния между осями крайних труб у прямоугольной решетки



Черт. 6

- условие устойчивости решетки при развалцовке*

$$S_P \geq 0,655 \sigma, \sqrt{\frac{10,92 A_4 P_{\text{ост}}}{\psi_P E_P}} \text{ для круглой решетки;}$$

$$S_P \geq 0,655 (1,3 - 0,45 \frac{D_P}{b_P}) \frac{D_P}{2} \sqrt{\frac{10,92 A_4 P_{\text{ост}}}{\psi_P E_P}} \text{ для прямоугольной.}$$

$$\text{Здесь } A_4 = \frac{1}{\lambda_P} + \psi_P \frac{1,3 - 0,7 \lambda_P}{1,3 + 0,7 \lambda_P^2}; \quad \lambda_P = \frac{t}{d_0};$$

a_P, b_P - расстояния между осями крайних труб на меньшей и большей стороне прямоугольной решетки (черт.6);

ψ_P, ψ_P - коэффициенты прочности и жесткости трубной решетки. Принимаются по п.2 приложения I.

I.3.3. Для решетки, выполненной заодно с фланцем, принятая толщина должна быть не менее толщины кольца ответного фланца. Допускается уменьшение толщины решетки по сравнению с толщиной кольца ответного фланца при условии подтверждения плотности и прочности фланцевого соединения расчетом по п.1.8.

I.4. Расчет нагрузок

I.4.1. Грелка камера погружного типа (черт.7)

Такая камера состоит из двух трубных решеток (1), соединенных между собой теплообменными трубами и кожухом (2). Камера помещается внутри выпарного аппарата. Грелый пар поступает в нее через штуцер А. Через штуцер Б сливают конденсат. Помимо расчета характеристик трубной решетки по п.2 приложения I производится расчет коэффициентов B_{11}, B_{12}, B_{22} по п.3 приложения I при $S = \delta, R = a$.

Нагрузки, М, Н определяются при решении системы линейных алгебраических уравнений:

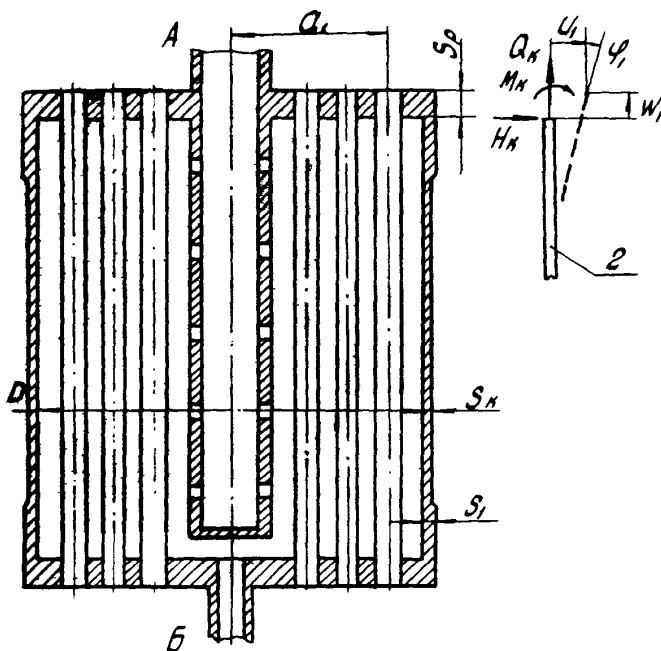
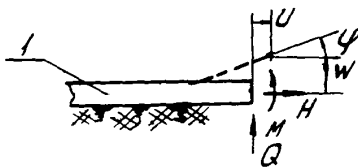
$$\left. \begin{aligned} a_{11} Q_a + a_{12} M &= P_1, \\ a_{21} Q_a + a_{22} M + a_{23} H S_1 &= P_2, \\ a_{31} Q_a + a_{32} M + a_{33} H S_1 &= P_3, \end{aligned} \right\}$$

где

$$Q_1 = \frac{D_P L}{2 E_K S_K a^3}; \quad Q_2 = \frac{D_P}{E_K S^2 a}; \quad Q_3 = \frac{S_P}{2 S_1};$$

* Допускается применение решеток меньшей толщины при использовании специальных приемов вальцевания труб, препятствующих выпучиванию (потере устойчивости) трубных решеток.

Греческая камера погружного типа



черт. 7

$$a_{11} = T_{11} + P_1; a_{12} = a_{21} = T_{12}; w_r = \frac{1}{K} (\alpha_r P_m - \alpha_r P_r) + \frac{0,3L}{4E_r S_r} (d_r P_m - d_r P_r);$$

$$P_r = [\alpha_r (t_r - t_0) - \alpha_r (t_r - t_0) - \frac{2w_r}{L}] \frac{D_p L}{2\alpha^2} + (0,3P_1 - T_{13}) / (P_r - P_m) \alpha^2;$$

$$a_{22} = T_{22} + P_2 B_{11}^k; a_{23} = -P_2 (B_{12}^k + P_3 B_{11}^k); P_2 = T_{23} (P_m - P_r) \alpha^2;$$

$$a_{31} = 0,3; a_{32} = B_{12}^k + P_3 B_{11}^k; a_{33} = -B_{22}^k - \frac{E_r \alpha T_{33}}{E_p S_p} - P_3 (2B_{12}^k + P_3 B_{11}^k);$$

$$P_3 = (\alpha_r - \alpha_k) (t_r - t_0) E_r S_r \alpha + (P_r - P_m) \alpha^2$$

Нагрузки остальных деталей определяются по формулам:

$$q_k = -q; M_k = M - 0,5 H S_p; H_k = -H.$$

1.4.2. Греющая камера с решетками, вваренными в кожух (черт. 2)

Рассматриваемая греющая камера состоит из двух трубных решеток (1) кожуха (2) и днищ, или других деталей выпарного аппарата (3). Помимо расчета характеристик трубной решетки по п.2 приложения I производится расчет коэффициентов $B_{11}^k, B_{12}^k, B_{22}^k, K_q, K_p$ по п.3 приложения I при $S = S_1, R = \alpha$. Значения коэффициентов $B_{11}^d, B_{12}^d, B_{22}^d$ принимаются по п.3 приложения I при $S = S_2, R = \alpha$.

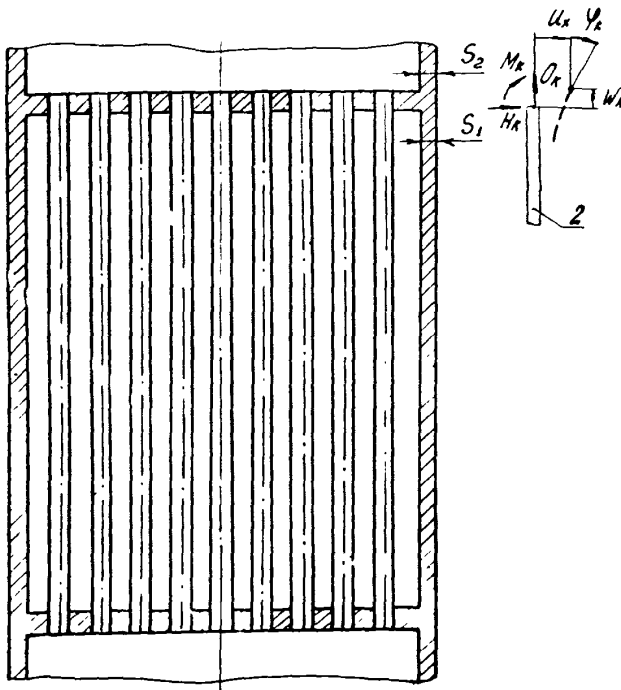
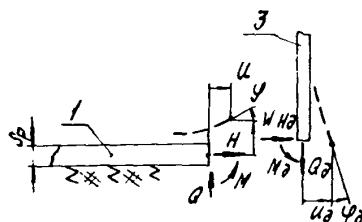
Нагрузки q, M, H определяются при решении системы линейных алгебраических уравнений:

$$\left. \begin{array}{l} a_{11} Q \alpha + a_{12} M = P_1, \\ a_{21} Q \alpha + a_{22} M + a_{23} H S_1 = P_2; \\ a_{31} Q \alpha + a_{32} M + a_{33} H S_1 = P_3, \end{array} \right\}$$

где $P_1 = \frac{D_p L}{2E_r S_r \alpha^3}; P_2 = \frac{D_p}{E_r S_1^2 \alpha}; P_3 = \frac{S_p}{2S_1};$

$$P_4 = \frac{E_r S_1}{E_d S_2}; P_5 = \frac{S_p}{2S_2};$$

Греющая камера с решетками, вваренными в кожух



Черт. 8

$$B''^K = B''^K + \rho_4 \frac{S_1 B''^{\partial}}{S_2};$$

$$\bar{B}_{21}^K = B_{12}^K - \rho_4 B_{12}^{\partial} + \frac{B_{11}^K S_p}{S_1};$$

$$\bar{B}_{12}^K = B_{12}^K - \rho_4 (B_{12}^{\partial} + \frac{B_{11}^{\partial} S_p}{S_2});$$

$$\bar{B}_{22}^K = B_{22}^K - \rho_4 (B_{12}^K S_p + B_{22}^{\partial} S_2);$$

$$\Delta = \bar{B}_{11}^K \bar{B}_{22}^K - \bar{B}_{12}^K \bar{B}_{21}^K; \quad \Delta_{11} = \frac{\bar{B}_{11}^K}{\Delta}; \quad \Delta_{12} = \frac{\bar{B}_{12}^K}{\Delta};$$

$$\Delta_{21} = \frac{\bar{B}_{21}^K}{\Delta}; \quad \Delta_{22} = \frac{\bar{B}_{22}^K}{\Delta}; \quad \bar{B}_{11}^{\partial} = \rho_4 \frac{B_{11}^{\partial} S_1}{S_2};$$

$$\bar{B}_{12}^{\partial} = \rho_4 (B_{12}^{\partial} + \rho_5 B_{11}^{\partial}); \quad \bar{B}_{21}^{\partial} = \rho_4 B_{12}^{\partial}; \quad \bar{B}_{22}^{\partial} = \rho_4 (B_{22}^{\partial} + \rho_5 B_{12}^{\partial});$$

$$P_4 = (\alpha_k - \alpha_p) (t_p - t_0) E_k S_1 \alpha + (0,15 + 0,85 \rho_4) P_r \alpha^2 - P_m \alpha^2;$$

$$\Delta_{2M} = \Delta_{12} \bar{B}_{21}^{\partial} + \Delta_{22} \bar{B}_{11}^{\partial}; \quad \Delta_{2H} = \frac{S_2}{S_1} \Delta_{12} \bar{B}_{22}^{\partial} + \Delta_{22} \bar{B}_{12}^{\partial};$$

$$\Delta_{3M} = \Delta_{11} \bar{B}_{21}^{\partial} + \Delta_{21} \bar{B}_{11}^{\partial}; \quad \Delta_{3H} = \frac{S_2}{S_1} \Delta_{11} \bar{B}_{22}^{\partial} + \Delta_{21} \bar{B}_{12}^{\partial};$$

$$C_{11} = T_{11} + \rho_1 K_p; \quad C_{12} = T_{12}; \quad W_T = \frac{1}{K} (\alpha_k P_m - \alpha_p P_r) + \frac{0,3 L}{4 E_s S_r} (d_r P_m - d_p P_r);$$

$$P_r = [\alpha_k (t_k - t_0) - \alpha_p (t_p - t_0) - \frac{2 W_T}{L}] \frac{D_p L}{2 \alpha^2} + \rho_1 (0,5 K_p P_r - 0,3 K_p P_m) \alpha^2 + T_{13} (P_m - P_r) \alpha^2;$$

$$C_{21} = T_{12} + 0,3 Q_2 (B_{11}^K \Delta_{12} - B_{12}^K \Delta_{11}); \quad C_{22} = T_{22} + Q_2 (B_{11}^K \Delta_{2M} - B_{12}^K \Delta_{3M}); \quad C_{23} = Q_2 (B_{11}^K \Delta_{2H} - B_{12}^K \Delta_{3H}),$$

$$P_2 = T_{23} (P_m - P_r) \alpha^2 + Q_2 (B_{11}^K \Delta_{12} - B_{12}^K \Delta_{11}) P_4;$$

$$Q_{31} = 0,3 [\Delta_{11} (B_{22}^K + \rho_3 B_{12}^K) - \Delta_{12} (B_{12}^K + \rho_3 B_{11}^K) - 1]; \quad Q_{32} = \Delta_{3M} (B_{22}^K + \rho_3 B_{12}^K) - \Delta_{2M} (B_{12}^K + \rho_3 B_{11}^K);$$

$$Q_{33} = \frac{E_s \alpha T_{33}}{E_p S_p} - \Delta_{2H} (B_{12}^K + \rho_3 B_{11}^K) + \Delta_{3H} (B_{22}^K + \rho_3 B_{12}^K);$$

$$P_3 = (\alpha_k - \alpha_p) (t_p - t_0) E_k S_1 \alpha + P_m \alpha^2 - 0,15 P_r \alpha^2 + [\Delta_{11} (B_{22}^K + \rho_3 B_{12}^K) - \Delta_{12} (B_{12}^K + \rho_3 B_{11}^K)] P_4.$$

Нагрузки остальных деталей определяются по формулам:

$$Q_k = 0,5 P_r \alpha - Q; \quad M_k = \Delta_{12} (0,3 Q \alpha - P_4) + \Delta_{2M} M + \Delta_{2H} H S_1;$$

$$H_k = \frac{1}{B_{12}^K S_1} (\bar{B}_{11}^{\partial} M + \bar{B}_{12}^{\partial} H S_1 - \bar{B}_{11}^K M_k); \quad Q_d = \frac{P_r \alpha}{2};$$

$$M_d = M_k - H_k S_p - M - 0,5 H S_p; \quad H_d = - H - H_k.$$

1.4.3. Греческая камера с решетками, выполненными заодно с плоскими фланцами (черт. 9)

Такая камера состоит из трубных решеток (1), кожуха (2), днища (3) и фланцев кожуха (4) и днища (5). Помимо расчета характеристик трубной решетки по п. 2 приложения I производится расчет коэффициентов $B_{II}^K, B_{I2}^K, B_{22}^K, K_q, K_p$ по п. 3 приложения I при $S = S_1, R = \sigma$. Значения коэффициентов $B_{II}^\theta, B_{I2}^\theta, B_{22}^\theta$ принимаются по п. 3 приложения I при $S = S_2, R = \sigma$.

Начальные значения Q^0, M^0, H^0 , возникающие при затяжке болтов фланцевого разъема, определяются при решении системы линейных алгебраических уравнений

$$\left. \begin{array}{l} a_{11} Q^0 + a_{12} M^0 = 0, \\ a_{21} Q^0 + a_{22} M^0 + a_{23} H^0 S_1 = 0 \\ a_{31} Q^0 + a_{32} M^0 + a_{33} H^0 S_1 = \frac{R\delta - R\eta}{\sigma} Q_\delta^0 R_\delta. \end{array} \right\}$$

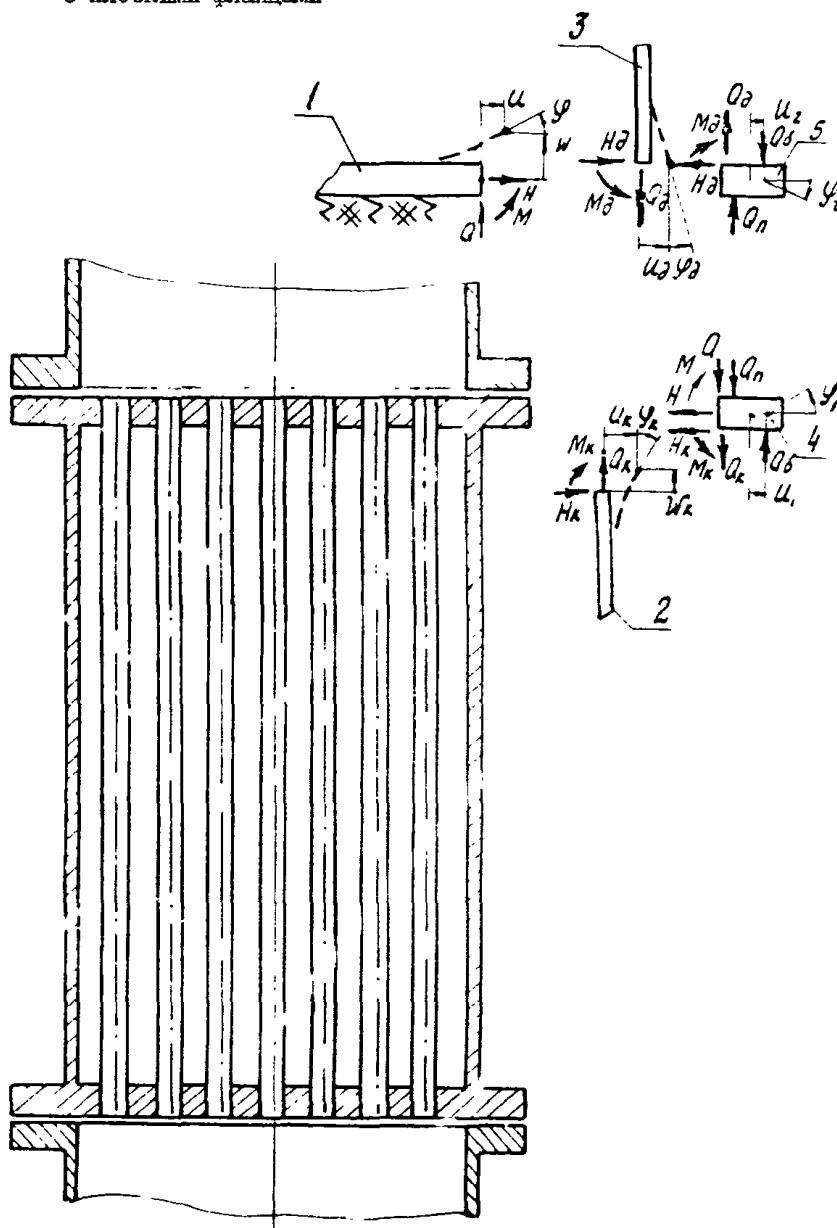
Приращения нагрузок Q', M', H' , возникающие при разогреве и подаче давлений в трубное и межтрубное пространства, определяются при решении системы линейных алгебраических уравнений:

$$\left. \begin{array}{l} a_{11} Q' + a_{12} M' = P_1, \\ a_{21} Q' + a_{22} M' + a_{23} H' S_1 = P_2, \\ a_{31} Q' + a_{32} M' + a_{33} H' S_1 = P_3. \end{array} \right\}$$

Здесь $P_1 = \frac{D_p L}{2E_k S_k \sigma^3}; P_2 = \frac{D_p}{E_k S_1^2 \sigma}; P_3 = \frac{S_p}{2S_1}; P_4 = \frac{h_2}{2S_2};$

$$P_5 = 1 + \frac{b_1 h_1}{R_1 S_p} T_{33}; P_6 = \frac{E_p b_1 h_1^3}{12 R_1 D_p}; P_7 = \frac{E_{\varphi 2} b_2 h_2^3}{12 E_2 R_2 S_2^2 \sigma}; P_8 = \frac{E_2 R_2 \sigma}{E_{\varphi 2} b_2 h_2};$$

Грекшая камера с решетками, выполненная из заодно
с плоскими фланцами



$$\sigma_n = T_n + P_n K_g, \quad \sigma_{12} = T_{12}, \quad w_r = \frac{1}{K} (\alpha_r P_n - \alpha_r P_f) + \frac{0.3L}{4E_r S_r} (d_r P_n - d_f)$$

$$P_r = [\alpha_n (t_n - t_f) - \alpha_r (t_r - t_f) - \frac{2W_f}{L}] \frac{D_r L}{2\sigma^2} + T_{13} (P_n - P_f) \sigma^2 P_r / (0.5 K_g P_f - 0.3 L)$$

$$\sigma_{51} = \frac{1}{B_2^K + P_5 B_2^K}, \quad \sigma_{53} = \sigma_{51} \left[\frac{E_n \sigma T_{33}}{E_p S_p} + P_5 (B_{22}^K + P_5 B_{12}^K) \right];$$

$$P_5 = \sigma_{51} [(\alpha_r - \alpha_n) (t_n - t_f) E_n S_r \sigma + (0.15 P_f - P_n) \sigma^2]; \quad \sigma_{21} = T_{12} - 0.3 \rho_2 B_2$$

$$\sigma_{22} = T_{22}; \quad \sigma_{23} = P_2 (B_{11}^K \sigma_{53} - P_5 B_{12}^K); \quad P_2 = T_{23} (P_n - P_f) \sigma^2 / P_2 B_{11}^K P_5;$$

$$\sigma_{31} = P_6 T_{12} + 0.3 \sigma_{51}; \quad \sigma_{32} = 1 + P_6 T_{22}; \quad \sigma_{33} = -(\sigma_{53} + P_5 \frac{h_1}{2S_r});$$

$$\bar{P}_3 = P_6 T_{23} (P_n - P_f) \sigma^2 + (R_n + \frac{b_1}{2} - R_1) \frac{P_7 \sigma}{2} + P_5;$$

$$\sigma_{44} = \frac{B_{11}^2 + P_4 B_{11}^2}{B_{22}^2 + P_4 B_{12}^2 + P_8}; \quad P_6 = \frac{(\alpha_{\phi 2} \alpha_{\phi 2} \sqrt{t_0 - t_f}) E_2 S_2 \sigma + (\beta_8 h_2 S_2 - 0.85 \sigma)}{B_{22}^2 + P_4 B_{12}^2 + P_8}$$

$$\sigma_{45} = \frac{1}{1 + P_7 (B_{11}^2 - \sigma_{44} B_{12}^2) + P_4 \sigma_{44}}; \quad P_7 = \sigma_{45} \left[(R_7 + \frac{b_2}{2} - R_2) \frac{P_7 \sigma}{2} + (\beta_3 B_2^2) \right]$$

$$\Delta_f = \alpha_{\phi 1} h_1 (t_{\phi 1} - t_f) + \alpha_{\phi 2} h_2 (t_{\phi 2} - t_f) - \alpha_5 (h_1 + h_2) (t_0 - t_f);$$

$$\Delta_f = \alpha_{\phi 1} h_1 (t_{\phi 1} - t_f) + \alpha_{\phi 2} h_2 (t_{\phi 2} - t_f) - \alpha_5 (h_1 + h_2) (t_0 - t_f);$$

$$\lambda_{np} = \lambda_{\phi 1} + \lambda_{\phi 2} [1 - \sigma_{45} (1 + P_4 \sigma_{44})] + \frac{2\pi \sigma (y_{\phi 1} + y_{\phi 2})}{R_2 - R_1},$$

$$\sigma_{41} = \frac{0.3 \lambda_{\phi 1}}{\lambda_{np}} \sigma_{51}; \quad \sigma_{42} = \frac{\lambda_{\phi 1}}{\lambda_{np}}, \quad \sigma_{43} = \frac{\lambda_{\phi 1}}{\lambda_{np}} (\sigma_{53} + P_5 \frac{h_1}{2S_r})$$

$$P_4 = \frac{1}{\lambda_{np}} \left\{ \Delta_f + [2\pi \sigma y_n - \lambda_{\phi 1} (R_7 + \frac{b_1}{2} - R_1) - \lambda_{\phi 2} (R_7 + \frac{b_2}{2} - R_2)] \right\} -$$

$$- \lambda_{\phi 1} P_5 + \lambda_{\phi 2} [P_7 + P_4 (P_6 + \sigma_{44} P_7)], \quad P_3 = \bar{P}_3 + P_4;$$

$$\bar{\sigma}_{31} = \sigma_{31} - \sigma_{41}; \quad \bar{\sigma}_{32} = \sigma_{32} - \sigma_{42}, \quad \bar{\sigma}_{33} = \sigma_{33} + \sigma_{43}$$

Приращение нагрузки болтов фланцевого разъема определяется по формуле

$$Q'_\delta = \frac{a}{R_\delta(R_\delta - R_n)} (P_4 + a_{41} Q'_a + a_{42} M' - a_{43} H' S_1) .$$

В расчетном состоянии нагрузки Q , M , H , Q_B определяются по формулам:

$$Q = Q^0 + Q'_0; \quad M = M^0 + M'; \quad H = H^0 + H'; \quad Q_B = Q_B^0 + Q'_B$$

Нагрузки остальных деталей в расчетном состоянии, их начальные значения или приращения определяются по формулам:

$$\begin{aligned} Q_n &= \frac{1}{R_n} (Q_\delta R_\delta - 0.5 P_T a^2); & Q_K &= 0.5 P_T a - Q; \\ M_K &= P_5 - 0.3 a_{51} Q_a + a_{53} H S_1; & H_K &= -P_5 H; \\ Q_\partial &= 0.5 P_T a; & M_\partial &= -\left(P_7 + a_{45} \frac{R_\delta - R_n}{a} Q_\delta R_\delta\right); \\ H_\partial &= \frac{1}{S_2} (P_6 - a_{44} M_\partial). \end{aligned}$$

Углы поворота фланцев определяются по формулам:

$$\varphi_1 = -\frac{1}{E_K S_1^2} (B_{11}^K M_K + B_{12}^K H_K S_1), \quad \varphi_2 = -\frac{1}{E_\partial S_2^2} (B_{11}^\partial M_\partial + B_{12}^\partial H_\partial S_2).$$

1.4.4. Греющая камера с решетками, вваренными во фланцы с конической втулкой (черт. 10)

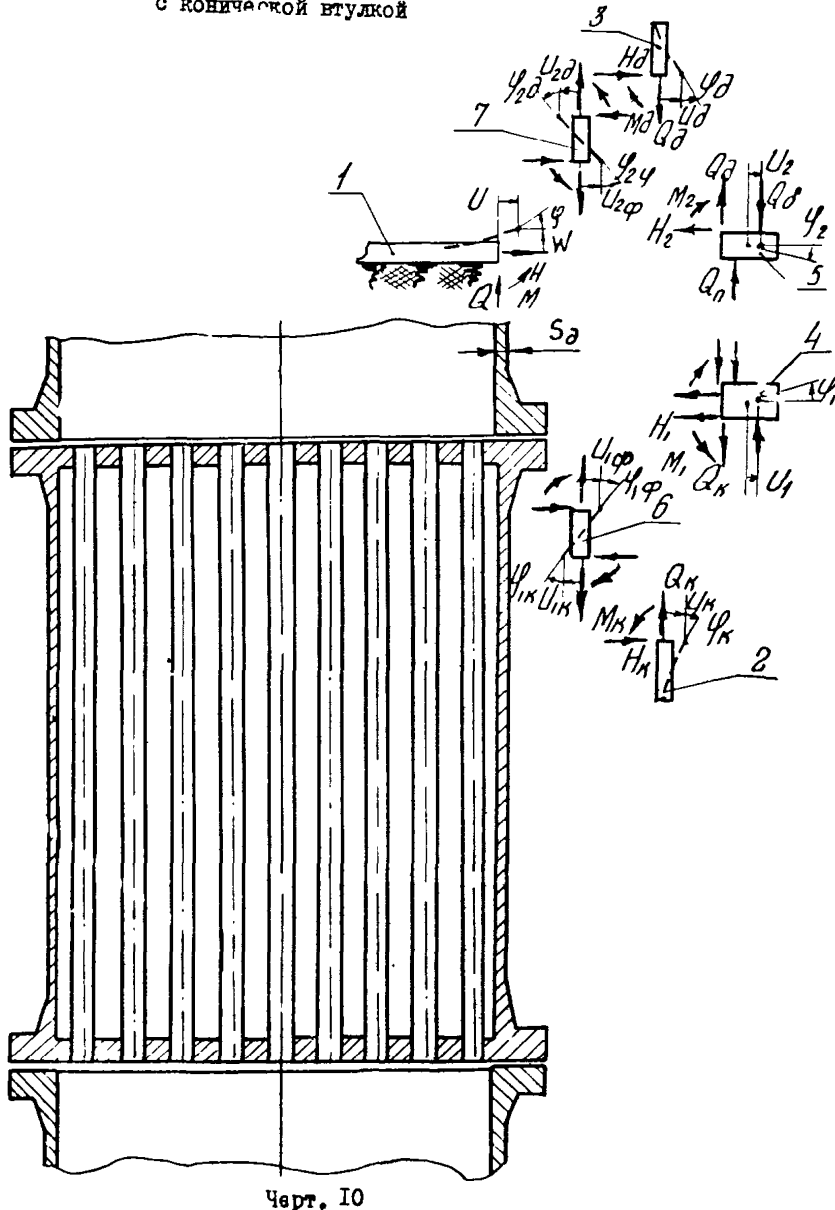
Данная камера состоит из трубных решеток (1), кожуха (2), днищ (3), фланца кожуха (4), фланца днища (5) и втулок (6,7), выполненных заодно с фланцами. Помимо расчета характеристик трубной решетки по п. 2 приложения I производится расчет коэффициентов B_{11}^K , B_{12}^K , B_{22}^K , K_g , K_F , по п. 3 приложения I при $S = S_K$, $R = a$.

Значения коэффициентов B_{II} , B_{I2} , B_{I3} , B_{I4} , B_{22} , B_{24} принимаются по п. 3 приложения I при $S = S_{\partial}$, $R = Q$, $L = L_{\partial}$, $R = a$, Значения коэффициентов B_{II} , B_{I2} , B_{22} принимаются по п. 3 приложения I при $S = S_{\partial}$, $R = Q$.

Начальные значения Q_K^0 , M_K^0 , H_K^0 , M_I^0 , H_I^0 , M_2^0 , H_2^0 , M_{∂}^0 , H_{∂}^0 , M^0 , H^0 , возникающие при затяжке болтов фланцевого разъема, определяются при решении системы линейных алгебраических уравнений:

$$\left. \begin{array}{l} \sigma_{1,1} Q_K^0 \\ \sigma_{2,2} M_K^0 + \sigma_{2,3} H_K^0 + \sigma_{2,4} M_I^0 + \sigma_{2,5} H_I^0 \\ \sigma_{3,1} Q_K^0 + \sigma_{3,2} M_K^0 + \sigma_{3,3} H_K^0 + \sigma_{3,4} M_I^0 + \sigma_{3,5} H_I^0 \\ \sigma_{4,2} M_K^0 + \sigma_{4,3} H_K^0 + \sigma_{4,4} M_I^0 + \sigma_{4,5} H_I^0 \\ \sigma_{5,1} Q_K^0 + \sigma_{5,2} M_K^0 + \sigma_{5,3} H_K^0 + \sigma_{5,4} M_I^0 + \sigma_{5,5} H_I^0 \\ \sigma_{6,6} M_2^0 + \sigma_{6,7} H_2^0 + \sigma_{6,8} M_{\partial}^0 + \sigma_{6,9} H_{\partial}^0 \\ \sigma_{7,6} M_2^0 + \sigma_{7,7} H_2^0 + \sigma_{7,8} M_{\partial}^0 + \sigma_{7,9} H_{\partial}^0 \end{array} \right\} \begin{array}{l} + \sigma_{1,10} M^0 = 0, \\ = 0, \\ = 0, \\ + \sigma_{4,10} M^0 + \sigma_{4,11} H^0 = -\sigma_{4,12} Q_{\partial}^0, \\ + \sigma_{5,11} H^0 = 0; \\ = -\sigma_{6,12} Q_{\partial}^0, \\ = 0, \end{array}$$

Греющая камера с решетками, вваренными во фланцы
с конической втулкой



$$\begin{aligned} \alpha_{2,6} M_2' + \alpha_{2,7} H_2' + \alpha_{2,8} M_3' + \alpha_{2,9} H_3' &= 0 \\ \alpha_{2,6} M_2' + \alpha_{2,7} H_2' + \alpha_{2,8} M_3' + \alpha_{2,9} H_3' &= 0 \end{aligned}$$

$$\begin{aligned} \alpha_{n,1} Q_n' &+ \alpha_{n,4} M_n' + \alpha_{n,5} H_n' &+ \alpha_{n,10} M_n' + \alpha_{n,11} H_n' = -\alpha_{n,2} Q_5' \\ \alpha_{n,1} Q_n' &+ \alpha_{n,5} H_n' &+ \alpha_{n,10} M_n' + \alpha_{n,11} H_n' = 0 \end{aligned}$$

Приращения нагрузок Q_n' , M_n' , H_n' , M_1' , H_1' , M_2' , H_2' , M_3' , H_3' , M_4' , H_4' , Q_5' , возникающие под действием давлений и разогрева, определяются при решении системы линейных алгебраических уравнений

$$\begin{aligned} \alpha_{1,1} Q_1' &+ \alpha_{1,10} M_1' &= P_1, \\ \alpha_{2,2} M_2' + \alpha_{2,3} H_2' + \alpha_{2,4} M_3' + \alpha_{2,5} H_3' &= 0, \\ \alpha_{3,1} Q_3' + \alpha_{3,2} M_3' + \alpha_{3,3} H_3' + \alpha_{3,4} M_4' + \alpha_{3,5} H_4' &= P_3, \\ \alpha_{4,2} M_4' + \alpha_{4,3} H_4' + \alpha_{4,4} M_1' + \alpha_{4,5} H_1' &+ \alpha_{4,10} M_1' + \alpha_{4,11} H_1' + \alpha_{4,12} Q_5' = 0, \\ \alpha_{5,1} Q_5' + \alpha_{5,2} M_5' + \alpha_{5,3} H_5' + \alpha_{5,4} M_6' + \alpha_{5,5} H_6' &+ \alpha_{5,11} H_6' = P_5, \\ \alpha_{6,6} M_6' + \alpha_{6,7} H_6' + \alpha_{6,8} M_7' + \alpha_{6,9} H_7' &+ \alpha_{6,12} Q_5' = 0, \\ \alpha_{7,6} M_6' + \alpha_{7,7} H_6' + \alpha_{7,8} M_7' + \alpha_{7,9} H_7' &= P_7, \\ \alpha_{8,6} M_2' + \alpha_{8,7} H_2' + \alpha_{8,8} M_3' + \alpha_{8,9} H_3' &= 0, \\ \alpha_{9,6} M_2' + \alpha_{9,7} H_2' + \alpha_{9,8} M_3' + \alpha_{9,9} H_3' &= P_9, \\ \alpha_{10,1} Q_1' &+ \alpha_{10,4} M_1' + \alpha_{10,5} H_1' &+ \alpha_{10,10} M_1' + \alpha_{10,11} H_1' + \alpha_{10,12} Q_5' = P_{10}, \\ \alpha_{11,1} Q_1' &+ \alpha_{11,5} H_1' &+ \alpha_{11,10} M_1' + \alpha_{11,11} H_1' = P_{11}, \\ \alpha_{12,4} M_1' + \alpha_{12,5} H_1' + \alpha_{12,6} M_2' + \alpha_{12,7} H_2' &+ \alpha_{12,10} M_2' + \alpha_{12,11} H_2' + \alpha_{12,12} Q_5' = P_{12}. \end{aligned}$$

Здесь

$$\begin{aligned} \alpha_{1,1} &= (T_{11} + Q_1 K_1) \alpha; & \alpha_{1,10} &= -T_{12}; & P_1 &= (Q_3 Q_1 K_1 - T_{13} + Q_2 \frac{d_2}{S_2} + Q_3 \alpha_1) P_{12} \alpha^2 \\ &+ \left(\frac{T_{14}}{2} + T_{13} - Q_2 \frac{d_2}{S_2} - Q_3 \alpha_1 \right) P_{12} \alpha^2 + [Q_1 (T_{11} - T_{12}) - Q_1 (T_{11} - T_{12})] \frac{D_1 L}{2 \alpha^2}; \end{aligned}$$

$$\alpha_{2,2} = B_n + Q_4 B_n' \frac{S_2}{S_n}; \quad \alpha_{2,3} = (B_{12} - Q_4 B_n') S_3; \quad \alpha_{2,4} = B_{13}; \quad \alpha_{2,5} = B_{14} S_3;$$

$$\alpha_{3,1} = 0,3(1 - Q_4) \alpha; \quad \alpha_{3,2} = B_{12} - Q_4 B_{12}'; \quad \alpha_{3,3} = B_{22} S_3 + Q_4 B_{22}' S_n; \quad \alpha_{3,4} = B_{24};$$

$$\alpha_{3,5} = B_{24} S_3; \quad P_3 = (1 - Q_4) P_{12} \alpha^2 + (\alpha_{10,1} - \alpha_{11,1}) (T_{11} - T_{12}) E_{12} \alpha S_3;$$

$$\begin{aligned}
 \alpha_{4,2} &= B_{13}, \quad \alpha_{4,3} = B_{14} S_3; \quad \alpha_{4,4} = B_n + Q_5; \quad \alpha_{4,5} = B_{12} S_2 - Q_r \frac{h_r}{2}; \quad \alpha_{4,6} = -Q_5; \\
 \alpha_{4,11} &= Q_s \frac{h_r S_2}{2}; \quad \alpha_{4,12} = P_s \frac{R_6 - R_n}{\sigma} R_\delta; \quad P_4 = Q_5 (R_r - R_n - \frac{h_r}{2}) \frac{a}{2} P_r; \\
 \alpha_{5,1} &= -Q_3 \alpha; \quad \alpha_{5,2} = B_{14} + B_{13} \frac{h_r}{2 S_3}; \quad \alpha_{5,3} = B_{14} S_2 + B_{14} \frac{h_r}{2}; \quad \alpha_{5,4} = B_{12} + B_{11} \frac{h_r}{2 S_3}; \\
 \alpha_{5,5} &= B_{22} S_3 + B_{22} \frac{h_r}{2} + \frac{a R_r S_2}{b_r h_r}; \quad \alpha_{5,11} = \frac{a R_r S_2}{b_r h_r}; \quad P_s = -P_n \alpha^2 P_r \frac{R_n S_3 (h_r - S_3)}{b_r h_r}; \\
 \alpha_{6,6} &= B_n + Q_6; \quad \alpha_{6,7} = B_{12} S_3 - Q_r \frac{h_r}{2}; \quad \alpha_{6,8} = B_{13}; \quad \alpha_{6,9} = B_{14} S_3; \\
 \alpha_{6,12} &= Q_s R_5 \frac{R_6 - R_n}{\sigma}; \quad P_6 = Q_s (R_r - R_n - \frac{h_r}{2}) \frac{a}{2} P_r; \\
 \alpha_{7,6} &= B_{12} + B_{11} \frac{h_r}{2 S_3}, \quad \alpha_{7,7} = B_{22} S_3 + B_{12} \frac{h_r}{2} + \frac{a R_r S_3}{b_r h_r}; \quad \alpha_{7,8} = B_{14} + B_{13} \frac{h_r}{2 S_3}; \\
 \alpha_{7,9} &= B_{24} S_3 + B_{14} \frac{h_r}{2}; \quad P_7 = -0.85 P_r \alpha^2 + \frac{P_2 C_1 S_3}{b_r} P_r; \\
 \alpha_{8,6} &= B_{13}; \quad \alpha_{8,7} = B_{14} S_3; \quad \alpha_{8,8} = B_{11} + Q_r B_r \frac{h_r}{2 S_3}; \quad \alpha_{8,9} = (B_{12} - Q_r R_n) S_3; \\
 \alpha_{9,6} &= B_{14}; \quad \alpha_{9,7} = B_{24} S_3; \quad \alpha_{9,8} = B_{12} - Q_r R_r \frac{h_r}{2}; \quad \alpha_{9,9} = B_{22} S_3 + Q_r B_{22} S_2; \\
 P_9 &= 0.85 (1 - Q_7) P_r \alpha^2 + (\alpha_{\varphi 2} - \alpha_p) (T_0 - T_0) E_{\varphi r} \alpha S_3, \\
 \alpha_{10,1} &= -T_{12} \alpha; \quad \alpha_{10,4} = -Q_8; \quad \alpha_{10,5} = Q_s \frac{h_r}{2}; \quad \alpha_{10,10} = T_{22} + Q_8; \quad \alpha_{10,11} = -Q_8 \frac{h_r - S_3}{2}; \\
 \alpha_{10,11} &= -Q_s R_5 \frac{R_6 - R_n}{\sigma}; \quad P_{10} = Q_8 \left(\frac{h_r}{2} + R_n - R_r \right) \frac{a}{2} P_r - \frac{T_{12}}{2} P_r \alpha^2 - T_{23} (P_r - P_n) \alpha^2; \\
 \alpha_{n,1} &= -Q_9 T_{12} \alpha; \quad \alpha_{n,5} = Q_{10} \alpha; \quad \alpha_{n,6} = Q_9 T_{22}; \quad \alpha_{n,11} = (T_{23} + Q_{10}) \alpha; \\
 P_{11} &= (\alpha_{\varphi 1} - \alpha_p) (T_{\varphi 1} - T_0) E_{\varphi r} \alpha S_p - \frac{Q_9 T_{12}}{2} P_r \alpha^2 - Q_9 T_{23} (P_r - P_n) \alpha^2 + Q_{10} (h_r - S_3) P_n \alpha; \\
 \alpha_{12,4} &= \lambda_{\varphi 1} \frac{h_r}{2}; \quad \alpha_{12,5} = -\frac{\lambda_{\varphi 1} h_r}{2}; \quad \alpha_{12,6} = \lambda_{\varphi 2} \alpha; \quad \alpha_{12,7} = -\frac{\lambda_{\varphi 2} h_r}{2}; \quad \alpha_{12,10} = -\lambda_{\varphi 1}; \\
 \alpha_{12,11} &= \lambda_{\varphi 1} \frac{h_r - S_3}{2}; \quad \alpha_{12,12} = [2\pi (Y_0 + Y_n) \frac{R_6 - R_n}{\sigma} (\lambda_{\varphi 1} + \lambda_{\varphi 2})] R_\delta; \\
 P_{12} &= [2\pi (Y_0 - \lambda_{\varphi 1} (\frac{h_r}{2} + R_n - R_r) - \lambda_{\varphi 2} (\frac{h_r}{2} + R_n R_r)] \frac{a}{2} P_r + \alpha_{\varphi 1} h_r (T_{\varphi 1} - T_0) + \\
 &+ \alpha_{\varphi 2} h_r (T_{\varphi 2} - T_0) - \alpha_{\varphi} (h_r + h_r) (T_0 - T_0); \\
 Q_1 &= \frac{D_0 L}{2 E_n S_n \alpha^3}; \quad Q_2 = \frac{0.3 D_0 L}{4 E_r \alpha^2}; \quad Q_3 = \frac{D_0}{K \alpha^4}; \\
 Q_4 &= \frac{E_{\varphi r} S_3}{E_n S_n}; \quad Q_5 = \frac{12 R_r \alpha S_3^2}{b_r h_r^3}, \quad Q_6 = \frac{12 R_r \alpha S_3^2}{b_r h_r^3}, \\
 Q_7 &= \frac{E_{\varphi 2} S_3}{E_n S_n}; \quad Q_8 = \frac{12 R_r D_0}{E_{\varphi 1} b_r h_r^3}; \quad Q_9 = \frac{E_n S_n \alpha (h_r - S_3)}{2 D_0};
 \end{aligned}$$

Нагрузки остальных членов в расчетном состоянии, их начальные значения или приращения определяются по формулам:

$$Q = \frac{P_T a}{2} - Q_K, \quad Q_\partial = \frac{P_T a}{2}, \quad Q_n = \frac{Q_\delta R_\delta}{R_n} - \frac{P_T a^2}{2R_n}.$$

Углы поворота фланцев кожуха и днища определяются по формулам

$$\varphi_1 = \frac{12R_1 a}{E_{\varphi 1} b_1 h_1^3} \left[M_1 - M + \frac{b_1}{2} (Q_K + Q) - \frac{h_1}{2} H_1 + \frac{h_1 - S}{2} H + \frac{R_1 - R_n}{a} Q_n R_n + \frac{R_\delta - R_1}{a} Q_\delta R_\delta \right],$$

$$\varphi_2 = \frac{12R_2 a}{E_{\varphi 2} b_2 h_2^3} \left(M_2 + \frac{b_2}{2} Q_\partial - \frac{h_2}{2} H_2 + \frac{R_2 - R_n}{a} Q_n R_n + \frac{R_\delta - R_2}{a} Q_\delta R_\delta \right).$$

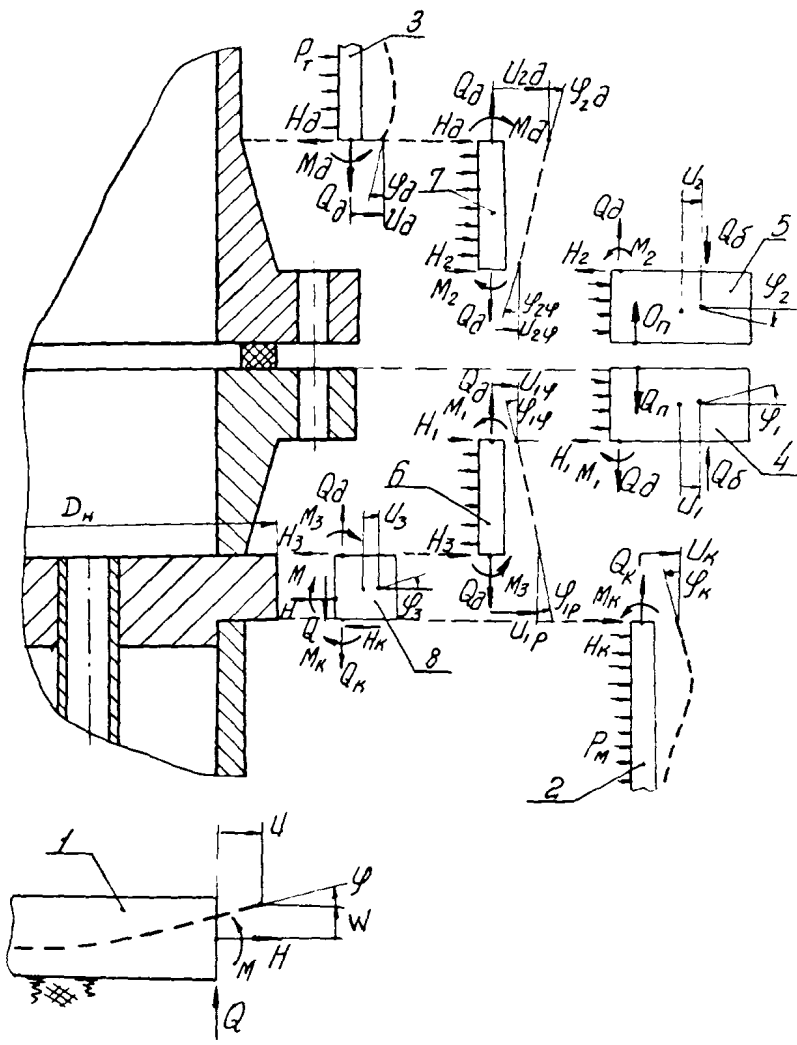
1.4.5. Гречая камера с фланцами с конической втулкой, приваренными вставки к решетке (черт. II)

Такая камера состоит из решеток (1), кожуха (2), днища (3), фланцев (4,5) со втулками (6,7). В месте соединения решетки, кожуха и фланца вставляется тонкое кольцо (8). Помимо расчета вспомогательных величин по п.2 приложения 1, производится расчет коэффициентов $B_{11}, B_{12}, B_{22}, K_{11}, K_{12}, K_{22}$ по п.3 приложению I при $S = S_K, R = a$. Значения коэффициентов B_{11}, B_{12}, B_{22} принимаются по п.3 приложения I при $S = S_\partial, R = a$, а значения коэффициентов $B_{11}, B_{12}, B_{13}, B_{14}, B_{22}, B_{24}$ принимаются при $S = S_3, L = L_{87}, R = a$.

Начальные значения $Q_K, M_K, H_K, M^0, H^0, M^0_3, H^0_3, M^0_1, H^0_1, M^0_2, H^0_2, M^0_6, H^0_6$ возникающие при затяжке болтов фланцевого разъема, определяются при решении системы линейных алгебраических уравнений:

$$\begin{aligned}
 & a_{1,1} Q_K + a_{1,4} M^0 & = 0, \\
 & a_{2,1} Q_K + a_{2,2} M_K + a_{2,3} H_K & = 0, \\
 & a_{3,1} Q_K + a_{3,2} M_K + a_{3,3} H_K + a_{3,5} H^0 + a_{3,7} H_3 & = 0, \\
 & a_{4,1} Q_K + a_{4,2} M_K + a_{4,3} H_K + a_{4,4} M^0 + a_{4,5} H^0 + a_{4,6} M_3 + a_{4,7} H_3 & = 0, \\
 & a_{5,1} Q_K + a_{5,3} H_K + a_{5,4} M^0 + a_{5,5} H^0 + a_{5,7} H_3 & = 0, \\
 & a_{6,2} M_K + a_{6,3} H_K + a_{6,4} M^0 + a_{6,5} H^0 + a_{6,6} M_3 + a_{6,7} H_3 + a_{6,8} M_1 + a_{6,9} H_1 & = 0, \\
 & a_{7,3} H_K + a_{7,5} H^0 + a_{7,6} M^0 + a_{7,7} H_3 + a_{7,8} M^0 + a_{7,9} H_1 & = 0, \\
 & a_{8,6} M_3 + a_{8,7} H_3 + a_{8,8} M_1 + a_{8,9} H_1 & = -a_{8,1} Q_3^0
 \end{aligned}$$

Элементы греющей камеры, имеющей фланцы с конической втулкой, приваренные встав к решетке



Черт. II

$$\begin{aligned}
 & Q_{9,6} M_2' + Q_{2,7} H_3' + Q_{9,8} M_2' + Q_{9,9} H_2' = 0, \\
 & Q_{9,10} M_2' + Q_{10,11} H_2' + Q_{10,12} M_2' + Q_{10,13} H_2' = 0, \\
 & Q_{10,11} M_2' + Q_{10,12} H_2' + Q_{10,13} M_2' + Q_{10,14} H_2' = 0, \\
 & Q_{10,12} M_2' + Q_{12,13} H_2' + Q_{12,14} M_2' + Q_{12,15} H_2' = 0, \\
 & Q_{12,13} M_2' + Q_{13,14} H_2' + Q_{13,15} M_2' + Q_{13,16} H_2' = 0. \\
 \end{aligned}$$

Приращения нагрузок Q'_K , Q'_M , Q'_N , M'_K , M'_M , M'_N , H'_K , H'_M , H'_N , Q'_δ , возникающие под действием давлений и разогрева, определяются при решении системы линейных алгебраических уравнений:

$$\begin{aligned}
 & a_{11} Q'_K + a_{12} M' = P_1, \\
 & a_{12} Q'_K + a_{22} M'_2 + a_{24} M' = P_2, \\
 & a_{31} Q'_K + a_{32} M'_2 + a_{33} H'_K + a_{35} H' + a_{37} H_2' = P_3, \\
 & a_{41} Q'_K + a_{42} M'_2 + a_{43} H'_K + a_{44} M'_3 + a_{45} H' + a_{46} M'_3 + a_{47} H_3' = P_4, \\
 & a_{51} Q'_K + a_{52} M'_2 + a_{53} H'_K + a_{54} M'_4 + a_{55} H' + a_{56} M'_4 + a_{57} H_3' = P_5, \\
 & a_{61} M'_2 + a_{63} H'_K + a_{64} M'_3 + a_{65} H' + a_{66} M'_3 + a_{67} H_3' = 0, \\
 & a_{23} H'_K + a_{25} H' + a_{26} M'_3 + a_{27} H'_3 + a_{29} H'_2 = P_6, \\
 & a_{26} M'_3 + a_{27} H'_3 + a_{28} M'_4 + a_{29} H'_2 + a_{30} M'_4 + a_{31} H'_2 = P_7, \\
 & a_{9,6} M'_3 + a_{9,7} H'_3 + a_{9,8} M'_4 + a_{9,9} H'_2 = P_8, \\
 & a_{10,11} M'_2 + a_{10,12} H'_2 + a_{10,13} M'_2 + a_{10,14} H'_2 = P_9, \\
 & a_{10,12} M'_2 + a_{11,13} H'_2 + a_{11,14} M'_2 + a_{11,15} H'_2 = P_{10}, \\
 & a_{10,13} M'_2 + a_{12,14} H'_2 + a_{12,15} M'_2 + a_{12,16} H'_2 = P_{11}, \\
 & a_{12,13} M'_2 + a_{13,14} H'_2 + a_{13,15} M'_2 + a_{13,16} H'_2 = P_{12}, \\
 & a_{13,14} M'_2 + a_{14,15} H'_2 + a_{14,16} M'_2 + a_{14,17} H'_2 + a_{15,16} Q'_\delta = P_{13}, \\
 & a_{15,16} M'_2 + a_{16,17} H'_2 + a_{16,18} M'_2 + a_{16,19} H'_2 + a_{17,18} Q'_\delta = P_{14}.
 \end{aligned}$$

След:

$$\alpha_{1,1} = (T_{11} + Q_1 K_0) \alpha; \quad \alpha_{1,2} = -T_{12}; \quad P_1 = (0,3 Q_1 K_0 - T_{12} + Q_2 \frac{d_r}{S_r} + Q_3 \alpha_1) P_m \alpha^2 + \\ + \left(\frac{T_{11}}{2} + T_{12} - Q_2 \frac{d_r}{S_r} - Q_3 \alpha \right) P_r \alpha^2 + [a_1 (t_r - t_0) - a_0 (t_h - t_0)] \frac{D_m}{2 \alpha^2};$$

$$\alpha_{2,1} = T_{12} \alpha; \quad \alpha_{2,2} = Q_4 B_{12}^{\alpha}; \quad \alpha_{2,3} = -Q_4 B_{12}^{\alpha} S_h; \quad \alpha_{2,4} = -T_{11};$$

$$P_2 = \frac{T_{12}}{2} P_r \alpha^2 + T_{23} (P_r - P_m) \alpha^2;$$

$$\alpha_{3,1} = -0,3 \alpha; \quad \alpha_{3,2} = -B_{12}^{\alpha} - B_{12}^{\alpha} \frac{S_{ph}}{2 S_h}; \quad \alpha_{3,3} = (B_{12}^{\alpha} + Q_5) S_h + B_{12}^{\alpha} \frac{S_{ph}}{2},$$

$$\alpha_{3,5} = Q_5 S_h; \quad \alpha_{3,7} = Q_5 S_h; \quad P_3 = (a_p - a_n) / (t_h - t_0) E_h S_h \alpha - P_m \alpha^2;$$

$$\alpha_{4,1} = T_{12} \alpha; \quad \alpha_{4,2} = -Q_6; \quad \alpha_{4,3} = -Q_6 \frac{S_h}{2}; \quad \alpha_{4,4} = -Q_6 - T_{22}; \quad \alpha_{4,5} = -Q_6 \frac{S_h - S_{ph}}{2};$$

$$\alpha_{4,6} = -Q_6; \quad \alpha_{4,7} = Q_6 \frac{S_{ph}}{2}; \quad P_4 = \frac{T_{12}}{2} P_r \alpha^2 + T_{23} (P_r - P_m) \alpha^2;$$

$$\alpha_{5,1} = Q_8 T_{12} \alpha; \quad \alpha_{5,2} = Q_8 \alpha; \quad \alpha_{5,4} = -Q_7 T_{22}; \quad \alpha_{5,5} = (Q_8 + T_{33}) \alpha;$$

$$\alpha_{5,7} = Q_8 \alpha, \quad P_5 = Q_7 \frac{T_{12}}{2} P_r \alpha^2 + T_{23} (P_r - P_m) \alpha^2;$$

$$\alpha_{6,1} = 1; \quad \alpha_{6,3} = \frac{S_{ph}}{2}; \quad \alpha_{6,4} = 1; \quad \alpha_{6,5} = \frac{S_h - S_{ph}}{2}; \quad \alpha_{6,6} = 1 + Q_9 B_{13}; \quad \alpha_{6,7} = Q_9 B_{13} S_h - \frac{S_{ph}}{2};$$

$$\alpha_{6,8} = Q_9 B_{13}; \quad \alpha_{6,9} = -Q_9 B_{13} S_h,$$

$$\alpha_{7,3} = P_{10} S_3; \quad \alpha_{7,5} = P_{10} S_3; \quad \alpha_{7,6} = B_{12} \frac{S_{ph}}{2 S_h} + B_{12}; \quad \alpha_{7,7} = (B_{12} + Q_{10}) S_3 + B_{12} \frac{S_{ph}}{2};$$

$$\alpha_{7,8} = B_{12} \frac{S_{ph}}{2 S_h} + B_{12}; \quad \alpha_{7,9} = B_{12} S_3 - B_{12} \frac{S_{ph}}{2}; \quad P_7 = (a_p - a_n) / (t_h - t_0) / E_h S_3 \alpha - 0,85 P_r \alpha^2;$$

$$\alpha_{8,6} = B_{13}; \quad \alpha_{8,7} = B_{14} S_3; \quad \alpha_{8,8} = Q_{11} + B_{11}; \quad \alpha_{8,9} = Q_{11} \frac{h_{12}}{2} - B_{12} S_3;$$

$$\alpha_{8,10} = -Q_{11} P_8 \frac{R_6 - R_8}{\alpha}; \quad P_8 = \left(\frac{h_{12}}{2} + R_n - R_p \right) \frac{\alpha}{2} P_r P_{11};$$

$$\alpha_{9,6} = B_{14} + B_{13} \frac{h_{12}}{2 S_3}; \quad \alpha_{9,7} = B_{14} S_3 + B_{14} \frac{h_{12}}{2}; \quad \alpha_{9,8} = B_{12} + B_{11} \frac{h_{12}}{2 S_3};$$

$$\alpha_{9,9} = -(B_{12} + Q_{12}) S_3 - B_{12} \frac{h_{12}}{2}; \quad P_9 = (0,85 \alpha^2 - Q_{12} h_{12} S_3) P_r;$$

$$\alpha_{10,10} = Q_{11} + B_{11}; \quad \alpha_{10,11} = Q_{11} \frac{h_{12}}{2} - B_{12} S_3; \quad \alpha_{10,12} = B_{13}; \quad \alpha_{10,13} = B_{14} S_3;$$

$$\alpha_{10,14} = -Q_{11} P_{10} \frac{R_6 - R_8}{\alpha}; \quad P_{10} = \left(\frac{h_{12}}{2} + R_n - R_p \right) \frac{\alpha}{2} P_r P_{11};$$

$$\alpha_{11,10} = B_{12} + B_{11} \frac{h_{12}}{2 S_3}; \quad \alpha_{11,11} = -(P_{12} + B_{22}) S_3 - B_{12} \frac{h_{12}}{2}, \quad \alpha_{11,12} = B_{14} + B_{13} \frac{h_{12}}{2 S_3};$$

$$a_{11,13} = B_{24} S_3 + B_{12} \frac{h_\varphi}{2}; \quad P_r = (0,85 \alpha^2 - Q_{12} h_\varphi S_3) / P_r;$$

$$a_{12,10} = B_{13}; \quad a_{12,11} = -B_{11} S_3; \quad a_{12,12} = B_{11} + Q_{13} B_{11}^2 \frac{S_2}{S_3}; \quad a_{12,13} = (B_{12} - Q_{13} B_{12}^2) S_3;$$

$$a_{13,10} = -B_{11}; \quad a_{13,11} = B_{24} S_3; \quad a_{13,12} = Q_{13} B_{12}^2 - B_{12}; \quad a_{13,13} = -Q_{13} B_{22}^2 S_3 - B_{22} S_3;$$

$$P_r = 0,85(1 - Q_{13}) P_r \alpha^2 + (a_\varphi - a_\alpha) (t_\varphi - t_\alpha) E_\varphi S_3 \alpha;$$

$$a_{14,8} = -\lambda_\varphi; \quad a_{14,9} = -\lambda_\varphi \frac{h_\varphi}{2}; \quad a_{14,10} = -\lambda_\varphi; \quad a_{14,11} = -\lambda_\varphi \frac{h_\varphi}{2};$$

$$a_{14,12} = 2 \left[\pi (y_\delta + y_n) + \lambda_\varphi \frac{R_\delta - R_n}{\alpha} \right] R_\delta; \quad P_r = \left[a_\varphi (t_\varphi - t_\alpha) - \alpha_\delta (t_\delta - t_\alpha) \right] (h_1 + h_2) + \left[\lambda_\varphi \alpha (R_\varphi - R_n - \frac{h_\varphi}{2}) + \pi (y_n \alpha^2) \right] P_r;$$

$$Q_1 = \frac{D_p L}{2 E_x S_x \alpha^3}, \quad Q_2 = \frac{0,3 D_p L}{4 E_x \alpha^4}, \quad Q_3 = \frac{D_p}{K \alpha^4};$$

$$Q_4 = \frac{D_p}{E_x S_x^2 \alpha}, \quad Q_5 = \frac{E_x R_3 \alpha}{L_p b_3 S_p}; \quad Q_6 = \frac{12 R_3 D_p}{L_p b_3 S_p^3};$$

$$Q_7 = \frac{E_p S_p (S_0 - S_{p1}) \alpha}{2 D_p}, \quad Q_8 = \frac{S_p R_3 \alpha}{S_p b_3}; \quad Q_9 = \frac{E_p b_3 S_p^3}{12 E_\varphi R_3 S_p \alpha}.$$

$$Q_{10} = \frac{E_\varphi R_3 \alpha}{E_p b_3 S_p}; \quad Q_{11} = \frac{12 R_\varphi S_\varphi^2 \alpha}{b_\varphi h_\varphi}, \quad Q_{12} = \frac{R_\varphi \alpha}{b_\varphi h_\varphi};$$

$$Q_{13} = \frac{E_\varphi S_3}{E_\alpha S_\alpha}; \quad R_3 = \frac{D_n + D}{4}; \quad b_3 = \frac{D_n - D}{2}.$$

Нагрузки остальных деталей в расчетном состоянии, их начальные значения или приращения определяются по формулам:

$$Q = \frac{P_r \alpha}{2} - Q_K, \quad Q_\alpha = \frac{P_r \alpha}{2}, \quad Q_n = \frac{Q_\delta R_\delta}{R_n} - \frac{P_r \alpha^2}{2 R_n}.$$

Углы поворота фланцев определяются по формулам:

$$q_1 = \frac{12 R_\varphi \alpha}{F_\varphi b_\varphi h_\varphi} \left(\frac{R_\delta - R_\varphi}{\alpha} Q_\delta R_3 + \frac{R_\varphi - R_n}{\alpha} Q_n R_\alpha + \frac{b_\varphi}{2} Q_\delta - \frac{h_\varphi}{2} H_1 - M_1 \right),$$

$$V_2 = \frac{12R_0\alpha}{E\beta\varphi h\varphi^3} \left(\frac{P_0 - P_\varphi}{\sigma} Q_0 P_0 + \frac{P_0 - P_0}{\sigma} Q_0 P_0 + \frac{b\varphi}{2} Q_0 - \frac{h\varphi}{2} H_2 - M_2 \right).$$

1.4.6. Грязная камера с кольцевой полостью для отвода конденсата (черт. 12)

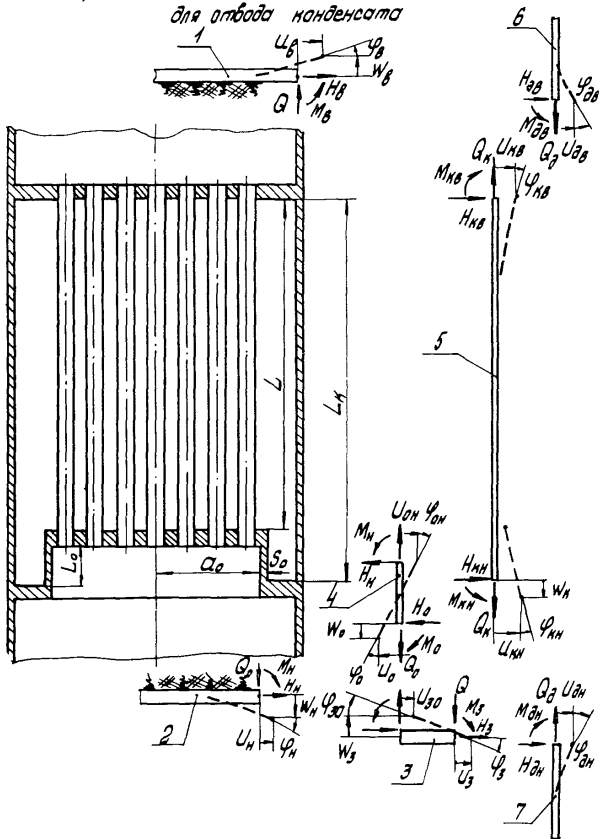
Камера состоит из трубных решеток (1,2) кольцевой пластины (3) и цилиндрических оболочек (4...7). Для такой камеры необходимо определить характеристики трубной решетки по п.2 приложения I для верхней решетки (при $\beta_n = \frac{a_n}{a_0}$) и нижней решетки (при $\beta_n' = \frac{a_n}{a_0}$) раздельно. Кроме того, по п.1 приложения I определяются характеристики кольцевой пластины $A_{11}, A_{12}, A_{13}, A_{14}, A_{22}, A_{23}, A_{24}, A_{33}, A_{34}$ при $\beta_n = a_0/\sigma$.

По формулам п.3 приложения I вычисляются $B_{11}, B_{12}, B_{13}, B_{14}, B_{22}, B_{24}$ при $L = L_0, R = a_0, S = S_0$; $B_{11}', B_{12}', B_{22}'$ при $S = S_1, R = \sigma$ и $B_{11}^2, B_{12}^2, B_{22}^2$ при $S = S_2, R = \sigma$.

Нагрузки $Q_K, M_{KB}, H_{KB}, M_{dB}, H_{dB}, M_{dH}, H_{dH}, M_{KH}, H_{KH}, M_0, H_0, M_H, H_H$ определяются при решении системы линейных алгебраических уравнений:

$$\left. \begin{aligned}
 & a_{1,1}Q_K + a_{1,2}M_{KB} + a_{1,3}H_{KB} + a_{1,4}M_{dB} + a_{1,5}H_{dB} + a_{1,6}M_{dH} + a_{1,7}H_{dH} + a_{1,8}M_{KH} + a_{1,9}H_{KH} + a_{1,10}M_0 + a_{1,11}H_0 + a_{1,12}M_H + a_{1,13}H_H = P_1, \\
 & a_{2,1}Q_K + a_{2,2}M_{KB} + a_{2,3}H_{KB} + a_{2,4}M_{dB} + a_{2,5}H_{dB} \\
 & a_{3,1}Q_K + a_{3,2}M_{KB} + a_{3,3}H_{KB} + a_{3,4}M_{dB} + a_{3,5}H_{dB} \\
 & a_{4,2}M_{KB} + a_{4,3}H_{KB} + a_{4,4}M_{dB} + a_{4,5}H_{dB} \\
 & a_{5,3}H_{KB} + a_{5,4}H_{dB} + a_{5,5}H_{dB} \\
 & a_{6,5}M_{dH} + a_{6,6}H_{dH} + a_{6,7}M_{KH} + a_{6,8}H_{KH} \\
 & a_{7,6}M_{dH} + a_{7,7}H_{dH} + a_{7,8}M_{KH} + a_{7,9}H_{KH} \\
 & a_{8,5}M_{dH} + a_{8,6}H_{dH} + a_{8,7}M_{KH} + a_{8,8}H_{KH} \\
 & a_{9,1}Q_K \\
 & a_{9,1}Q_K \\
 & a_{10,1}Q_K \\
 & a_{11,1}Q_K \\
 & a_{12,1}Q_K \\
 & a_{13,1}Q_K
 \end{aligned} \right\} = \begin{aligned}
 & = P_2, \\
 & = P_3, \\
 & = 0, \\
 & = P_5, \\
 & = 0, \\
 & = P_7, \\
 & = P_8, \\
 & = P_9, \\
 & + a_{10,5}M_{dH} + a_{10,6}H_{dH} + a_{10,7}M_{KH} + a_{10,8}H_{KH} + a_{10,9}M_0 + a_{10,10}H_0 + a_{10,11}M_H + a_{10,12}H_H + a_{10,13}M_H + a_{10,14}H_H = P_{10}, \\
 & + a_{11,7}H_{dH} + a_{11,8}M_{KH} + a_{11,9}H_{KH} + a_{11,10}M_0 + a_{11,11}H_0 + a_{11,12}M_H + a_{11,13}H_H = P_{11}, \\
 & + a_{12,10}M_0 + a_{12,11}H_0 + a_{12,12}M_H + a_{12,13}H_H = P_{12}, \\
 & + a_{13,10}M_0 + a_{13,11}H_0 + a_{13,12}M_H + a_{13,13}H_H = P_{13},
 \end{aligned}$$

Греющая камера с кольцевой полостью
для отвода конденсата



Здесь

$$\begin{aligned}
 \alpha_0 &= (T_n^0 + \beta_n^2 T_n'' + 2 \rho_n K_0 + \rho_n + \rho_0 A_n) / \alpha, \quad \alpha_{0,2} = -T_n^0; \quad \alpha_{0,3} = T_n^0 \frac{S_n}{\varepsilon}; \\
 \alpha_{0,4} &= T_n^0; \quad \alpha_{0,5} = -T_n^0 \frac{S_n}{\varepsilon}; \quad \alpha_{0,6} = \rho_0 A_0; \quad \alpha_{0,7} = -\rho_0 A_0 \frac{S_m}{\varepsilon}; \quad \alpha_{0,8} = -\rho_0 A_{1,0}; \\
 \alpha_{0,9} &= \rho_0 A_{1,0} \frac{S_m}{\varepsilon}; \quad \alpha_{0,10} = \rho_0 A_{1,0}; \quad \alpha_{0,11} = -\rho_0 A_n \frac{S_m}{\varepsilon}; \quad \alpha_{0,12} = -\beta_n^2 T_n''; \quad \alpha_{0,13} = \beta_n^2 T_n'' \frac{S_n}{\varepsilon}; \\
 P_r &= T_n^0 \frac{\sigma^2}{\varepsilon} P_r + 0.6 \rho_0 K_0 P_m \sigma^2 + (\beta_n^2 T_n'' + \rho_0 + \rho_0 A_m) \left(\frac{\sigma^2}{\varepsilon} \frac{\sigma^2}{\varepsilon} P_m + \frac{\sigma^2}{\varepsilon} P_r \right) + \\
 &+ (T_{13}^0 + \beta_n^2 T_{13}'' - 0.3 \beta_n^2 \rho_0 + A_m \rho_0) (P_r - P_m) \sigma^2 + 2 \rho_0 \sigma^2 \left(\frac{d_r}{S_r} P_m - \frac{d_r}{S_r} P_r \right) + \\
 &+ 2 \rho_0 \sigma^2 (\alpha_0 P_m - \alpha_0 P_r) - [\alpha_0 (t_n - t_0) L_n - (d_r L + d_0 L_0) (t_r - t_0)] \frac{P_0}{\sigma^2}; \\
 \alpha_{2,1} &= -T_{12}^0 \alpha_1; \quad \alpha_{2,2} = T_{12}^0 + \rho_0 B_{12}^0; \quad \alpha_{2,3} = \rho_0 B_{12}^0 S_r - T_{12}^0 \frac{S_n}{\varepsilon}; \quad \alpha_{2,4} = -T_{22}^0; \\
 \alpha_{2,5} &= T_{22}^0 \frac{S_n}{\varepsilon}; \quad P_2 = T_{22}^0 (P_m - P_r) \sigma^2 - T_{22}^0 \frac{\sigma^2}{\varepsilon} P_r; \\
 \alpha_{3,1} &= -0.3 \alpha_1; \quad \alpha_{3,2} = B_{12}^0 + B_{12}^0 \frac{S_n}{\varepsilon}; \quad \alpha_{3,3} = (B_{22}^0 + \rho_0 T_{22}^0) S_r + B_{12}^0 \frac{S_n}{\varepsilon}; \\
 \alpha_{3,4} &= \rho_0 T_{33}^0 S_r; \quad P_3 = (\alpha_0 - \alpha_1) / (t_n - t_0) E_n S_r \alpha - P_m \sigma^2; \\
 \alpha_{4,1} &= B_{12}^0; \quad \alpha_{4,2} = B_{12}^0 S_1; \quad \alpha_{4,3} = \rho_0 B_{12}^0; \quad \alpha_{4,5} = \rho_0 B_{12}^0 S_2; \\
 \alpha_{5,3} &= \rho_0 T_{33}^0 S_r; \quad \alpha_{5,4} = B_{12}^0 + B_{12}^0 \frac{S_n}{\varepsilon}; \quad \alpha_{5,5} = (B_{22}^0 + \rho_0 T_{22}^0) S_r + B_{12}^0 \frac{S_n}{\varepsilon}. \\
 P_5 &= (\alpha_0 - \alpha_1) / (t_n - t_0) E_n S_r \alpha - 0.85 P_m \sigma^2; \\
 \alpha_{6,6} &= \rho_0 B_{12}^0; \quad \alpha_{6,7} = \rho_0 B_{12}^0 S_r; \quad \alpha_{6,8} = B_{12}^0; \quad \alpha_{6,9} = B_{12}^0 S_r; \\
 \alpha_{7,6} &= B_{12}^0 + B_{12}^0 \frac{S_m}{\varepsilon}; \quad \alpha_{7,7} = (B_{22}^0 + \rho_0 A_{33}) S_r + B_{12}^0 \frac{S_m}{\varepsilon}; \quad \alpha_{7,9} = \rho_0 A_{33} S_r; \\
 \alpha_{7,10} &= -\rho_0 A_{23} S_r; \quad P_7 = (\alpha_{10} - \alpha_9) / (t_n - t_0) E_n S_r \alpha + \rho_0 A_{23} S_r S_m \rho_0 - 0.85 P_m \sigma^2; \\
 \alpha_{8,1} &= A_{33} \alpha_1; \quad \alpha_{8,5} = A_{33}; \quad \alpha_{8,7} = -A_{33} \frac{S_m}{\varepsilon}; \quad \alpha_{8,8} = -(A_{33} + \rho_0 B_{12}^0); \\
 \alpha_{8,9} &= A_{33} \frac{S_m}{\varepsilon} - \rho_0 B_{12}^0 S_r; \quad \alpha_{8,10} = A_{23}; \quad \alpha_{8,11} = A_{23} \frac{S_m}{\varepsilon} P_r = A_{13} \left(\frac{\sigma^2}{\varepsilon} \frac{\sigma^2}{\varepsilon} P_m + \frac{\sigma^2}{\varepsilon} P_r \right) A_{23} (P_m P_r) \sigma^2; \\
 \alpha_{9,1} &= -0.3 \alpha_1; \quad \alpha_{9,7} = \rho_0 A_{33} S_r; \quad \alpha_{9,8} = B_{12}^0 B_{12}^0 \frac{S_m}{\varepsilon}; \quad \alpha_{9,9} = (B_{22}^0 + \rho_0 A_{33}) S_r + B_{12}^0 \frac{S_m}{\varepsilon}; \\
 \alpha_{9,11} &= -\rho_0 A_{23} S_r; \quad P_9 = (\alpha_{10} - \alpha_9) / (t_n - t_0) E_n S_r \alpha + \rho_0 A_{23} S_r S_m P_r - P_m \sigma^2;
 \end{aligned}$$

$$\begin{aligned}
 A_{111} &= A_{12} A_1; \quad A_{126} = A_{23}; \quad A_{131} = -A_{23} \frac{S_{11}}{2}; \quad A_{133} = -A_{23}, \quad A_{139} = A_{23} \frac{S_{11}}{2}; \\
 A_{1210} &= A_{22} + Q_{13} B_{11}; \quad A_{1211} = Q_{13} B_{22} S_0 - A_{22} \frac{S_{11}}{2}; \quad A_{1212} = -Q_{13} B_{13}; \quad A_{1215} = -Q_{13} B_{13} S_0; \\
 P_0 &= A_{22} \left(\frac{Q^2 - Q_0^2}{2} P_0 + \frac{Q_0^2}{2} P_1 \right) - A_{23} (P_0 - P_1) Q^2; \\
 A_{111} &= Q_3 A; \quad A_{117} = Q_1 A_{23} S_0; \quad A_{119} = Q_1 A_{23} S_0; \quad A_{1110} = -B_{12} - B_{11} \frac{S_{11}}{2 S_0}; \\
 A_{1111} &= -B_{22} + Q_1 A_{22}) S_0 - B_{12} \frac{S_{11}}{2}; \quad A_{1112} = B_{13} + Q_3 \frac{S_{11}}{2 S_0}; \quad A_{1113} = B_{23} S_0 + B_{11} \frac{S_{11}}{2}; \\
 P_1 &= (A_{111} - A_0) (I_1 - I_0) E_0 S_0 A_0 + (P_0 - P_1) Q^2 + Q_3 \left(\frac{Q^2 - Q_0^2}{2} P_0 + \frac{Q_0^2}{2} P_1 \right) + Q_1 A_{22} S_0 S_0 P_0; \\
 A_{121} &= -Q_{13} I_{12}'' A; \quad A_{1210} = -B_{13}; \quad A_{1211} = -B_{13} S_0; \quad A_{1212} = B_{11} + Q_{13} I_{22}''; \\
 A_{1213} &= B_{12} S_0 - Q_{13} I_{22}'' \frac{S_0}{2}; \quad P_2 = Q_{13} / (I_{22}'' P_0 - P_1) Q^2 - I_{22}'' \left(\frac{Q^2 - Q_0^2}{2} P_0 + \frac{Q_0^2}{2} P_1 \right); \\
 A_{131} &= Q_3 A; \quad A_{1310} = B_{11} + B_{13} \frac{S_0}{2 S_0}; \quad A_{1311} = B_{22} S_0 + B_{11} \frac{S_0}{2}; \quad A_{1312} = -B_{12} - B_{11} \frac{S_0}{2 S_0}; \\
 A_{1313} &= -(B_{22} + Q_{13} I_{22}''') S_0 - B_{12} \frac{S_0}{2}; \quad P_3 = (A_0 - A_0) (I_1 - I_0) E_0 S_0 A_0 + Q_3 \left(\frac{Q^2 - Q_0^2}{2} P_0 + \frac{Q_0^2}{2} P_1 \right) + (P_0 - P_1).
 \end{aligned}$$

$$Q_1 = \frac{Q_1 L_0}{2 E_0 S_0 A_0^2}; \quad Q_2 = \frac{Q_3 D_0 L}{4 E_0 A_0^4}; \quad Q_3 = \frac{D_0}{K A_0^4};$$

$$Q_4 = \frac{D_0 L_0}{E_0 S_0 A_0^2}; \quad Q_5 = \frac{10.92 D_0 \beta_0^2}{E_0 S_{1111}^2};$$

$$Q_6 = \frac{D_0}{E_0 S_0^2 A_0}; \quad Q_7 = \frac{E_0 A_0}{E_p S_p}; \quad Q_8 = \frac{E_0 S_p^2}{E_0 S_0^2};$$

$$Q_9 = \frac{E_0 A_0}{E_p S_p}; \quad Q_{10} = \frac{0.91 B_{11} A_0 E_0}{E_{111} S_{1111}}; \quad Q_{11} = \frac{E_0 S_{1111}^3}{10.92 B_{11} E_0 S_0^2 A_0};$$

$$Q_{12} = \frac{0.91 E_0 A_0 \beta_0^2}{E_{111} S_{1111}}; \quad Q_{13} = \frac{E_0 S_{1111}^3}{10.92 E_0 S_0^2 A_0}; \quad Q_{14} = \frac{0.91 E_0 A_0}{E_{111} S_{1111}};$$

$$Q_{15} = \frac{E_0 S_0^2 A_0}{D_0}; \quad Q_{16} = \frac{E_0 A_0}{E_p S_p}$$

Нагрузки остальных деталей определяются по формулам:

$$Q = \frac{Q}{2} P_r - Q_k;$$

$$Q_0 = \frac{Q}{2} P_r;$$

$$Q_0 = \frac{\sigma^2 - \alpha_0^2}{2\alpha_0} (P_m - P_r) + \frac{Q}{\alpha_0} Q;$$

$$Q_0 = \frac{Q}{\alpha_0} Q + \frac{\sigma^2 - \alpha_0^2}{2\alpha_0} (P_m - P_r);$$

$$M_0 = M_{K0} - M_{D0} + \frac{S_p}{2} (H_{D0} - H_{K0});$$

$$H_0 = -(H_{D0} + H_{K0});$$

$$M_3 = M_{KH} - M_{DH} - \frac{S_{p0}}{2} (H_{KH} - H_{DH});$$

$$H_3 = -(H_{DH} + H_{KH});$$

$$M_a^0 = \frac{1}{A_{22}^0} [A_{22}^0 Q_a Q_r + A_{23}^0 M_0 + A_{24}^0 (P_r - P_m) \alpha_r^2];$$

$$M_a'' = \frac{1}{A_{22}''} [A_{22}'' Q_a Q_r + A_{23}'' (M_0 - \frac{S_p}{2} H_0) + A_{24}'' (P_r - P_m) \alpha_r^2];$$

$$H_a^0 = \frac{A_{23}^0 H_0}{A_{22}^0 + \frac{1}{3} \alpha_r^2};$$

$$H_a'' = \frac{A_{23}'' H_0}{A_{22}'' + \frac{1}{3} \alpha_r^2};$$

$$N_r^0 = f_1 (\alpha_r P_m - \alpha_r P_r) + \frac{f_1}{\alpha_r} (\varphi_1 Q_a + \varphi_2 \beta M_a^0);$$

$$M_r^0 = \frac{E_r J_r \beta}{K \alpha_r L_{ap}} (\varphi_2 Q_a + \varphi_3 \beta M_a^0);$$

$$N_r'' = f_1 (\alpha_r P_m - \alpha_r P_r) + \frac{f_1}{\alpha_r} (\varphi_1 Q_a + \varphi_2 \beta M_a'');$$

$$M_r'' = \frac{E_r J_r \beta}{K \alpha_r L_{ap}} (\varphi_2 Q_a + \varphi_3 \beta M_a'');$$

$$M_a = \max \{ |M_a^0|; |M_a''| \} \text{ sign } M_a;$$

$$H_a = \max \{ |H_a^0|; |H_a''| \} \text{ sign } H_a;$$

$$N_r = \max \{ |N_r^0|; |N_r''| \} \text{ sign } N_r;$$

$$M_r = \max \{ |M_r^0|; |M_r''| \} \text{ sign } M_r.$$

I.5. Расчет трубных решеток

I.5.1. Расчет прочности трубных решеток

Расчет нагружений, возникающих в области закрепления труб и в месте соединения решетки с кожухом или фланцем, производится по формулам п.2.3 приложения I при $\sigma = S = S_p - C$ или $\sigma = S_p, -C$

Условия прочности трубных решеток:

$$\sigma_m \leq 1,3[\sigma], \quad \sigma \leq 2,5[\sigma]$$

где $\sigma = \max[\sigma_1, \sigma_2]; \quad \sigma_1 = \sigma_m + \sigma_n$

Для конструкций 4,5,7 (черт. I3) требуется проверка условия прочности приварки решетки к кожуху или фланцу по формуле

$$\tau < 0,5[\sigma]$$

Оценка малоциклической прочности трубной решетки в зоне соединения ее с кожухом или фланцем производится по ГОСТ 25859-83 при

$$\sigma_1 = \sigma_m + \sigma_n, \quad \sigma_2 = \sigma_3 = 0. \quad \text{Значения } K_\sigma \text{ принимаются по черт. I3.}$$

I.5.2. Расчет жесткости трубной решетки

Условие жесткости трубной решетки

где $W \leq [W]$

$$W = \max \{ [W_1], [W_0], [W_1 + W_0] \}; \quad [W] = Q2S_p;$$

$$W_1 = \frac{d^2}{D_p} \left[T_{11} Q_a + T_{12} M + T_{13} (P_r - P_m) d^2 \right];$$

$W_0 = 0$ - если $l_B = S_p$ или $l_B < S_p$ и $X_B = 0$ (вальцевание производится симметрично срединной плоскости решетки (черт. 3,а));

$W_0 = \frac{X_B}{\Phi}$ - если $l_B < S_p$ и $X_B \neq 0$ (вальцевание производится несимметрично срединной плоскости решетки, черт. 3,б).

Значения коэффициента Φ принимаются по табл. I в зависимости

от $\alpha_B = \frac{A_5 a_1}{S_p} \sqrt{\frac{t_B}{S_p}}$,

где $A_5 = \sqrt{\frac{10,92 A_4 P_{\text{ост}}}{\psi_p E_p}}$.

Схемы присоединения трубных решеток к пожару или фланцу

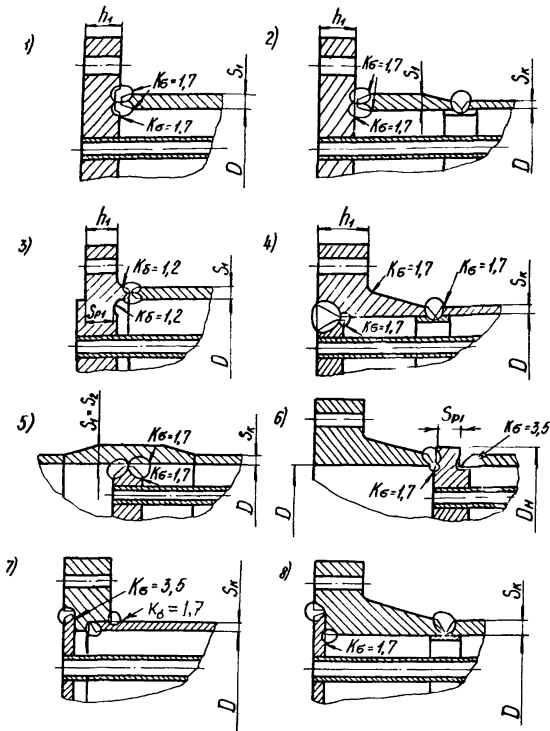


Таблица I

Коэффициенты Φ

α_e	0,1	0,2	0,3	0,4	0,5	0,6	0,7	0,8
Φ	259,34	64,34	28,23	15,59	9,74	6,56	4,65	3,41

Продолжение табл. I

α_e	0,9	1,0	1,1	1,2	1,3	1,4	1,5	1,6
Φ	2,555	1,947	1,498	1,157	0,892	0,683	0,515	0,378

Продолжение табл. I

α_e	1,7	1,8	1,9	2,0	2,02	2,04	2,048	$\geq 2,05$
Φ	0,265	0,1725	0,0943	0,0284	0,0165	0,00498	0,00047	0

В тех случаях, когда к жесткости трубных решеток предъявляются дополнительные требования, определение $[W]$ производится по ОСТ 26-1185-81.

I.6. Расчет теплообменных труб

Помимо давления в трубном и межтрубном пространствах на теплообменные трубы воздействуют осевая нагрузка N_T и изгибающий момент M_T , максимальные (по абсолютной величине) значения которых определяются по формулам :

$$N_T = f_i(\alpha_e P_m - \alpha P_T) + \frac{f_i}{\alpha_e} (\varphi_1 Q_a + \varphi_2 \beta M_a), \quad M_T = \frac{E_r J_r \beta}{K \alpha_e l_{np}} (\varphi_2 Q_a + \varphi_3 \beta M_a).$$

I.6.1. Расчет прочности теплообменных труб

Оценка прочности теплообменных труб производится по формулам

$$\sigma_{M1} \leq 1,3[\sigma], \quad \sigma_{M2} \leq [\sigma], \quad \sigma \leq 2,5[\sigma],$$

где

$$\sigma_{M1} = \frac{[N_T]}{f_T}; \quad \sigma_{M2} = \frac{(d_B + S_T)[P_T - P_M]}{2S_T};$$

$$\sigma = \frac{[N_T]}{f_T} + \frac{d_T[M_T]}{2f_T}$$

Оценка малоцикловой прочности теплообменных труб производится по ГОСТ 25859-83 при

$$\sigma_1 = \frac{[N_T]}{f_T} + \frac{d_T[M_T]}{2f_T}, \quad \sigma_2 = \sigma_3 = 0, \quad K_\sigma = 1$$

I.6.2. Расчет жесткости теплообменных труб.

При $N_T < 0$ производится оценка жесткости теплообменных труб по формулам:

где

$$y \leq [y], \quad \lambda \leq 1,$$

$$\lambda = \frac{[N_T]/l_{mp}^2}{E_T f_T}; \quad y = A_6 \frac{[M_T]}{[N_T]},$$

$$A_6 = \frac{1 - \cos \sqrt{\lambda}}{\cos \sqrt{\lambda}}.$$

Значения коэффициентов A_6 приведены в табл. 2.

Таблица 2

Коэффициенты A_6

λ	0,1	0,2	0,3	0,4	0,5	0,6	0,7	0,8	0,9	1,0
A_6	0,05	0,11	0,17	0,24	0,32	0,40	0,49	0,60	0,72	0,85

Допускается изготовление греющих камер, у которых не выполняется условие жесткости теплообменных труб. В этом случае толщина решетки должна быть не менее

$$S_p \geq \frac{D}{4,2} \sqrt{\frac{|P_m - P_r|}{\varphi_p [\sigma]}} + c,$$

где P_m , P_r и $[\sigma]$ принимается для того расчетного режима, в котором не выполнено условие жесткости теплообменных труб.

1.6.3. Расчет плотности крепления теплообменных труб способом развалцовки

Если $P_m > 0$, производится оценка плотности крепления теплообменных труб по формуле:

$$\text{где } [P_m] = \frac{P_{ocm} + A_t P_r + A_r P_t - A_m P_m}{2,4 (1 + A_m A_t)}; \quad A_m = \frac{A_t (d_o - S_r)^2}{4 d_o S_r};$$

$$A_t = \frac{1,82 A_r}{\lambda_r^2 - 1};$$

$$A_m = 0,3 A_r;$$

$$A_r = \frac{1}{Q g / B_r + \frac{E_r}{E_p} B_p};$$

$$P_r = E_r (a_r - a_p) / (t_p - t_o);$$

$$P_m = \frac{N_t}{\pi d_o S_r};$$

$$B_p = \frac{0,91 (\lambda_p^2 - 1)}{1,3 + 0,7 \lambda_p^2}.$$

Значения коэффициентов A_1 принимаются по табл. 3.

Таблица 3

Коэффициенты A_1
Размеры, мм

Способ разバルцовки трубы	Толщина трубы	Коэффициент A_1 при наружном диаметре трубы			
		20	25	38	57
Без канавок	1,5	1,000	1,000	1,000	1,000
	2,0	1,000	1,000	1,000	1,000
С одной канавкой	1,5	0,785	0,802	0,834	0,846
	2,0	0,825	0,843	0,878	0,894
С двумя и более канавками	1,5	0,208	0,255	0,354	0,437
	2,0	0,282	0,333	0,429	0,504

I.6.4. Расчет прочности крепления теплообменных труб способом разバルцовки

Оценка прочности крепления труб производится по формуле:

$$|N_r| \leq [N_r],$$

где

$$[N_r] = N_b + n_k N_k; \quad N_k = \min \{N_{cm}; N_{cp}\};$$

$$N_{cm} = \pi (d_o + \frac{h_s}{2}) h_k [\sigma]; \quad N_{cp} = 0,5 \pi d_o b_k [\sigma];$$

$$N_b = \frac{A_2}{2,4} (P_{act} + A_t P_t + A_r P_r - A_3 P_m).$$

При $N_r > 0$:

$$A_2 = \frac{\pi d_o S_r}{0,3 A_r} (1 - e^{-\omega_r}); \quad \omega_r = \frac{0,3 \alpha_{rp} A_r L_o}{S_r};$$

$$A_3 = A_m W_r \frac{(W_r + W_b) / (e^{\omega_r} - e^{\omega_b}) + W_b e^{\omega_b}}{(e^{\omega_r} - 1) / (W_r + W_b)^2 + W_b^2}, \quad W_b = \frac{1,295 L_o}{\sqrt{(d_o - S_r) S_r}};$$

$\alpha_{rp} = 0,4 + 0,5$ – при разバルцовке стальных труб в стальные решетки;
 $\alpha_{rp} = 0,1 + 0,15$ – при развалцовке латунных труб в стальные или латунные решетки.

При $N_r < 0$:

$$A_2 = \frac{\pi d_o S_r}{0,3 A_r} (e^{\omega_r} - 1);$$

$$A_3 = A_M \omega_T \frac{(\omega_T - \omega_b) / e^{(\omega_T - \omega_b)} \cos \omega_b - 1 / + \omega_b e^{(\omega_T - \omega_b)}}{(e^{\omega_b^2}) / (\omega_T - \omega_b)^2 + \omega_b^2) \sin \omega_b}$$

1.6.5. Расчет прочности крепления теплообменных труб способом приварки

Оценка статической прочности крепления труб способом приварки производится по формуле:

$$\tau \leq [\tau]$$

где $\tau = \frac{|N_t/d_r + 4/M_r|}{\pi d_r^2 \delta}$, $[\tau] = 0,5 [\sigma]$.

Оценка малоцикловой прочности крепления труб способом приварки производится по формуле

$$\tau_a \leq [\tau_a],$$

где $\tau_a = \frac{1}{2} / \tau - \tau_o /$; $[\tau_a] = \frac{\varphi_c}{2} [\sigma]$;

τ - напряжение в сварном соединении при максимальной нагрузке цикла, МПа;

τ_o - напряжение в сварном соединении при минимальной нагрузке цикла, МПа;

φ_c - коэффициент уменьшения циклической прочности сварных соединений труб с решетками. При $N \leq 50000$ вычисляется по формуле

$$\varphi_c = 0,95 - 0,2 \lg N.$$

Если несколько расчетных режимов циклически повторяются, должно выполняться условие

$$\frac{N_1}{[N_1]} + \frac{N_2}{[N_2]} + \dots \leq 1,$$

где N_1, N_2, \dots - число циклов нагружения каждого типа;

$[N_1], [N_2], \dots$ - допускаемое число циклов нагружения каждого типа.

Принимается $[N] \leq 50000$ по формуле

$$[N] = 5 (0,95 - \frac{\tau_a}{[\sigma]})$$

I.6.6. Расчет прочности крепления теплообменных труб способом приварки с развалцовкой

Оценка прочности крепления труб способом приварки с развалцовкой производится по формуле

$$\frac{[\tau]}{\tau} + 0.6 \frac{[N_t]}{N_t} \geq 1.$$

I.7. Расчет прочности обечаек

Расчет напряжений, возникающих в цилиндрических оболочках 2 (черт.7), 2,3 (черт.8,9), 2,3,6,7 (черт.10,11), 4,5,6,7 (черт.12), производится по формулам п.3.3 приложения I с учетом фактического направления действия нагрузок и толщины $S = S_i$, где S_i - толщина соответствующей оболочки.

Помимо расчета прочности обечаек по ГОСТ 14249-80 или другой аналогичной руководящей нормативной документации, производится оценка прочности соединения обечаек с решеткой, фланцем или другими деталями по формулам:

$$\sigma_m \leq 1.3[\sigma] \quad \sigma \leq 2.5[\sigma]$$

где $\sigma_m = \max \{[\sigma_{mx}], [\sigma_{my}], [\sigma_{mx} - \sigma_{my}] \}$ $\sigma = \max \{[\sigma_1], [\sigma_2], [\sigma_1 - \sigma_2] \}$;
 $\sigma_1 = \sigma_{mx} + \sigma_{my}$; $\sigma_2 = \sigma_{m\varphi} + \sigma_{n\varphi}$.

Оценка прочности приварки оболочки к другим деталям производится по формуле $\tau \leq 0.5[\sigma] - 0.5$

Оценка малоцикловой прочности производится по ГОСТ 25859-83 при $\sigma_1 = \sigma_{mx} + \sigma_{my}$, $\sigma_2 = \sigma_{m\varphi} + \sigma_{n\varphi}$, $\sigma_3 = 0$. Значения K_{σ} принимаются по черт.13,18 в зависимости от принятого конструктивного исполнения.

I.8. Расчет деталей фланцевого разъема

I.8.1. Условие прочности болтов или шпилек $\sigma_{\delta}^t \leq [\sigma]_{\delta}^t$,

где $\sigma_{\delta}^t = \frac{2\pi R_{\delta} Q_{\delta}}{\pi_{\delta} f_{\delta}}$

I.8.2. Условие прочности прокладки

$$q_{max} \leq [q] ,$$

где $q_{max} = \max \{q_o, q_n\}$; $q_o = \frac{Q_n^o}{b_n}$; $q_n = \frac{Q_n}{b_n}$.

I.6.3. Условие предварительного обжатия прокладки

$$q_o \geq q .$$

I.8.4. Условие плотности фланцевого соединения

$$q_n \geq m \rho_r .$$

I.8.5. Условие жесткости фланцев

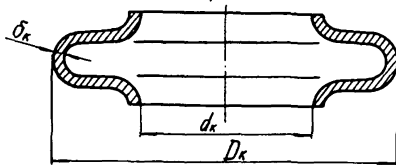
$$\varphi_{max} \leq 0,013 ,$$

2. РАСЧЕТ ОСЕВЫХ КОМПЕНСАТОРОВ

2.1. Исходные данные

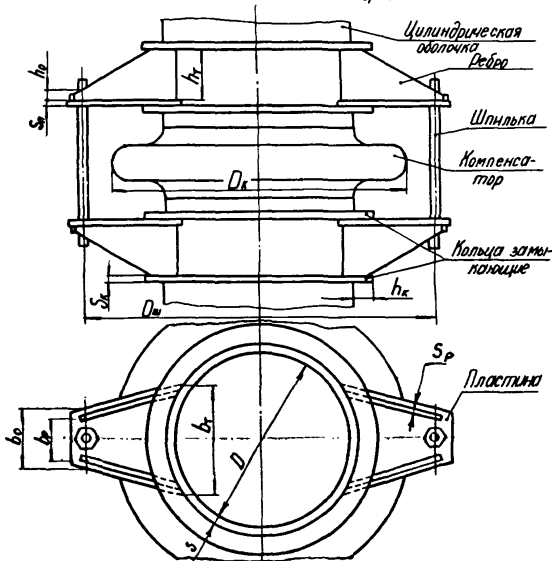
- D - внутренний диаметр цилиндрической оболочки, на которой уста-
новлен компенсатор, мм ;
- d_k - внутренний диаметр компенсатора (черт. I4) ,мм ;
- D_k - наружный диаметр компенсатора,мм ;
- P - расчетное давление (абсолютное значение), МПа;
- P_u - давление при испытаниях, МПа ;
- δ_k - толщина компенсатора (уточняется при расчете), мм ;
- C - сумма необходимых прибавок к расчетной толщине на возможные
утонения при изготовлении и эксплуатации, мм ;
- E - модуль продольной упругости при расчетной температуре, МПа.
Принимается по ГОСТ 14249-80 или другой руководящей норматив-
ной документации ;
- ν - коэффициент Пуассона ($\nu = 0,3$) ;
- σ_{st} - предел текучести при расчетной температуре,МПа;
- $[\sigma]$ - допускаемое напряжение при расчетной температуре,МПа.Прини-
мается по ГОСТ 14249-80 или другой руководящей нормативной
документации для каждой из рассчитываемых деталей ;
- N - число циклов нагружения компенсатора ;
- Δ - осевое смещение, которое необходимо скомпенсировать данным
компенсатором (абсолютное значение), мм;
- n_{kom} - число волни компенсатора (уточняется при расчете) ;
- n_w - число шпилек (стяжек) линзового компенсатора (черт. I5) ;
- d_3 - внутренний диаметр резьбы шпильки,мм.Принимается по
ГОСТ 11708-66;
- D_w - диаметр окружности расположения шпилек, мм ;
- s - толщина цилиндрической оболочки в месте установки стяжек,мм;
- s_p, s_r, s_k -толщина пластин, ребер и колец, мм ;
- b_o, b_r, b_p -ширина пластин в месте установки шпилек,в месте привар-
ки к трубопроводу и расстояние между осями ребер в месте
установки шпилек, мм ;

Компенсатор линзовый



Черт. 14

Стяжки для компенсаторов



Черт. 15

h_o, h_T, h_K - высота ребра в месте установки шпилек, в месте приварки к трубопроводу и высота колец, мм.

2.2. Расчет линзовых компенсаторов

2.2.1. Расчетная толщина компенсатора δ_R определяется по давлению при испытаниях P_u и соответствующей температуре (20°C) по формуле:

$$\delta_R = \lambda d_K \sqrt{\frac{31 P_u}{\sigma_T}},$$

где $\lambda = \sqrt{\frac{(1-\beta_K)(1-\beta_K^2)}{8\beta_K^2(3+\beta_K)}}, \quad \beta_K = \frac{d_K + \delta_K}{D_K - \delta_K}.$

Исполнительная толщина компенсатора δ_K (черт. I4) назначается с учетом прибавки С по формуле

$$\delta_K \geq \delta_R + C$$

2.2.2. Компенсирующая способность одной волны компенсатора принимается в зависимости от расчетного числа циклов нагружения N по формуле

$$\Delta_1 = \frac{2\epsilon d_K^2}{A_1 \delta_K},$$

где $A_1 = \frac{8\sqrt{1-\nu+\nu^2}}{3(1-\nu^2)} \cdot \frac{\beta_K^2(1-\beta_K^2) + 2\beta_K^4/\ln\beta_K}{(1-\beta_K^2)^2 - 4\beta_K^2 \ln^2 \beta_K}$ при $\beta_K \leq 0,9$;

$$A_1 \approx \frac{4\sqrt{1-\nu+\nu^2}}{(1-\nu^2)(1-\beta_K)} \left[1 - \frac{7}{3}(1-\beta_K) + \frac{97}{60}(1-\beta_K)^2 \right] \frac{11}{45}(1-\beta_K)^3 \quad \text{при } \beta_K > 0,9;$$

$$\epsilon = \frac{0,0225}{K_c \sqrt{N}};$$

K_c - коэффициент запаса. Для углеродистых и низколегированных сталей и титановых сплавов $K_c = 1,5$, для легированных сталей аустенитного класса $K_c = 1,1$.

Если в расчете должна учитываться ползучесть материала или в условиях эксплуатации недопустима работа материала линзы в области пластических деформаций, или в исходных данных для расчета не оговоре-

но число циклов нагружения, допускаемую амплитуду интенсивности деформации \mathcal{E} необходимо ограничить величиной

$$\mathcal{E} = 1,3 \frac{101}{E}.$$

2.2.3. Число вала компенсатора определяется по формуле $\Pi_{\text{ном}} > \frac{\Delta}{\Delta_n}$.

Если при эксплуатации будет иметь место только сжатие компенсатора, то при установке рекомендуется предварительно растянуть его на величину $\Delta_n \approx \Delta/2$. Если только растяжение – предварительно сжать на эту же величину.

2.2.4. Условие применимости формул $\mathcal{E}_{\text{max}} \leq 0,002$,

$$\text{где } \mathcal{E}_{\text{max}} = \frac{\Delta \delta_K A_1}{2 \Pi_{\text{ном}} d_K^2} + \frac{P d_K^2 B_1}{E (\delta_K C)^2};$$

$$B_1 = \frac{3\sqrt{1-\nu+\nu^2}}{64\beta_K^2} \left[2 - (1-\beta_K^2) \frac{2\beta_K^2(3+\beta_K^2) \ln \beta_K + (1-\beta_K^2)(1+3\beta_K^2)}{(1-\beta_K^2)^2 - 4\beta_K^2 \ln^2 \beta_K} \right] \text{ при } \beta_K \leq 0,9;$$

$$B_1 \approx \frac{\sqrt{1-\nu+\nu^2}}{16} (1-\beta_K)^2 \left[1 + \frac{9}{5} (1-\beta_K) + \frac{31}{12} (1-\beta_K)^2 + \frac{3533}{1050} (1-\beta_K)^3 \right] \text{ при } \beta_K > 0,9.$$

2.2.5. Жесткость компенсатора K_K (условие, возникающее при осевом растяжении или сжатии его на единицу длины) определяется по формуле:

$$K_K = \frac{E \delta_K^3 A_2}{\Pi_{\text{ном}} d_K^2},$$

$$\text{где } A_2 = \frac{8\pi}{3(1-\nu^2)} \frac{\beta_K^2(1-\beta_K^2)}{(1-\beta_K^2)^2 - 4\beta_K^2 \ln^2 \beta_K} \text{ при } \beta_K \leq 0,9.$$

$$A_2 \approx \frac{4\pi}{(1-\nu^2)(1-\beta_K)^3} \left[1 + \frac{5}{2} (1-\beta_K) + \frac{61}{30} (1-\beta_K)^2 - \frac{11}{20} (1-\beta_K)^3 \right] \text{ при } \beta_K > 0,9.$$

2.2.6. Температурный распор компенсатора P_1 (абсолютное значение) определяется по формуле:

$$P_1 = K_K (\Delta - \Delta_n).$$

2.2.7. Усилие в компенсаторе, вызванное воздействием давления на линзу компенсатора P_2 (абсолютное значение), определяется по формуле

$$P_2 \approx \frac{\pi (D_K^2 - d_K^2) P}{8}.$$

2.2.8. Значения коэффициентов λ, A_1, B_1, A_2 при $\nu = 0,3$ приведены в табл. 4.

Таблица 4

Коэффициенты λ , A_1 , B_1 , A_2

β_K	λ	A_1	B_1	A_2
0,65	0,1280	11,8	0,01490	113
0,66	0,1230	13,0	0,01350	128
0,67	0,1170	14,3	0,01270	145
0,68	0,1120	15,6	0,01170	164
0,69	0,1060	17,3	0,01040	188
0,70	0,1030	18,9	0,01010	212
0,71	0,0980	21,1	0,00872	245
0,72	0,0935	23,3	0,00792	281
0,73	0,0891	25,9	0,00719	324
0,74	0,0847	28,9	0,00650	375
0,75	0,0805	32,1	0,00586	436
0,76	0,0764	35,9	0,00527	509
0,77	0,0724	40,3	0,00473	597
0,78	0,0684	45,4	0,00423	704
0,79	0,0646	51,3	0,00376	834
0,80	0,0608	58,2	0,00333	996
0,81	0,0572	66,4	0,00294	1200
0,82	0,0536	76,1	0,00258	1450
0,83	0,0501	87,7	0,00225	1770
0,84	0,0466	102,0	0,00195	2190
0,85	0,0433	119,0	0,00168	2740
0,86	0,0400	140,0	0,00143	3460
0,87	0,0367	167,0	0,00121	4450
0,88	0,0336	202,0	0,00101	5820
0,89	0,0305	246,0	0,00083	7770
0,90	0,0274	306,0	0,00067	10600

2.3. Расчет стяжек для линзовидных компенсаторов

В отдельных случаях для предотвращения растяжения компенсатора при испытаниях устанавливают специальные стяжки (черт. 15), расчет которых производится для условий испытаний при соответствующей температуре.

2.3.1. Расчет шпилек

Условие прочности шпилек

где $\sigma_w = \frac{4N_w}{\pi d_3^2}$; $\sigma_w \leq [\sigma]_w$; $N_w = \frac{\pi (D_x^2 + D^2) \rho_a}{8n_w}$; $[\sigma]_w = \frac{\sigma_r}{2}$.

2.3.2. Расчет пластины и ребра

С целью выяснения максимальных напряжений расчет производится для нескольких сечений при $0 < x \leq l_n$;

где $l_n = \frac{D_w - D}{2}$

В этих сечениях вычисляются

$$h_p = h_o + \frac{h_r - h_o}{l_n} x ; \quad b_n = b_o + \frac{b_r - b_o}{l_n} x ;$$

$$F_p = h_p S_p ; \quad F_n = b_n S_n ;$$

$$Z_p = \frac{(h_o + S_n) F_n}{2(2F_p + F_n)} ; \quad Z_n = \frac{h_o + S_n}{2} - Z_p ;$$

$$I_p = \frac{S_p h_p^3}{12} ; \quad I_n = \frac{b_n S_n^3}{12} ;$$

$$I = 2I_p + 2Z_p^2 F_p + I_n + Z_n^2 F_n ;$$

$$W_p = \frac{2I}{h_p + 2Z_p} ; \quad W_n = \frac{2I}{S_n + 2Z_n} ;$$

$$\sigma_p = \frac{N_w x}{W_p} ; \quad \sigma_n = \frac{N_w x}{W_n} .$$

Условие прочности ребра

$$\sigma_p^{\max} = \max \{ |\sigma_p| \} \leq [\sigma].$$

Условие прочности пластины

$$\sigma_n^{\max} = \max \{ |\sigma_n| \} \leq [\sigma].$$

Границы применимости формул

$$h_r \leq 20 S_p . \quad b_p \leq 20 S_n .$$

2.3.3. Расчет колец замыкающих

Силы, действующие на кольцо, определяются по формуле

$$N_K = \frac{N_w l_n}{2 h} .$$

где $h = h_r + S_n + S_K$.

Вспомогательные величины

$$l_0 = \min \{ h ; (S_K + 1, 1 \sqrt{DS}) \} ;$$

$$F_K = S_K h_K ;$$

$$Z_0 = \frac{(h_K + S) F_K}{2(F_K + F_0)} ;$$

$$F_0 = S l_0 ;$$

$$R_K = \frac{D + S}{2} + Z_0 .$$

При $F_0 \geq F_K$:

$$Z = \frac{F_0 + F_K}{2 l_0} ; \quad W_K = F_K \left(\frac{h_K}{2} + S - Z \right) + \frac{l_0}{2} [Z^2 + (S - Z)^2] .$$

При $F_K > F_0$:

$$Z = \frac{F_0 + F_K}{2 S_K} ; \quad W_K = \frac{S_K}{2} [(h_K - Z)^2 + Z^2] + F_0 \left(\frac{S}{2} + h_K - Z \right) .$$

условие прочности кольца $\sigma_K \leq [\sigma]$,

где $\sigma_K = \frac{N_K R_K}{2,2 W_K} \left(1 - \frac{b_T}{2 R_K} \right)$.

2.4. Расчет и конструирование пружинных компенсаторов

2.4.1. Описание конструкции

Компенсатор пружинный (черт. 16), устанавливаемый под опору-лапу, состоит из нескольких винтовых цилиндрических пружин (1), устанавливаемых между опорной (2) и наклонной (3) плитами. Опоры-лапы устанавливаются на наклонные плиты компенсаторов так, чтобы отжимные винты попадали в посадочные гнезда (4). Опорная плита устанавливается на проектную отметку так, чтобы было обеспечено полное прилегание, и кре-

пится двумя болтами через отверстия (5). К наклонной плиите привариваются ограничительные втулки (6), а в опорную плиту заворачиваются направляющие стержни (7). Втулки (6) служат для ограничения максимального сжатия пружин и контроля остаточной деформации пружин путем замера расстояния между нижним торцом втулки и плоскостью опорной плиты в рабочем состоянии. Перед установкой аппарата на пружинные компенсаторы не допускается скимать пружины шпильками (8). Они предназначены для сборки самих пружинных компенсаторов и демонтажа одного из них при эксплуатации.

Пружинные компенсаторы используются в тех случаях, когда по условиям эксплуатации нельзя применить линзовидные или волнистые компенсаторы. Кроме того, они позволяют более равномерно распределить нагрузку между всеми опорами-лапами. Границы применимости пружинных компенсаторов соответствуют границам применимости винтовых цилиндрических пружин по ГОСТ 13764-68.

2.4.2. Определение размеров

Определение размеров винтовых цилиндрических пружин производится по ГОСТ 13765-68. Исходными величинами являются рабочий ход h , равный разности температурных удлинений, которую необходимо скомпенсировать. Сила пружины при предварительной деформации P_1 определяется по формуле

$$P_1 = \frac{G_m}{n_{op} n_p} ,$$

где G_m - вес аппарата, устанавливаемого на пружинные опоры при монтаже;

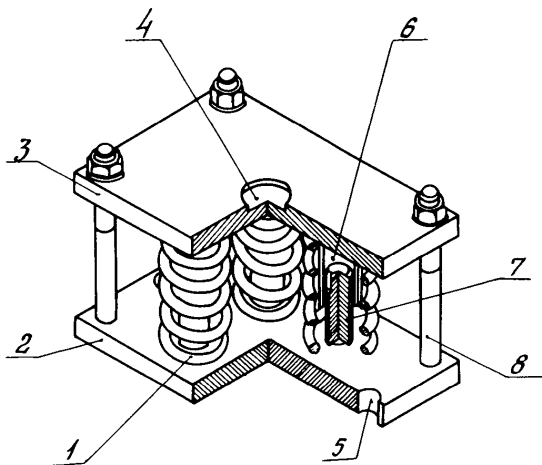
n_{op} - число опор-лап на аппарате;

n_p - число пружин в каждом пружинном компенсаторе.

Чтобы скомпенсировать заданную разность температурных удлинений h необходимо, чтобы сила пружины при рабочей деформации P_2 была близка к значению, определяемому по формуле

$$P_2 = \frac{G_p}{n_{op} n_p} .$$

Компенсатор пружинний



черт. 16

где G_p - вес аппарата в рабочем состоянии с учетом веса обрабатываемого продукта.

Размеры пружин подбираются такими, чтобы

$$P_3 \approx (1,5 \dots 2,0) P_2 ; \quad n \geq 2,5 ; \quad H_0 \leq 5 (D-d) ,$$

где H_0 - высота пружины в свободном состоянии ;

n - число рабочих витков пружины ;

P_3, d, D - сила пружины при максимальной деформации, диаметр проволоки и наружный диаметр пружины (принимаются по ГОСТ 13766-68 ... ГОСТ 13776-68).

Высоту ограничительной втулки (6) выбирают такой, чтобы предотвратить соприкосновение витков при максимальном сжатии:

$$H_6 \geq H_0 - n f_3 .$$

где H_6 - высота ограничительной втулки 6 (черт. 16) ;

f_3 - наибольший прогиб одного витка (принимается по ГОСТ 13766-68... ГОСТ 13776-68).

Жесткость опорного устройства, состоящего из пружинных компенсаторов, устанавливаемых под все опоры лапы, определяется по формуле

$$Z_{op} = Z n_{op} n_n$$

$$\text{где } Z = \frac{Z_1}{n} .$$

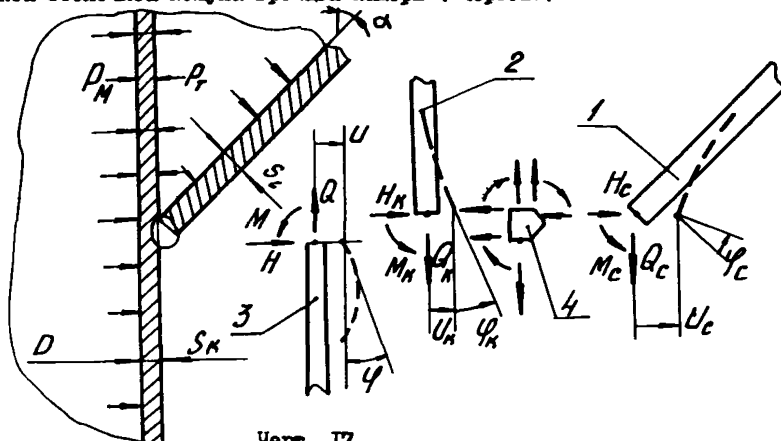
Z - жесткость одной пружины ;

Z_1 - жесткость одного витка пружины (принимается по ГОСТ 13766-68... ГОСТ 13776-68) ;

Z_{op} - жесткость опорного устройства (силы, под действием которой аппарат проседает на пружинной опоре на единицу длины).

3. РАСЧЕТ МЕСТ ПЕРЕСЕЧЕНИЯ ОСЕСИММЕТРИЧНО
НАГРУЖЕННЫХ ОБОЛОЧЕК ВРАЩЕНИЯ

3.1. Место пересечения конической оболочки сепаратора с цилиндрической оболочкой кожуха греющей камеры (черт. Г7)



Черт. Г7

3.1.1. Исходные данные

D, S_K - внутренний диаметр и толщина цилиндрической оболочки кожуха греющей камеры, мм;

s_c - толщина конической оболочки сепаратора, мм;

α - половина угла при вершине конической оболочки, град;

t - расчетная температура, $^{\circ}\text{C}$;

t_0 - начальная температура, $^{\circ}\text{C}$ ($t_0 = 20 \text{ }^{\circ}\text{C}$);

χ_K, χ_c - коэффициент линейного расширения материалов кожуха и сепаратора, $1/\text{ }^{\circ}\text{C}$;

E_K, E_c - модули продольной упругости материалов кожуха и сепаратора, МПа;

P_t, P_M - давление в трубном и межтрубном пространствах, МПа;

Q_K, Q_c - осевые нагрузки кожуха и сепаратора, отнесенные к единице длины рассматриваемого сечения, Н/мм;

$[\sigma]$ - допускаемое напряжение, МПа. Принимается по ГОСТ 14249-80 или другой руководящей нормативной документации для каждой из рассчитываемых деталей.

3.1.2. Вспомогательные величины

3.1.2.1. Для цилиндрической оболочки

$$R = \frac{D + S_K}{2}; \quad S = S_K; \quad \omega = \sqrt[4]{\frac{2,73 R^2}{S^2}};$$

$$B_{11} = \frac{4S}{R} \omega^3; \quad B_{12} = 2\omega^2; \quad B_{22} = \frac{2R}{S} \omega$$

3.1.2.2. Для конической оболочки

$$R = \frac{D}{2} + S_K + \frac{S_K \cos \alpha}{2}; \quad S = S_K; \quad \omega = \sqrt[4]{\frac{2,73 R^2}{S^2}},$$

$$B_{11} = 4\sqrt{\frac{2,73}{\cos \alpha}}; \quad B_{12} = 2; \quad B_{22} = 2\sqrt{\frac{\cos \alpha}{2,73}},$$

$$C_{11} = B_{11} \omega; \quad C_{12} = C_{21} = B_{12} \omega^2; \quad C_{15} = \tan \left(\frac{1}{\cos \alpha} + C_{12} \right);$$

$$C_{22} = -\frac{2R_1 \tan \alpha}{S^2 \cos \alpha}; \quad C_{25} = B_{22} \omega^3; \quad C_{25} = \tan \alpha C_{22} - \frac{0,3 R_1}{S \cos \alpha};$$

$$C_{26} = \frac{R_1^2}{S^2 \cos \alpha}.$$

3.1.3. Нагрузки

3.1.3.1. Для определения M_c , H_c , M_K , H_K необходимо решить систему линейных алгебраических уравнений

$$\begin{cases} a_{11} M_c + a_{12} H_c S_c + a_{13} M_K + a_{14} H_K S_K = b_1, \\ a_{21} M_c + a_{22} H_c S_c + a_{23} M_K + a_{24} H_K S_K = b_2, \\ a_{31} M_c + a_{32} H_c S_c + a_{33} M_K + a_{34} H_K S_K = b_3, \\ a_{41} H_c S_c + a_{43} M_K + a_{44} H_K S_K = b_4, \end{cases}$$

где $a_{11} = C_{11}$; $a_{12} = a_{21} = C_{12}$; $a_{13} = -A_1 B_{11}$; $a_{14} = -A_1 B_{12}$;
 $b_1 = -C_{15} Q_c S_c - C_{15} P_r S_c^2$;

$$\begin{aligned}
 a_{22} &= C_{22}; \quad a_{23} = -A_2(B_{12} + A_3 B_{11}); \quad a_{24} = -A_2(B_{22} + A_3 B_{12}); \\
 b_2 &= (\alpha_k - \alpha_c)(t - t_0)E_c S_k R - Q_3 A_2 Q_c R - C_{25} Q_c S_c + A_2(P_m - P_r)R^2 - C_{26} Q_r S_c^2; \\
 a_{31} &= \frac{R_i}{R}; \quad a_{32} = \frac{R_i \sin \alpha}{2R} - \frac{R_i}{R} \left(\frac{1}{\sin \alpha} + \frac{B_{12} S_k}{B_{11} S_c} \right); \quad a_{33} = 2; \quad a_{34} = -A_4; \\
 b_3 &= \frac{R_i}{R}(R_i - R)Q_c; \quad b_4 = Q_r R^2 - Q_3 Q_c R_i; \\
 a_{42} &= \frac{R_i S_k}{R S_c} \left(B_{22} - \frac{B_{12}^2}{B_{11}} \right); \quad a_{43} = 2B_{12} + A_4 B_{11}; \quad a_{44} = 2B_{22} + A_4 B_{12}; \\
 A_1 &= \frac{E_c S_c^2}{E_k S_k^2}; \quad A_2 = \frac{E_c S_c}{E_k S_k}; \quad A_3 = \frac{S_c \sin \alpha}{2 S_k}; \quad A_4 = \frac{S_c}{S_k \sin \alpha}.
 \end{aligned}$$

3.1.3.2. Остальные нагрузки определяются по формулам

$$\begin{aligned}
 M &= -M_k + \frac{S_c H_k}{\sin \alpha} - \frac{R_i}{R} M_c + \left(\frac{R_i}{R \sin \alpha} - \frac{R_i \sin \alpha}{2R} \right) S_c H_i + \frac{R_i}{R}(R_i - R)Q_c, \\
 H &= -H_k - \frac{R_i}{R} H_c; \\
 Q &= Q_k + \frac{R_i}{R} Q_c.
 \end{aligned}$$

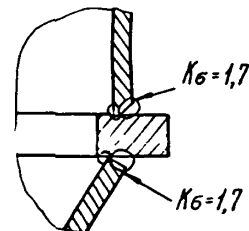
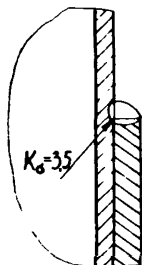
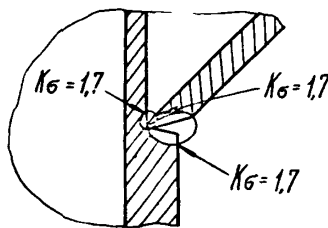
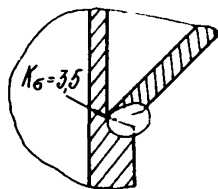
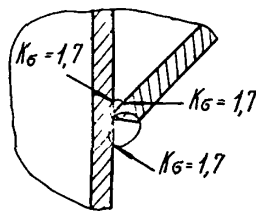
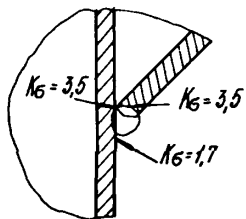
3.1.4. Расчет прочности

Расчет напряжений, возникающих в конической оболочке (1), производится по формулам п.4.3., а в цилиндрических оболочках (2,3) – по формулам п.3.3 приложения I с учетом фактического направления действия нагрузок и толщины $S = S_i - C$.

Оценка прочности обечайки производится по формулам п.1.7.

Значения коэффициентов K_{σ} принимаются по черт. I8 в зависимости от принятого конструктивного исполнения.

Схемы соединения оболочек бронирования



Черт. 18

3.2. Место перехода конической оболочки сепаратора с цилиндрической оболочкой кожуха греющей камеры, подкрепленное ступенчатой цилиндрической оболочкой (черт. 19)

На кожухе греющей камеры Q установлено опорное кольцо δ , к которому приваривается нижняя часть сепаратора B . При расчете прочности этого узла выделены отдельные элементы I...9.

3.2.1. Исходные данные

D - внутренний диаметр кожуха греющей камеры, мм;

$s_1 \cdot s_4 \cdot s_5 \cdot s_6$ - толщины оболочек кожуха, верхней и нижней частей, опорного кольца и сепаратора в месте соединения с кожухом, мм;

$l_3 \cdot l_4 \cdot l_5$ - высота опорного кольца, его верхней и нижней частей, мм;

α - половина угла при вершине конической обечайки сепаратора, град;

P_m, P_t - давления в мантирубном и в трубном пространствах, МПа;

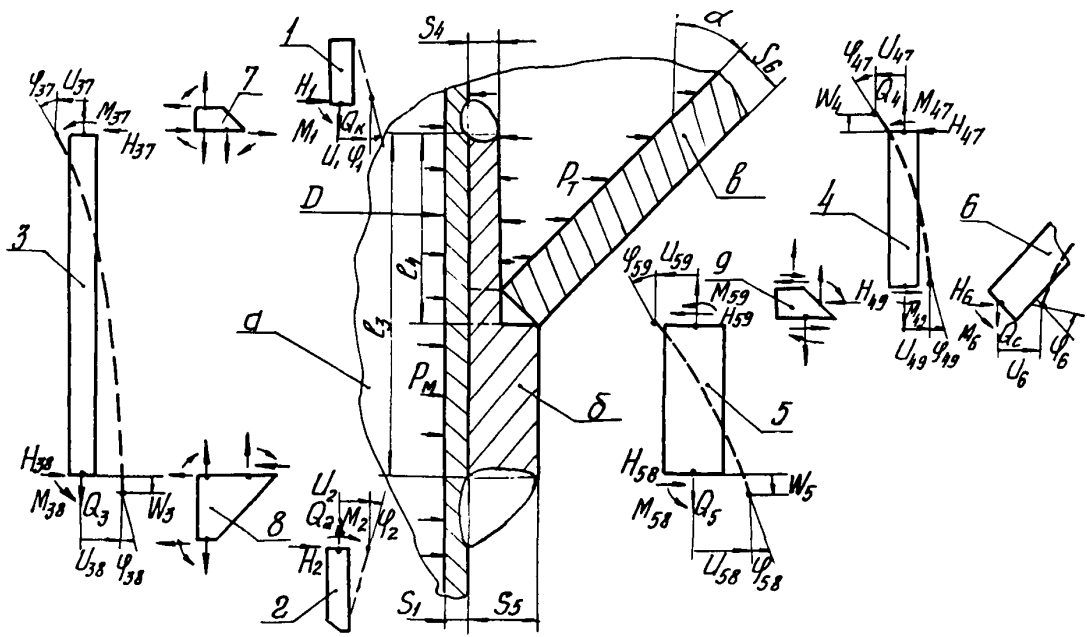
t_k, t_y, t_c, t_0 - средние температуры стенок кожуха, опорного кольца и сепаратора и начальная температура, $^{\circ}\text{C}$, ($t_0 \approx 20^{\circ}\text{C}$);

$\alpha_x, \alpha_y, \alpha_c$ - коэффициенты линейного расширения материалов кожуха, опорного кольца и сепаратора, $1/{}^{\circ}\text{C}$;

E_x, E_y, E_c - модули продольной упругости материалов кожуха, опорного кольца и сепаратора, МПа;

Q_x, Q_c - осевые нагрузки кожуха и сепаратора, распределенные по средним окружностям, Н/мм;

$[\sigma]$ - допускаемое напряжение, МПа. Принимается по ГОСТ 14249-80 или другой руководящей нормативной документации для каждой из рассчитываемых деталей.



Черт 19

3.2.2. Вспомогательные величины

3.2.2.1. Для цилиндрических оболочек ($i = 1, 2$)

$$R_1 = R_2 = \frac{D + S_1}{2} ; \quad S_1 = S_2 ; \quad \omega_i = \sqrt[4]{\frac{2.73 R_i^2}{S_i^2}} ;$$

$$B_{11}^{(i)} = \frac{4 S_i}{R_i} \omega_i^3 ; \quad B_{12}^{(i)} = 2 \omega_i^2 ; \quad B_{22}^{(i)} = \frac{2 R_i}{S_i} \omega_i .$$

3.2.2.2. Для цилиндрических оболочек ($i = 3, 4, 5$)

$$R_3 = R_1 ; \quad S_3 = S_1 ;$$

$$R_4 = \frac{D + 2 S_1 + S_2}{2} ; \quad R_5 = \frac{D + 2 S_1 + S_5}{2} ;$$

$$B_{11}^{(i)} = \frac{4 S_i \omega_i^3}{R_i} \varphi_{11}^{(i)} ; \quad B_{12}^{(i)} = 2 \omega_i^2 \varphi_{12}^{(i)} ;$$

$$B_{13}^{(i)} = \frac{4 S_i \omega_i^3}{R_i} \varphi_{13}^{(i)} ; \quad B_{14}^{(i)} = 4 \omega_i^2 \varphi_{14}^{(i)} ;$$

$$B_{22}^{(i)} = \frac{2 R_i \omega_i}{S_i} \varphi_{22}^{(i)} ; \quad B_{24}^{(i)} = \frac{2 R_i \omega_i}{S_i} \varphi_{24}^{(i)} ,$$

$$\text{где } \omega_i = \sqrt[4]{\frac{2.73 R_i^2}{S_i^2}} ; \quad \lambda_i = l_i \sqrt[4]{\frac{2.73}{R_i^2 S_i^2}} ;$$

$$\varphi_{11}^{(i)} = \frac{sh \lambda_i ch \lambda_i + \sin \lambda_i \operatorname{csh} \lambda_i}{sh^2 \lambda_i - \sin^2 \lambda_i} ; \quad \varphi_{12}^{(i)} = \frac{sh^2 \lambda_i + \sin^2 \lambda_i}{sh^2 \lambda_i - \sin^2 \lambda_i} ;$$

$$\varphi_{13}^{(i)} = \frac{sh \lambda_i \operatorname{csh} \lambda_i + ch \lambda_i \sin \lambda_i}{sh^2 \lambda_i - \sin^2 \lambda_i} ; \quad \varphi_{14}^{(i)} = \frac{sh \lambda_i \sin \lambda_i}{sh^2 \lambda_i - \sin^2 \lambda_i} ;$$

$$\varphi_{22}^{(i)} = \frac{sh \lambda_i ch \lambda_i - \sin \lambda_i \operatorname{cosh} \lambda_i}{sh^2 \lambda_i - \sin^2 \lambda_i} ;$$

$$\varphi_{24}^{(i)} = \frac{ch \lambda_i \sin \lambda_i - sh \lambda_i \operatorname{cosh} \lambda_i}{sh^2 \lambda_i - \sin^2 \lambda_i} .$$

3.2.2.3. Для конических оболочек ($i = 6$)

$$R_6 = \frac{D}{2} + S_1 + S_5 \cdot \frac{S_6 \cos \alpha}{2} ;$$

$$\begin{aligned}
 \omega_6 &= \sqrt[4]{\frac{273 R_e^2}{S_6^2}}; & B_{11} &= 4\sqrt{\frac{273}{\cos\alpha}}; & B_{12} &= 2; \\
 B_{21} &= 2\sqrt{\frac{\cos\alpha}{2,73}}; & C_{11}^{(2)} &= B_{11}\omega_6; & C_{12}^{(2)} &= C_{21}^{(2)} = B_{12}\omega_6^2; \\
 C_{15}^{(2)} &= \frac{1}{2}\alpha\left(\frac{1}{\cos\alpha} + C_{12}\right); & C_{15}^{(3)} &= \frac{2R_e\alpha\cos\alpha}{S_6\cos\alpha}; & C_{22}^{(2)} &= B_{22}\omega_6^3; \\
 C_{25}^{(2)} &= \frac{1}{2}\alpha C_{21} - \frac{0,3R_e}{S_6\cos\alpha}; & C_{25}^{(3)} &= \frac{R_e^2}{S_6^2\cos\alpha}.
 \end{aligned}$$

3.2.3. Нагрузки

Для определения нагрузок $H_1, H_1, M_2, H_2, M_{37}, H_{37}, M_{38}, H_{38}, M_{47}, H_{47}, M_{49}, H_{49}, M_{59}, H_{59}, M_{58}, H_{58}, M_6, H_6, Q_3, Q_4, Q_5$ необходимо решить систему линейных алгебраических уравнений, состоящую из 21 уравнения:

$$\begin{aligned}
 & M_1 + M_{37} - S_4 H_{37} + M_{47} - S_4 H_{47} + (R_4 - R_1) Q_4 = 0; \\
 & H_1 - H_{37} - H_{47} - S_4 (P_4 - P_1); \\
 & M_2 - M_{38} + S_5 H_{38} - M_{58} + S_5 H_{58} + (R_5 - R_2) Q_5 = 0; \\
 & H_2 + H_{38} + H_{58} - S_5 P_5; \\
 & \frac{B_{11}^{(2)}}{S_1} M_1 + \frac{B_{11}^{(2)}}{S_1} H_1 - \frac{B_{11}^{(3)}}{S_3^2} M_{37} - \frac{B_{11}^{(3)}}{S_3} H_{37} - \frac{B_{11}^{(3)}}{S_3} M_{38} - \frac{B_{11}^{(3)}}{S_3} H_{38} = 0; \\
 & \left(\frac{B_{11}^{(2)}}{S_1} + \frac{B_{11}^{(2)} S_4}{S_3} \right) M_1 + \left(B_{22}^{(2)} + \frac{B_{22}^{(2)} S_4}{S_1} \right) H_1 + \frac{B_{11}^{(3)}}{S_3} M_{37} + B_{22}^{(3)} H_{37} + \frac{B_{11}^{(3)}}{S_3} M_{38} + \\
 & + B_{22}^{(3)} H_{38} + \frac{0,3R_1}{S_3} Q_3 - \frac{0,3R_1}{S_1} Q_4 + \frac{R_1^2}{S_1} P_1; \\
 & \frac{B_{12}^{(2)}}{S_2} M_2 + \frac{B_{12}^{(2)}}{S_2} H_2 + \frac{B_{12}^{(3)}}{S_3^2} M_{37} + \frac{B_{12}^{(3)}}{S_3} H_{37} + \frac{B_{12}^{(3)}}{S_3^2} M_{38} + \frac{B_{12}^{(3)}}{S_3} H_{38} = 0; \\
 & \left(\frac{B_{12}^{(2)}}{S_2} + \frac{B_{12}^{(2)} S_5}{S_3} \right) M_2 + \left(B_{22}^{(2)} + \frac{B_{22}^{(2)} S_5}{S_3} \right) H_2 - \frac{B_{12}^{(3)}}{S_3} M_{37} - B_{22}^{(3)} H_{37} - \frac{B_{12}^{(3)}}{S_3} M_{38} - B_{22}^{(3)} H_{38} + \\
 & + \frac{C_{15}^{(2)} R_3}{S_3} Q_3 - \frac{0,3R_2}{S_2} (Q_4 + \frac{R_2 Q_5}{R_2});
 \end{aligned}$$

$$9) \quad \frac{E_y B_{11}^{(0)}}{E_x S_1^2} M_1 + \frac{E_y B_{22}^{(0)}}{E_x S_1} H_1 - \frac{B_{11}^{(0)}}{S_4^2} M_{47} - \frac{B_{12}^{(0)}}{S_4} H_{47} - \frac{B_{13}^{(0)}}{S_4^2} M_{49} - \frac{B_{14}^{(0)}}{S_4} H_{49} = 0;$$

$$10) \quad \left(\frac{B_{12}^{(0)}}{S_1} + \frac{B_{14}^{(0)} S_4}{S_4^2} \right) \frac{E_y}{E_x} M_1 + \left(B_{22}^{(0)} + \frac{B_{12}^{(0)} S_4}{S_1} \right) \frac{E_y}{E_x} H_1 + \frac{B_{12}^{(0)}}{S_4} M_{47} + B_{22}^{(0)} H_{47} + \frac{B_{13}^{(0)}}{S_4} M_{49} + B_{24}^{(0)} H_{49} + \frac{Q_3 R_2 Q_4 - Q_3 R_2 E_y Q_x - R_2^2 E_y P_x - P_2^2}{S_4} / \alpha_y / (t_v - t_o) R_4 - \alpha_c / (t_c - t_o) R_2 / E_y - \frac{R_4^2}{S_4} P_r;$$

$$11) \quad \frac{C_{11}^{(0)} E_y}{S_6^2 E_c} M_6 + \frac{C_{12}^{(0)} E_y}{S_6 E_c} H_6 - \frac{B_{12}^{(0)}}{S_4^2} M_{47} - \frac{B_{13}^{(0)}}{S_4} H_{47} - \frac{B_{14}^{(0)}}{S_4^2} M_{49} - \frac{B_{15}^{(0)}}{S_4} H_{49} = - \frac{C_{12}^{(0)} E_y}{S_6 E_c} Q_6 - \frac{C_{13}^{(0)} E_y}{E_c} P_r;$$

$$12) \quad \left(\frac{C_{21}^{(0)} - S_5 - S_4 C_{11}^{(0)}}{2 S_6} \right) \frac{E_y}{E_c} M_6 + \left(\frac{C_{22}^{(0)} - S_5 - S_4 C_{12}^{(0)}}{2 S_6} \right) \frac{E_y}{E_c} H_6 - \frac{B_{12}^{(0)}}{S_6} M_{47} - B_{22}^{(0)} H_{47} - \frac{B_{13}^{(0)}}{S_6} M_{49} - B_{24}^{(0)} H_{49} + \frac{Q_3 R_2 Q_4 - (S_5 - S_6 C_{11}^{(0)} - C_{21}^{(0)})}{2 S_6} \frac{E_y}{E_c} Q_6 - \left(C_{22}^{(0)} S_6 - \frac{S_5 - S_6 C_{12}^{(0)}}{2} \right) \frac{E_y}{E_c} P_r - \frac{R_4^2}{S_4} P_r + \alpha_y / (t_v - t_o) R_4 - \alpha_c / (t_c - t_o) R_2 / E_y;$$

$$13) \quad \frac{C_{11}^{(0)} E_y}{S_6^2 E_c} M_6 + \frac{C_{12}^{(0)} E_y}{S_6 E_c} H_6 - \frac{B_{12}^{(0)}}{S_5^2} M_{59} - \frac{B_{13}^{(0)}}{S_5} H_{59} - \frac{B_{14}^{(0)}}{S_5^2} M_{59} - \frac{B_{15}^{(0)}}{S_5} H_{59} = - \frac{C_{12}^{(0)} E_y}{S_6 E_c} Q_6 - \frac{C_{13}^{(0)} E_y}{E_c} P_r;$$

$$14) \quad \left(\frac{C_{21}^{(0)} + S_5 - S_4 C_{11}^{(0)}}{2 S_6} \right) \frac{E_y}{E_c} M_6 + \left(C_{22}^{(0)} + \frac{S_5 - S_4}{2 S_6} C_{12}^{(0)} \right) \frac{E_y}{E_c} H_6 + \frac{B_{12}^{(0)}}{S_5} M_{59} + B_{22}^{(0)} H_{59} + \frac{B_{13}^{(0)} M_{59} + B_{24}^{(0)} H_{59} + Q_3 R_2 Q_5}{S_5} = - \left(\frac{S_5 - S_6}{2 S_6} C_{11}^{(0)} + C_{21}^{(0)} \right) \frac{E_y}{E_c} Q_6 - \left(\frac{S_5 - S_6}{2} C_{12}^{(0)} + C_{22}^{(0)} S_6 \right) \frac{E_y}{E_c} P_r + \alpha_y / (t_v - t_o) R_5 - \alpha_c / (t_c - t_o) R_2 / E_y;$$

$$15) \frac{B_{11}^{(2)} E_y}{S_2^2 E_K} M_2 + \frac{B_{12}^{(2)} E_y}{S_2 E_K} H_2 + \frac{B_{13}^{(5)}}{S_5^2} M_{59} + \frac{B_{14}^{(5)}}{S_5} H_{59} + \frac{B_{15}^{(5)}}{S_5^2} M_{58} + \frac{B_{16}^{(5)}}{S_5} H_{58} = 0;$$

$$16) \left(\frac{B_{12}^{(2)}}{S_2} + \frac{B_{14}^{(5)} S_5}{S_2^2} \right) E_K M_2 + \left(B_{22}^{(2)} + \frac{B_{12}^{(2)} S_5}{S_2} \right) \frac{E_y}{E_K} H_2 - \frac{B_{14}^{(5)}}{S_5} M_{59} - B_{24}^{(5)} H_{59} - \frac{B_{12}^{(5)} M_{58}}{S_5} - B_{22}^{(5)} H_{58} + \frac{0.3 R_5}{S_5} Q_5 = \frac{E_y R_2}{E_K S_2} \left[0.3 \left(Q_3 + \frac{R_3 Q_3}{R_2} \right) R_2 P_2 \right] + \left[\alpha_y (t_y - t_0) R_2 - \alpha_K (t_K - t_0) R_2 \right] E_y;$$

$$17) M_{49} + M_{59} - (S_5 - S_4) H_{59} + M_6 + \frac{S_5 - S_4}{2} H_6 + (R_5 - R_4) Q_5 = (R_6 - R_4) Q_C;$$

$$18) H_{49} - H_{59} + H_6 = 0;$$

$$19) \frac{L_3 E_y}{S_3 E_K} Q_3 - \frac{L_4}{S_4} Q_4 - \frac{L_5}{S_5} Q_5 - 0.3 \left(\frac{L_3 R_3 E_y}{S_3 E_K} P_2 + \frac{L_4 R_4 P_2}{S_4} \right) + \left[\alpha_y (t_y - t_0) - \alpha_K (t_K - t_0) \right] L_3 E_y;$$

$$20) R_3 Q_3 + R_4 Q_4 = R_1 Q_K;$$

$$21) R_5 Q_5 - R_4 Q_4 = R_6 Q_C.$$

$$Q_2 = Q_K + \frac{Q_C R_6}{R_1}.$$

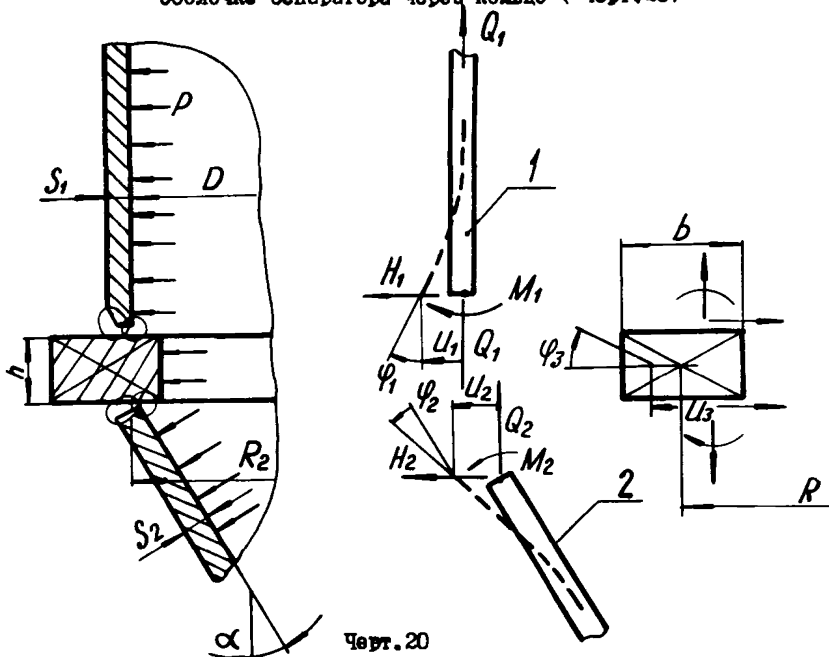
3.2.4. Расчет прочности

Расчет напряжений, возникших в цилиндрических оболочках I, 2, 3, 4, 5 (черт. I9), производится по формулам п. 3.3, а в конической 6- по формулам п. 4.3. приложения I с учетом фактического направления действия нагрузок и толщины $S = S_i - C$.

Оценка прочности обечайок производится по формуле п. I.7.

Значения коэффициента K_G принимаются по черт. I8 в зависимости от принятого конструктивного исполнения.

3.3. Место крепления конической оболочки к цилиндрической оболочке сепаратора через кольцо (черт. 20)



3.3.1. Исходные данные

D, S_1 - внутренний диаметр и толщина цилиндрической оболочки кожуха греющей камеры, мм;

S_2 - толщина конической оболочки сепаратора, мм;

α - половина угла при вершине конической оболочки,

R_2 - радиус срединной поверхности в основании конической оболочки, мм;

Q_1 - осевая нагрузка цилиндрической оболочки, отнесенная к единице длины рассматриваемого сечения, Н/мм;

h, b, R - высота, ширина и срединный радиус кольца, мм ;
 t - расчетная температура, $^{\circ}\text{C}$;

t_0 - начальная температура, $^{\circ}\text{C}$ ($t_0 = 20 \text{ }^{\circ}\text{C}$);

a_y, a_c, a_k - коэффициенты линейного расширения материалов цилиндрической оболочки, конической оболочки, сепаратора и кольца,

E_y, E_c, E_k - модули продольной упругости материалов цилиндрической оболочки, конической оболочки сепаратора и кольца, МПа;

P - расчетное давление, МПа;

$[O]$ - допускаемое напряжение, МПа. Принимается по ГОСТ 14249-80 или другой руководящей нормативной документации для каждой из рассчитываемых деталей.

3.3.2.1. Вспомогательные величины для цилиндрической оболочки I :

$$R_I = \frac{D + S_1}{2} ; \quad \omega_I = \sqrt[4]{\frac{2,73 R_I^2}{S_1}} ;$$

$$B_{II} = \frac{S_1}{R_I} \omega_I^3 ; \quad B_{I2} = 2 \omega_I^2 ; \quad B_{21} = B_{I2} ; \quad B_{22} = \frac{2 R_I}{S_1} \omega_I .$$

3.3.2.2. Для конической оболочки 2 :

$$\omega_2 = \sqrt[4]{\frac{2,73 R_2^2}{S_2^2}} ; \quad C_{33} = 4 \omega_2 \sqrt{\frac{2,73}{\cos \alpha}} ; \quad C_{34} = 2 \omega_2^2 ;$$

$$C_{35} = (C_{34} + \frac{1}{\cos \alpha}) t g \alpha ; \quad C_{36} = \frac{2 R_2 t g \alpha}{S_2 \cos \alpha} ; \quad C_{44} = 2 \omega_2^3 \sqrt{\frac{\cos \alpha}{2,73}} ;$$

$$\bar{C}_{45} = C_{44} t g \alpha + \frac{0,3 R_2}{S_2 \cos \alpha} ; \quad \bar{C}_{46} = \frac{R_2^2}{S_2^2 \cos \alpha} .$$

3.3.3. Нагрузки

3.3.3.1. Для определения M_1, M_2, H_1, H_2 необходимо решить систему линейных алгебраических уравнений :

$$a_{11} M_1 + a_{12} M_2 + a_{13} H_1 S_1 + a_{14} H_2 S_2 = b_1 ,$$

$$a_{21} M_1 + a_{22} M_2 + a_{23} H_1 S_1 + a_{24} H_2 S_2 = b_2 ,$$

$$a_{31} M_1 + a_{33} H_1 S_1 + a_{34} H_2 S_2 = b_3 ,$$

где

$$a_{42}M_2 + a_{43}H_1S_1 + a_{44}H_2S_2 - b_4,$$

$$a_{11} = 1 + A_1 B_{11}; \quad a_{12} = -\frac{R_2}{R_1}; \quad a_{13} = A_1 B_{12} - \frac{h}{2S_1};$$

$$a_{14} = \frac{R_2 h}{2R_1 S_2}; \quad b_1 = (R_1 - R_2) \left(Q_1 - \frac{R_1^2 - R_2^2}{4R_1} D \right);$$

$$a_{21} = A_2 B_{11}; \quad a_{22} = C_{33}; \quad a_{23} = A_2 B_{12};$$

$$a_{24} = C_{34}; \quad b_2 = \frac{C_{35} S_2}{R_2} Q_1 R_1 - \left(C_{35} + \frac{R_1^2 - R_2^2}{2R_2 S_2} C_{35} \right) D S_2^2;$$

$$a_{31} = B_{12} + \frac{h}{2S_1} B_{14}; \quad a_{33} = A_3 + B_{22} + \frac{h}{2S_1} B_{12}; \quad a_{34} = A_3 \frac{R_2 S_1}{R_1 S_2};$$

$$b_3 = E_4 R_1 S_1 (A_4 - \alpha_4) (t - t_0) + A_3 \frac{2R - b}{2R_1} h S_1 D - R_1^2 D + Q_3 Q_1 R_1;$$

$$a_{42} = C_{34} + \frac{h}{2S_2} C_{33}; \quad a_{43} = A_4 \frac{R_1 S_2}{R_2 S_1}; \quad a_{44} = A_4 + C_{34} + \frac{h}{2S_2} C_{34};$$

$$b_4 = E_c R_2 S_2 (\alpha_4 - \alpha_c) (t - t_0) + \frac{R_1 S_2}{R_2} \left(C_{45} + \frac{h}{2S_2} C_{35} \right) Q_1 + \\ + \left[A_4 \frac{2R - b}{2R_2} \frac{h}{S_2} - C_{46} - \frac{h}{2S_2} C_{36} - \frac{R_1^2 - R_2^2}{2R_2 S_2} \left(C_{45} + \frac{h}{2S_2} C_{35} \right) \right] D S_2^2;$$

$$A_1 = \frac{E_c b h^3}{12 E_4 R_1 R_2 S_1^2}; \quad A_2 = \frac{E_c S_2^2}{E_4 S_1^2}; \quad A_3 = \frac{E_4 R R_1}{E_c b h}; \quad A_4 = \frac{E_c R R_2}{E_c b h}.$$

3.3.3.2. Остальные нагрузки

$$Q_2 = \frac{R_1}{R_2} Q_1 - \frac{R_1^2 - R_2^2}{2R_2} D.$$

3.3.4. Расчет прочности

Расчет напряжений, возникающих в цилиндрической оболочке I (черт. 20), производится по формулам п. 3.3, а в конической оболочке 2- по формулам п. 4.3 приложения I с учетом фактического направления действия нагрузок и толщины $S = S_i - C$.

Оценка прочности обечаек производится по формулам п.1.7.

Значения коэффициента K_g принимаются по черт. I8 в зависимости от принятого конструктивного исполнения.

4. РАСЧЕТ ФЛАНЦЕВЫХ СОЕДИНЕНИЙ

4.1. Фланцевое соединение сепаратора с кожухом греческой камеры (черт. 21)

При расчете на прочность выделяются кольца прямоугольного попечного сечения (1,2), цилиндрические оболочки (3,4) и коническая оболочка (5).

4.1.1. Исходные данные

$R_1, R_2, R_n, R_\kappa, R_c, R_\delta$ - средние радиусы фланцевых колец, прокладки, кожуха греческой камеры, конической оболочки сепаратора в месте прикосновения к фланцевому кольцу и радиус болтовой окружности, соответственно, мм;

b_1, b_2 - ширина фланцевых колец, мм;

h_1, h_2 - высота фланцевых колец, мм;

S_K, S_C, S_B - толщина цилиндрической оболочки кожуха (3), конической оболочки сепаратора (5) и верхней части кожуха (4), разделяющей трубное и межтрубное пространства, мм;

α - половина угла при вершине конической оболочки сепаратора, град;

$\alpha_1, \alpha_2, \alpha_3, \alpha_\kappa, \alpha_c, \alpha_\delta$ - коэффициенты линейного расширения материалов фланцевых колец, болтов или шпилек, кожуха, сепаратора и верхней части кожуха, $1/^\circ\text{C}$;

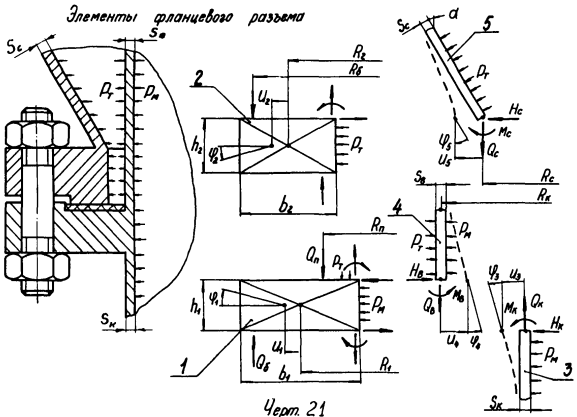
$t_f, t_\delta, t_\kappa, t_c, t_B$ - расчетная температура фланцевых колец, болтов или шпилек, кожуха, сепаратора и верхней части кожуха, $^\circ\text{C}$;

t_0 - начальная температура, $^\circ\text{C}$ ($t_0 = 20$ $^\circ\text{C}$);

P_{t_0, P_M} - давление избыточное (наружное со знаком минус) в трубном и межтрубном пространствах, МПа;

$E_f, E_g, E_\kappa, E_c, E_B, E_\delta$ - модуль продольной упругости материалов фланцевых колец, кожуха, сепаратора, верхней части кожуха и болтов МПа. Принимается по ГОСТ 14249-80 или другой руководящей нормативной документации;

Элементы фланцевого разъема



Черн. 21

PL 26-01- 55 -84 Crd. 68

Q_σ - осевая нагрузка верхней части кожуха, Н/мм. Определяется при расчете граничной камеры;

G_c - вес сепаратора, Н;

S_n - толщина прокладки, мм;

b_n - ширина прокладки в зоне сжатия, мм. Для резиновых прокладок принимается приведенная ширина по ОСТ 26-373-78;

E_n - модуль упругости материала прокладки, МПа. Принимается по ОСТ 26-373-78 или другой руководящей нормативной документации;

Y_n - линейная податливость прокладки, мм/Н ($Y_n = S_n / 2\pi R_n b_n E_n$);

$q, [q]$ - минимальное и допускаемое удельное давление на прокладку, МПа. Принимается по ОСТ 26-373-78;

π - прокладочный коэффициент. Принимается по ОСТ 26-373-78;

π_δ - количество болтов или шпилек;

d_δ - диаметр болта или шпильки, мм;

l_δ - расчетная длина болта ($l_\delta = h_1 + h_2 + S_n + 0,3d_\delta$) или шпильки ($l_\delta = h_1 + h_2 + S_n + 0,6d_\delta$), мм;

f_δ - площадь поперечного сечения болта или шпильки, мм^2 , определяется по внутреннему диаметру резьбы;

Y_δ - линейная податливость болтов или шпилек, мм/Н ($Y_\delta = 45/E_\delta f_\delta \pi_\delta$);

$[\sigma]_\delta^{20}, [\sigma]_\delta$ - допускаемое напряжение для материала болтов или шпилек при температуре 20°C и при расчетной температуре, МПа. Принимается по ОСТ 26-373-78 или другой руководящей нормативной документации;

Q_δ^0 - усилие затяжки болтов, Н/мм ($Q_\delta^0 \leq \pi_\delta f_\delta [\sigma]_\delta^{20} / 2\pi R_\delta$);

$[\sigma]$ - допускаемое напряжение, МПа. Принимается по ГОСТ 14249-80 или другой руководящей нормативной документации для каждой из расчетываемых деталей.

4.1.2. Помимо расчета коэффициентов $B_{II}^K, B_{I2}^K, B_{22}^K$ при $R = R_K$, $S = S_K$, коэффициентов $B_{II}^B, B_{I2}^B, B_{22}^B$ при $R = R_C$, $S = S_C$ по п.3 приложения I и коэффициентов $C_{II}, C_{I2}, C_{I5}, C_{I6}, C_{21}, C_{22}, C_{25}, C_{26}$ по п.4 приложения I при $R = R_C$, $S = S_C$, производится вычисление вспомогательных величин:

$$J_1 = \frac{b_1 h_1^3}{12};$$

$$F_1 = b_1 h_1; \\$$

$$J_2 = \frac{b_2 h_2^3}{12};$$

$$F_2 = b_2 h_2; \\$$

$$A_1 = 1 + \frac{E_1 F_1}{E_K R_K R_1} \left[B_{22}^K \frac{(B_{II}^K)^2}{B_{II}^B} \right];$$

$$A_2 = 1 + \frac{E_1 F_1}{E_B R_K R_1} \left[B_{22}^B \frac{(B_{II}^B)^2}{B_{II}^K} \right];$$

$$A_3 = 1 + \frac{E_2 F_2}{E_C R_C R_2} \left(C_{22} \frac{C_{II}^2}{C_{II}} \right); \quad B_1 = 1 + \frac{2 B_{I2}^K S_K}{B_{II}^K h_1};$$

$$B_3 = 1 + \frac{2 C_{II} S_C}{C_{II} h_2}; \quad B_2 = 1 + \frac{2 B_{I2}^B S_B}{B_{II}^B h_1}; \quad C_1 = \frac{B_1 + A_1 B_2}{1 - A_1 A_2};$$

$$C_2 = \frac{B_2 + A_2 B_1}{1 - A_1 A_2};$$

$$R_3 = \frac{R_C + R_K}{2};$$

$$J_{1np} = J_1 \left[1 - \frac{F_1 h_1}{4 J_1} (B_1 C_2 + B_2 C_1) + \frac{R_1 R_K}{E_1 J_1} \left(\frac{E_K S_K^2}{B_{II}^K} + \frac{E_B S_B^2}{B_{II}^B} \right) \right];$$

$$J_{2np} = J_2 \left[1 + \frac{F_2 h_2^2 B_3}{4 J_2 A_3} \left(1 + \frac{2 C_{II} S_C}{C_{II} h_2} \right) + \frac{E_C R_C S_C^2 R_2}{E_2 J_2 C_{II}} \right];$$

$$\lambda_{\delta np} = 2\pi \gamma_0 \left(R_\delta - R_n \right) \left[\frac{R_1 (R_\delta - R_n)}{E_1 J_{1np}} + \frac{R_2 (R_\delta - R_n)}{E_2 J_{2np}} \right];$$

$$\lambda_{nnp} = 2\pi \gamma_0 \left(R_\delta - R_n \right) \left[\frac{R_1 (R_\delta - R_n)}{E_1 J_{1np}} + \frac{R_2 (R_\delta - R_n)}{E_2 J_{2np}} \right].$$

4.1.3. Расчет нагрузок

4.1.3.1. При затяжке болтов фланцевого разъема

$$Q_C^0 = -\frac{G_C}{2\pi R_C},$$

$$Q_K^0 = -\frac{G_C}{2\pi R_K};$$

$$M_{II}^0 = -\frac{G_C (R_1 - R_K)}{2\pi R_1};$$

$$M_{2I}^0 = -\frac{G_C (R_2 - R_K)}{2\pi R_2};$$

$$H_{11} = -\frac{0.3E_1 F_1 Q_K}{E_K S_K R_1}; \quad H_{21} = 0,$$

$$H_{Bnp} = \frac{H_{11} - A_1 H_{21}}{1 - A_1 A_2}; \quad H_{Knp} = \frac{A_2 H_{11} - H_{21}}{1 - A_1 A_2},$$

$$M_{12} = M_{11} - \frac{R_K h_1}{2R_1} (B_1 H_{Knp} + B_2 H_{Bnp}); \quad H_{Cnp} = \frac{E_2 F_2}{A_3 E_C R_C R_2} \left(\frac{C_{15} Q_C}{C_{25} C_{11}} \right) Q_C^0;$$

$$M_{22} = M_{21} - \frac{R_C S_C}{R_2} \left[\frac{C_{15} Q_C^0}{C_{11}} \left(\frac{C_{12} + h_2}{2S_C} \right) H_{Cnp} \right]; \quad Q_n^0 = \frac{R_\delta}{R_n} Q_\delta^0;$$

$$M_{11np} = \frac{R_\delta}{R_1} (R_\delta - R_1) Q_\delta^0 + \frac{R_n}{R_1} (R_1 - R_n) Q_n^0 + M_{12}; \quad \varphi_1^0 = \frac{M_{11np} R_1}{E_1 J_{11np}}^2$$

$$M_{22np} = \frac{R_\delta}{R_2} (R_\delta - R_2) Q_\delta^0 + \frac{R_n}{R_2} (R_2 - R_n) Q_n^0 + M_{22}; \quad \varphi_2^0 = \frac{M_{22np} R_2}{E_2 J_{22np}}^2,$$

$$H_K^0 = -\frac{E_1 F_1 h_1}{2R_1 R_K} C_2 \varphi_1^0 + H_{Knp}; \quad H_B^0 = -\frac{E_2 F_2 h_2}{2R_2 R_K} C_1 \varphi_2^0 + H_{Bnp};$$

$$H_C^0 = \frac{E_2 F_2 h_2 B_2}{2R_2 R_C R_2} \varphi_2^0 + H_{Cnp}; \quad M_C^0 = -\frac{1}{C_{11}} (E_C S_C^2 \varphi_2^0 + C_{12} H_C^0 S_C + C_{15} Q_C^0 S_C);$$

$$M_B^0 = -\frac{1}{B_{11}^0} (E_B S_B^2 \varphi_1^0 + B_{12}^0 H_B^0 S_B); \quad M_K^0 = -\frac{1}{B_{11}^0} (E_K S_K^2 \varphi_1^0 + B_{12}^0 H_K^0 S_K).$$

4.1.3.2. Применение нагрузок в расчетном состоянии

$$Q_C' = \frac{R_C P_T}{2};$$

$$Q_K' = Q_B + \frac{R_K P_T}{2},$$

$$M_{21}' = \frac{R_C^2 (R_2 - R_C) P_T}{2R_2};$$

$$M_{11}' = \frac{R_K^2 P_T}{2R_1} (R_1 - R_K) + \frac{R_B P_T}{R_1} (R_C - R_K) (R_1 - R_3);$$

$$H_{11}' = \frac{E_1 F_1 (\alpha_K - \alpha_1) (t_K - t_0)}{R_1} - \frac{0.3 E_1 F_1 Q_K'}{E_K S_K R_1} + \left(\frac{E_1 F_1 R_K}{E_K S_K R_1} - h_1 \right) P_M;$$

$$H_{21}' = \frac{E_1 F_1 (\alpha_B - \alpha_1) (t_B - t_0)}{R_1} - \frac{E_1 F_1}{E_2 S_B R_1} (0.3 Q_B - R_n P_M + R_K P_T) - h_1 P_M;$$

$$H_{Bnp}' = \frac{H_{11} - A_1 H_{21}}{1 - A_1 A_2};$$

$$H_{Knp}' = \frac{A_2 H_{11} - H_{21}}{1 - A_1 A_2};$$

$$H_{cap} = \frac{1}{A_3} \left\{ \frac{E_2 F_2 (d_2 d_c) (t - t_0)}{R_2} - \frac{E_2 F_2 \left(C_{15} C_{16} \right) Q_c'}{E_c R_c R_2} \left[\frac{E_2 F_2 S_c}{C_{15} C_{16}} - h_2 \right] P_r \right\};$$

$$M_{12} = M_{11} - \frac{R \times h_1}{2 R_1} (B_2 H_{cap} + B_1 H_{cap}); \Delta_f = (h_1 + d_2 h_2) / (t_0 - t_0) - d_2 (h_1 + h_2) / (t_0 - t_0);$$

$$M_{22} = M_{21} - \frac{R_c S_c}{R_2} \left[\frac{C_{15}}{C_{11}} Q_c' + \frac{C_{16}}{C_{11}} P_r S_c + \left(\frac{C_{12}}{C_{11}} + \frac{h_2}{2 S_c} \right) H_{cap} \right];$$

$$Q_\delta' = \frac{\Delta_f + \lambda_{\delta np}}{2} - \frac{R_c^2 P_r}{R_2} - \left(\frac{R_2 - R_1}{E_1 J_{np}} \right) \left(\frac{R_1^2 M_{12}}{E_2 J_{2np}} + \frac{R_2^2 M_{22}}{E_2 J_{2np}} \right); \quad Q_n' = \frac{R_2 Q_\delta'}{R_n} - \frac{R_c^2 P_r}{2 R_n};$$

$$M_{1np} = \frac{R_2 Q_\delta'}{R_1} (R_\delta - R_1) + \frac{R_n Q_n'}{R_1} (R_1 - R_n) + M_{12}; \quad \varphi_1' = \frac{M_{1np} R_1^2}{E_1 J_{np}};$$

$$M_{2np} = \frac{R_2 Q_\delta'}{R_2} (R_\delta - R_2) + \frac{R_n Q_n'}{R_2} (R_2 - R_n) + M_{22}; \quad \varphi_2' = \frac{M_{2np} R_2^2}{E_2 J_{2np}};$$

$$H_K = \frac{E_1 F_1 h_1 C_2}{2 R_1 R_K} \varphi_1' + H_{Knp}; \quad H_B = \frac{E_1 F_1 h_1 C_1}{2 R_1 R_K} \varphi_1' + H_{Bnp};$$

$$H_c' = \frac{E_2 F_2 h_2 B_3}{2 R_2 R_c A_3} \varphi_2' + H_{cnp}; \quad M_B' = - \frac{1}{B_{11}^B} (E_B S_B^2 \varphi_1' + B_{12}^B H_B' S_B);$$

$$M_c' = - \frac{1}{C_{11}} (E_c S_c^2 \varphi_2' + C_{12} H_c' S_c + C_{15} Q_c' S_c + C_{16} P_r S_c^2);$$

$$M_K' = - \frac{1}{B_{11}^K} (E_K S_K^2 \varphi_1' + B_{12}^K H_K' S_K).$$

4.1.3.3. Значения нагрузок в расчетном состоянии определяются

по формулам:

$$Q_c = Q_c^o + Q_c';$$

$$Q_K = Q_K^o + Q_K';$$

$$Q_\delta = Q_\delta^o + Q_\delta';$$

$$Q_n = Q_n^o + Q_n';$$

$$H_c = H_c^o + H_c';$$

$$H_K = H_K^o + H_K';$$

$$H_B = H_B^o + H_B';$$

$$M_c = M_c^o + M_c';$$

$$M_K = M_K^o + M_K';$$

$$M_B = M_B^o + M_B';$$

4.1.3.4. Углы поворота фланцев в расчетном состоянии определяются по формулам:

$$\varphi_1 = \varphi_1^o + \varphi_1', \quad \varphi_2 = \varphi_2^o + \varphi_2'.$$

4.1.4. Расчет деталей фланцевого разъема производится по формулам п.1.8.

4.1.5. Расчет прочности цилиндрических обечайек

Расчет напряжений, возникающих в цилиндрической оболочке (3), производится по формулам п.3.3 приложения I при $S = S_K - C$;

$$Q = Q_K; \quad M_r = M_K; \quad H_r = H_K; \quad P = P_M.$$

Расчет напряжений, возникающих в цилиндрической оболочке (1), производится по формулам п.3.3 приложения I при $S = S_\theta - C$

$$Q = Q_\theta; \quad M_r = -M_\theta; \quad H_r = -H_\theta; \quad P = P_M - P_T.$$

Расчет напряжений, возникающих в конической оболочке (5), производится по формулам п.4.3 приложения I при $S = S_c - C$:

$$Q = Q_c; \quad M_r = M_c; \quad H_r = H_c; \quad P = P_T.$$

Оценка прочности обечайек производится по формулам п.1.7.

4.1.6. В случае приварки сепаратора к фланцу через цилиндрическую оболочку достаточно большой длины (черт.22) изменяется ряд расчетных формул в приведенной выше методике.

Для цилиндрической оболочки 5 (черт.22) по формулам п.3 приложения I имеем:

$$\omega = \sqrt{\frac{27J R_c^2}{S_{14}^2}}; \quad \beta_{11}^c = \frac{4S_{14}}{R_c} \omega^3;$$

$$\beta_{12}^c = 2\omega^2; \quad \beta_{22}^c = \frac{2R_c}{S_{14}} \omega,$$

где S_{14} - толщина цилиндрической оболочки 5.

Значения вспомогательных величин:

$$A_3 = 1 + \frac{E_2 \cdot F_2}{E_c \cdot R_c \cdot R_2} \left[B_{22}^c - \frac{(B_{12}^c)^2}{B_{11}^c} \right] ;$$

$$B_3 = 1 + \frac{2B_{12}^c \cdot S_u}{B_{11}^c \cdot h_2} ;$$

$$J_{2pr} = J_2 \left[1 + \frac{R_c \cdot R_2 \cdot E_c \cdot S_u^2}{E_2 \cdot B_{11}^c \cdot J_2} + \frac{F_2 \cdot h_2^2 \cdot B_3^2}{4 \cdot A_3 \cdot J_2} \right].$$

Расчет нагрузок при затяжке болтов фланцевого соединения производится по формулам:

$$H_{c.pr.} = \frac{0.3 E_2 \cdot F_2}{A_3 \cdot E_c \cdot S_u \cdot R_2} Q_c^o ;$$

$$M_{22} = M_{21} - \frac{R_c \cdot h_2 \cdot B_3}{2 R_2} H_{c.pr.} ;$$

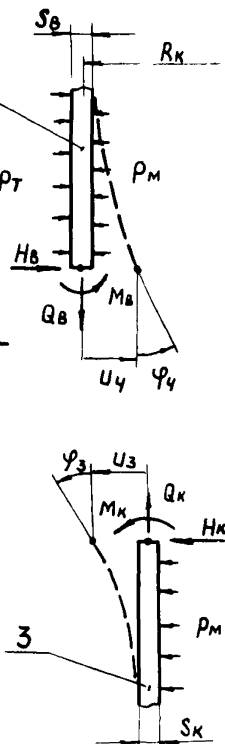
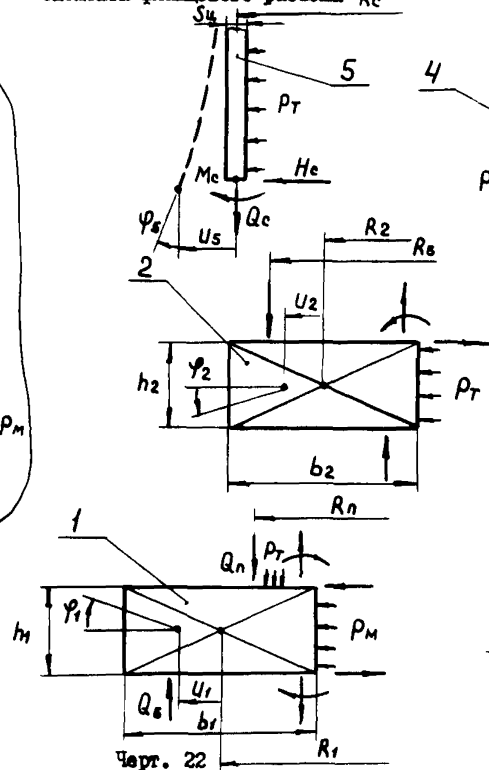
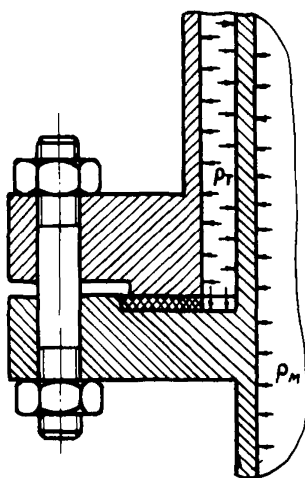
$$M_c^o = -\frac{1}{B_{11}^c} \left(E_c \cdot S_u^2 \cdot \varphi_2^o + B_{12}^c \cdot H_c^o \cdot S_u \right).$$

Приращения нагрузок в расчетном состоянии определяются по формулам

$$H_{opr} = \frac{1}{A_3} \left[\frac{E_2 F_2}{R_2} (\alpha_2 - \alpha_c) (t_c - t_o) + \frac{0.3 E_2 F_2}{E_c \cdot S_u \cdot R_2} Q_c' + \left(h_2 - \frac{E_2 F_2 R_c}{R_2 \cdot E_c \cdot S_u} \right) \cdot P_r \right] ;$$

$$M_{22} = M_{21} - \frac{R_c \cdot h_2 \cdot B_3}{2 R_2} H_{opr} ;$$

Элементы фланцевого разъема Рс



$$M'_c = -\frac{1}{B''^c} (E_c S_4^2 \varphi'_2 + B_{12}^c H'_c S_4)$$

Остальные расчетные формулы совпадают с ранее приведенными.

4.1.7. В случае приварки сепаратора к фланцу через короткую цилиндрическую оболочку (черт. 23), в приведенной методике изменяются отдельные расчетные формулы и вводится ряд дополнительных величин.

Для короткой цилиндрической оболочки 6:

$$\omega = \sqrt[4]{\frac{2,73 R_c^2}{S_4^2}}, \quad \lambda = L \sqrt[4]{\frac{2,73}{R_c^2 S_4^2}},$$

где S_4 , L — толщина стенки и высота рассматриваемой цилиндрической оболочки.

При $0,3 \leq \lambda \leq 3$:

$$B_{11}^4 = \frac{4 S_4 \omega^3}{R_c} \varphi_{11}; \quad B_{12}^4 = 2 \omega^2 \varphi_{12};$$

$$B_{13}^4 = \frac{4 S_4 \omega^3}{R_c} \varphi_{13}; \quad B_{14}^4 = 4 \omega^2 \varphi_{14};$$

$$B_{22}^4 = \frac{2 R_c \omega}{S_4} \varphi_{22}; \quad B_{24}^4 = \frac{2 R_c \omega}{S_4} \varphi_{24}.$$

Значения коэффициентов $\varphi_{11}, \varphi_{12}, \varphi_{13}, \varphi_{14}, \varphi_{22}, \varphi_{24}$ приведены в табл. 6 приложения I.

Значения вспомогательных величин:

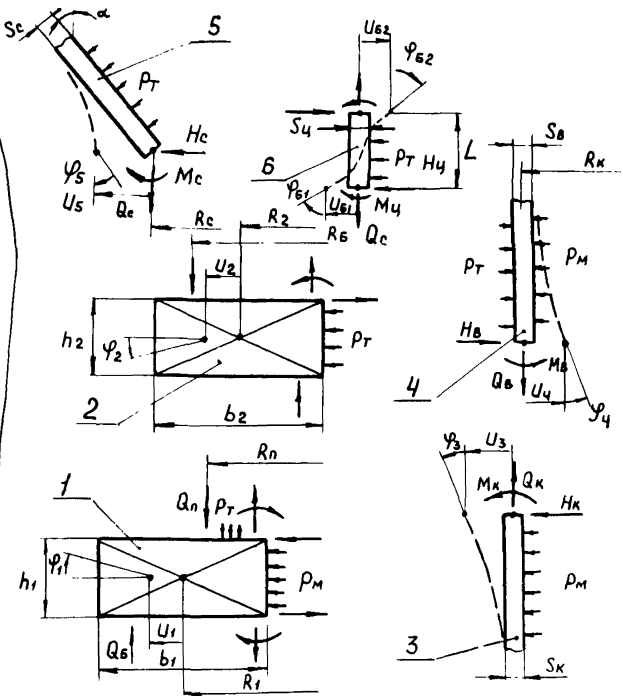
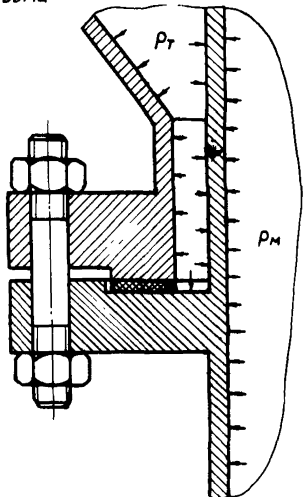
$$\bar{B}_{11}^4 = -B_{11}^4 - C_{11} \frac{S_4^2}{S_c^2}; \quad \bar{B}_{12}^4 = B_{12}^4 - C_{12} \frac{S_4}{S_c};$$

$$\bar{B}_{21}^4 = -B_{12}^4 + C_{21} \frac{S_4}{S_c}; \quad \bar{B}_{22}^4 = B_{22}^4 + C_{22};$$

$$B_{15}^4 = C_{15} \frac{S_4^3}{S_c^2 R_c}; \quad B_{16}^4 = C_{16} \frac{S_4^2}{R_c^2};$$

$$B_{25}^4 = 0,3 + C_{25} \frac{S_4}{R_c}, \quad B_{26}^4 = 1 - C_{26} \frac{S_4 S_c}{R_c^2};$$

Элементы фланцевого
разъема



Черт. 23

$$\bar{B}_{13}^4 = \frac{-B_{13}^4 \bar{B}_{22}^4 + B_{14}^4 \bar{B}_{12}^4}{\bar{B}_{11}^4 \bar{B}_{22}^4 - \bar{B}_{12}^4 \bar{B}_{21}^4} ; \quad \bar{B}_{23}^4 = \frac{-B_{14}^4 \bar{B}_{11}^4 + B_{13}^4 \bar{B}_{21}^4}{\bar{B}_{11}^4 \bar{B}_{22}^4 - \bar{B}_{12}^4 \bar{B}_{21}^4} ;$$

$$\bar{B}_{14}^4 = \frac{-B_{14}^4 \bar{B}_{22}^4 + B_{24}^4 \bar{B}_{12}^4}{\bar{B}_{11}^4 \bar{B}_{22}^4 - \bar{B}_{12}^4 \bar{B}_{21}^4} ; \quad \bar{B}_{24}^4 = \frac{-B_{24}^4 \bar{B}_{11}^4 + B_{14}^4 \bar{B}_{21}^4}{\bar{B}_{11}^4 \bar{B}_{22}^4 - \bar{B}_{12}^4 \bar{B}_{21}^4} ;$$

$$\bar{B}_{15}^4 = \frac{B_{15}^4 \bar{B}_{22}^4 + B_{25}^4 \bar{B}_{12}^4}{\bar{B}_{11}^4 \bar{B}_{22}^4 - \bar{B}_{12}^4 \bar{B}_{21}^4} ; \quad \bar{B}_{25}^4 = \frac{-B_{25}^4 \bar{B}_{11}^4 - B_{15}^4 \bar{B}_{21}^4}{\bar{B}_{11}^4 \bar{B}_{22}^4 - \bar{B}_{12}^4 \bar{B}_{21}^4} ;$$

$$\bar{B}_{16}^4 = \frac{B_{16}^4 \bar{B}_{22}^4 - B_{26}^4 \bar{B}_{12}^4}{\bar{B}_{11}^4 \bar{B}_{22}^4 - \bar{B}_{12}^4 \bar{B}_{21}^4} ; \quad \bar{B}_{26}^4 = \frac{B_{26}^4 \bar{B}_{11}^4 - B_{16}^4 \bar{B}_{21}^4}{\bar{B}_{11}^4 \bar{B}_{22}^4 - \bar{B}_{12}^4 \bar{B}_{21}^4} ;$$

$$\bar{A}_1 = B_{12}^4 - B_{14}^4 \bar{B}_{13}^4 + B_{24}^4 \bar{B}_{23}^4 ;$$

$$\bar{A}_2 = B_{22}^4 - B_{14}^4 \bar{B}_{14}^4 + B_{24}^4 \bar{B}_{24}^4 ;$$

$$\bar{A}_3 = -B_{14}^4 \bar{B}_{15}^4 + B_{24}^4 \bar{B}_{25}^4 - 0,3 ;$$

$$\bar{A}_4 = -B_{14}^4 \bar{B}_{16}^4 + B_{24}^4 \bar{B}_{26}^4 + 1 ;$$

$$A_1^* = B_{11}^4 - B_{13}^4 \bar{B}_{13}^4 + B_{14}^4 \bar{B}_{23}^4 ;$$

$$A_2^* = B_{12}^u - B_{13}^u \bar{B}_{14}^u + B_{14}^u \bar{B}_{24}^u ,$$

$$A_3^* = -B_{13}^u \bar{B}_{15}^u + B_{14}^u \bar{B}_{25}^u ;$$

$$A_4^* = -B_{13}^u \bar{B}_{16}^u + B_{14}^u \bar{B}_{26}^u ;$$

$$A_3 = 1 + \frac{E_2 F_2}{E_c R_c R_2} \left(\bar{A}_2 - \frac{\bar{A}_1 A_2^*}{A_1^*} \right) ;$$

$$B_3 = 1 + \frac{2\bar{A}_1 S_4}{A_1^* h_2} ;$$

$$J_{2np} = J_2 \left[1 + \frac{E_c S_4^2 R_c R_2}{E_2 J_2 A_1^*} + \frac{F_2 h_2^2 B_3}{4 A_3 J_2} \left(\frac{2 A_2^* S_4}{A_1^* h_2} + 1 \right) \right] .$$

Расчет нагрузок при затяжке болтов фланцевого соединения производится по формулам:

$$H_{4np} = \frac{E_2 F_2}{A_3 E_c S_4 R_2} \left(\frac{\bar{A}_1 A_3^*}{A_1^*} - \bar{A}_3 \right) Q_c^* ;$$

$$M_{22} = M_{21} - \frac{R_c}{R_2} \left[\frac{A_3^* R_c}{A_1^*} Q_c^* + \left(\frac{A_2^* S_4}{A_1^*} + \frac{h_2}{2} \right) H_{4np} \right] ;$$

$$H_4^* = \frac{E_2 F_2 h_2 B_3}{2 R_2 R_c A_3} \varphi_2^* + H_{4np} ;$$

$$M_4^* = - \frac{1}{A_1^*} (E_c S_4^2 \varphi_2^* + A_2^* H_4^* S_4 + A_3^* Q_c^* R_c) ;$$

$$H_c^* = \frac{1}{S_4} (\bar{B}_{23}^u M_4^* + \bar{B}_{24}^u H_4^* S_4 + \bar{B}_{25}^u Q_c^* R_c) ;$$

$$M_c^* = \bar{B}_{13}^u M_4^* + \bar{B}_{14}^u H_4^* S_4 + \bar{B}_{15}^u Q_c^* R_c .$$

Приращения нагрузок в расчетном состоянии определяются по формулам.

$$H_{4np} = \frac{1}{A_3} \left\{ \frac{E_2 F_2}{R_2} (\alpha_2 - \alpha_c) (t_c - t_0) + \frac{E_2 F_2}{E_c R_2 S_4} \left(\frac{\bar{A}_1 A_3^*}{A_1^*} - \right. \right.$$

$$\begin{aligned}
 & -\bar{A}_3 \left) Q'_c + \left[\frac{E_2 F_2 R_c}{E_c S_4 R_2} \left(\frac{\bar{A}_1 \bar{A}_4^*}{A_1^*} - \bar{A}_4 \right) + h_2 \right] P_T \right\}; \\
 M_{22} &= M_{21} - \frac{R_c}{R_2} \left[\frac{\bar{A}_3^* R_c}{A_1^*} Q'_c + \frac{\bar{A}_4^* R_c^2}{A_1^*} P_T + \left(\frac{\bar{A}_2^* S_4}{A_1^*} + \frac{h_2}{2} \right) H_{\text{упр}} \right]; \\
 H'_4 &= \frac{E_2 F_2 h_2 B_3}{2 R_2 R_c A_3} \psi'_2 + H_{\text{упр}}; \\
 M'_4 &= -\frac{1}{A_1^*} \left(E_c S_4^2 \psi'_2 + A_2^* H'_4 S_4 + A_3^* Q'_c R_c + A_4^* P_T R_c^2 \right); \\
 H'_c &= \frac{1}{S_4} \left(\bar{B}_{23}^4 M'_4 + \bar{B}_{24}^4 H'_4 S_4 + \bar{B}_{25}^4 Q'_c R_c + \bar{B}_{26}^4 P_T R_c^2 \right), \\
 M'_c &= \bar{B}_{13}^4 M'_4 + \bar{B}_{14}^4 H'_4 S_4 + \bar{B}_{15}^4 Q'_c R_c + \bar{B}_{16}^4 P_T R_c^2.
 \end{aligned}$$

Остальные расчетные формулы совпадают с ранее приведенными.

4.2. Двухпорное фланцевое соединение на шпильках (черт. 24)

Рассматриваемая конструкция фланцевого соединения состоит из фланцевых колец (1.2) с прымкающими к ним цилиндрическими оболочками и прокладки (3), зажатой между ними с помощью шпилек (4).

4.2.1. Исходные данные

$R_1, R_2, R_{k_1}, R_{k_2}, R_m, R_{m_2}, R_\delta$ - средние радиусы цилиндрических оболочек, фланцевых колец, прокладок в местах их сжатия и радиус буртовой окружности, соответственно, мм;

S_1, S_2, S_l - толщины цилиндрических оболочек, присоединенных к фланцевым кольцам и прокладкам, мм;

$b_1, b_2, b_{m_1}, b_{m_2}$ - ширина первого и второго фланцевых колец и прокладок в местах их сжатия, мм;

h_1, h_2, h_k - высота колец и канавки на кольце для формирования плоскостей обжатия прокладок, мм;

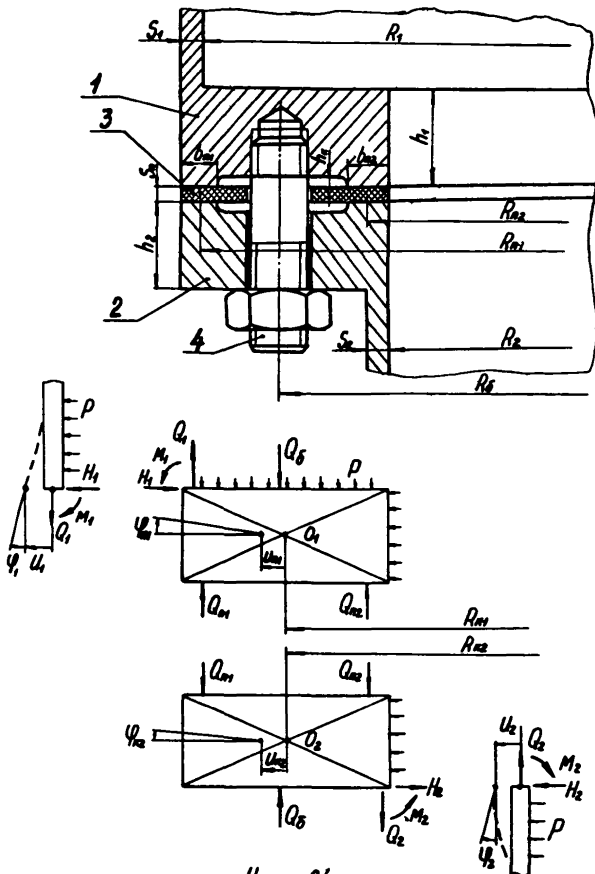
d_δ - диаметр шпильки, мм

n_δ - количество шпилек;

f_δ - площадь поперечного сечения шпильки, мм^2 . Определяется по внутреннему диаметру резьбы;

$t_1, t_2, t_{k_1}, t_{k_2}, t_\delta, t_0$ - расчетные температуры цилиндрических оболочек, фланцевых колец, шпилек и начальная температура ($t_0 = 20^\circ\text{C}$), соответственно, $^\circ\text{C}$;

Двухорное фасонное сечение на штильках



Черт. 24

$\alpha_1, \alpha_2, \alpha_{K1}, \alpha_{K2}, \alpha_3$ - коэффициенты линейного расширения материалов цилиндрических оболочек, фланцевых колец и шпилек, $1/{}^{\circ}\text{C}$;

$E_1, E_2, E_{K1}, E_{K2}, E_3$ - модули продольной упругости материалов цилиндрических оболочек, фланцевых колец и шпилек, МПа;

E_p - модуль упругости материала прокладки, МПа;

P - расчетное давление, МПа;

$[\sigma]_b^w, [\sigma]_b^t$ допускаемое напряжение для материала шпилек при температуре $20\text{ }^{\circ}\text{C}$ и при расчетной температуре, МПа. Принимается по ОСТ 26-373-78 или другой руководящей нормативной документации;

$[q]$ - допускаемое удельное давление на прокладку, МПа. Принимается по ОСТ 26-373-78;

q - минимальное удельное давление, необходимое для обжатия прокладки, МПа. Принимается по ОСТ 26-373-78;

m - прокладочный коэффициент. Принимается по ОСТ 26-373-78;

$[\sigma]$ - допускаемое напряжение, МПа. Принимается по ГОСТ 14249-80 или другой руководящей нормативной документации для каждой из рассчитываемых деталей.

4.2.2. Вычисление вспомогательных величин

Для цилиндрической оболочки, примыкающей к фланцу I.

$$\omega_1 = \sqrt[4]{\frac{2.73 R_1^2}{S_1^2}} ; \quad B_{II}' = \frac{4S_1\omega_1^3}{R_1} ;$$

$$B_{I2}' = 2\omega_1^2 ; \quad B_{22}' = \frac{2R_1\omega_1}{S_1} .$$

Для цилиндрической оболочки, примыкающей к фланцу 2,

$$\omega_2 = \sqrt{\frac{2,73 R_2^2}{S_2}}; \quad B_{II}^2 = \frac{4 S_2 \omega_2^3}{R_2};$$

$$B_{I2}^2 = 2 \omega_2^2; \quad B_{22}^2 = \frac{2 R_2 \omega_2}{S_2}.$$

Для колец 1 и 2

$$l_1 = \frac{b_1 h_1}{12}; \quad F_1 = b_1 h_1;$$

$$l_2 = \frac{b_2 h_2}{12}; \quad F_2 = b_2 h_2.$$

Для шпилек

$$l_5 = h_2 + S_n + h_n + 0,6 d_5; \quad Y_5 = \frac{l_5}{E_5 f_5 \pi_5}$$

Для прокладок

$$Y_{n_1} = \frac{S_n}{2\pi R_{n_1} b_{n_1} E_n}; \quad Y_{n_2} = \frac{S_n}{2\pi R_{n_2} b_{n_2} E_n}.$$

4.2.3. Расчет нагрузок

4.2.3.1. При затяжке шпилек

$$N_3 \leq n_5 f_5 [0]_5^{20};$$

$$Q_{n10} = \frac{N_3 (R_3 - R_{n_1})}{2\pi R_{n_1} (R_{n_1} - R_{n_2})}; \quad Q_{n20} = \frac{N_3 (R_{n_1} - R_3)}{2\pi R_{n_2} (R_{n_1} - R_{n_2})}.$$

4.2.3.2. Расчет нагрузок, возникающих в расчетном состоянии, производится по формулам:

$$Q_1 = \frac{R_1 P}{2};$$

$$Q_{n_1} = Q_{n10} + Q_{n21};$$

$$Q_5 = Q_{50} + Q_{51}.$$

$$Q_2 = \frac{R_2 P}{2};$$

$$Q_{n_2} = Q_{n20} + Q_{n21};$$

Значения приложенных нагрузок $Q_1, Q_{n_1}, Q_{n21}, M_1, H_1, M_2, H_2$, возникающих при переходе фланцевого разъема из состояния затяжки в расчетное состояние, определяются при решении следующей системы линейных алгебраических уравнений:

$$I) \quad Q_{51} R_5 - Q_{n11} R_{n_1} - Q_{n21} R_{n_2} = \frac{P R_2^2}{2},$$

$$2) \quad (A_2 + A_3) Y_5 Q_{51} R_5 + A_2 Y_{n11} R_{n_1} + A_3 Y_{n21} R_{n_2} = -\frac{A_2 + A_3}{2\pi} \Delta +;$$

$$3) -A_3 Y_6 Q_{5s} A_3 Y_{12} Q_{12s} R_N B_N' M_1 + B_{12}' H_1 S_1 - A_1 B_N^2 M_2 + A_1 B_{12}^2 H_2 S_2 = A_3 \Delta y / 2 \pi ;$$

$$4) \frac{R_1 - R_{12}}{R_1} Q_{5s} R_5 - \frac{R_{12} - R_{12}}{R_1} Q_{12s} R_{12} + \frac{R_{12} - R_{12}}{R_1} Q_{12s} R_{12} + (1 + A_4 B_{11}') M_1 + (A_4 B_{12}' - A_3) H_1 S_1 - \frac{R_1 - R_{12}}{2} P R_1 ,$$

$$5) (B_{12}' + A_6 B_N') M_1 + (B_{22}' + A_6 B_{12}' + \frac{A_5 P_1}{S_1}) H_1 S_1 - E_1 R_1 S_1 (\alpha_{K1} - \alpha_1) / (t_1 - t_0) + + A_6 \frac{(2R_{12} - b_2) h_2}{2R_2} - 0,85 / P R_1^2 ,$$

$$6) \frac{R_{12} - R_1}{R_2} Q_{5s} R_5 + \frac{R_{12} - R_{12}}{R_2} Q_{12s} R_{12} - \frac{R_{12} - R_{12}}{R_2} Q_{12s} R_{12} + (1 + A_6 B_N^2) M_2 + + (A_3 - A_6 B_{12}^2) H_2 S_2 - \frac{R_{12} - R_2}{2} P R_2 ,$$

$$7) (B_{12}^2 + A_6 B_N^2) M_2 - (B_{22}^2 + A_6 B_{12}^2 + \frac{A_7 R_2}{S_2}) H_2 S_2 = - E_2 R_2 S_2 (\alpha_2 - \alpha_{K2}) / (t_2 - t_0) + [0,85 - A_7 \frac{(2R_{12} - b_2) h_2}{2R_2^2}] / P R_2^2 ,$$

$$\text{т.е. } \Delta_1 = [\alpha_1 / (t_1 - t_0) - \alpha_{K1} / (t_{K1} - t_0)] / h_1 ; \quad A_1 = \frac{E_1 S_1^2}{E_2 S_2^2} ;$$

$$A_2 = \frac{E_1 S_1^2}{R_{12} - R_1} 2 \pi ; \quad A_3 = \frac{E_1 S_1^2}{R_2 - R_{12}} 2 \pi ;$$

$$A_4 = \frac{E_{K1} I_1}{E_1 R_1 S_1 R_{K1}} ; \quad A_5 = \frac{E_1 S_1 R_{K1}}{E_{K1} F_1} ;$$

$$A_6 = \frac{E_{K2} I_2}{E_2 R_2 S_2 R_{K2}} ; \quad A_7 = \frac{E_2 S_2 R_{K2}}{E_{K2} F_2} ;$$

$$A_8 = \frac{h_1}{2S_1} ; \quad A_9 = \frac{h_2}{2S_2} .$$

4.2.4. Расчет прочности цилиндрических оболочек производится по формулам п. I.7. Расчет деталей фланцевого соединения по формулам п. I.8 при $P_t = P$.

4.3. Двухпорное фланцевое соединение на болтах (черт. 25)

Рассматриваемая конструкция фланцевого соединения состоит из фланцевых колец (1) с присоединенными к ним цилиндрическими оболочками (2) и прокладки (3), зажатой между кольцами с помощью болтов (4).

4.3.1. Исходные данные

$D, D_H, D_{1H}, D_{2H}, D_{1B}, D_{2B}, D_\delta$ - внутренний диаметр цилиндрической оболочки, наружный диаметр фланцевого кольца, наружный и внутренний диаметры наружной опорной части прокладки, наружный и внутренний диаметры внутренней опорной части прокладки и диаметр болтовой окружности, соответственно, мм;

s, s_η - толщина цилиндрической оболочки и прокладки, мм;

h_ϕ, h_κ - высота фланца и канавки в нем, мм;

d_δ - диаметр болта, мм;

n_δ - количество болтов;

t, t_ϕ, t_δ, t_0 - расчетная температура цилиндрической оболочки, фланца, болтов и начальная температура, $^{\circ}\text{C}$ ($t_0 = 20 \text{ }^{\circ}\text{C}$);

$\alpha, \alpha_\phi, \alpha_\delta$ - коэффициенты линейного расширения материалов цилиндрической оболочки, фланца и болтов, $1/\text{ }^{\circ}\text{C}$;

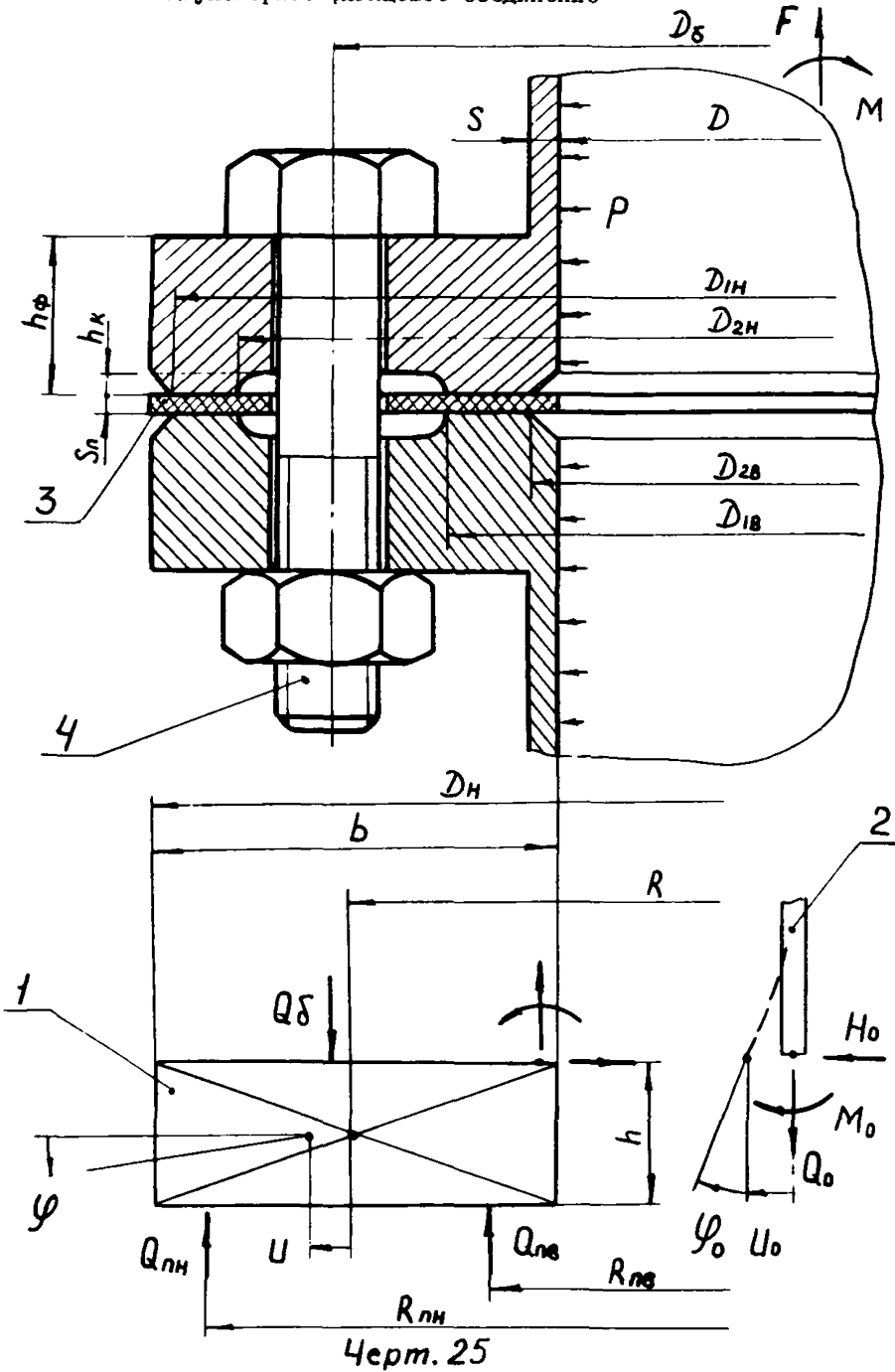
E, E_ϕ, E_δ, E_n - модули продольной упругости материалов цилиндрической оболочки, фланца, болтов и прокладки, МПа.

Принимаются по ГОСТ 14249-80, ОСТ 26-373-78 или другой руководящей нормативной документации;

$[\sigma]_\delta^{20}, [\sigma]_\delta^t$ - допускаемое напряжение для материала болтов при температуре $20 \text{ }^{\circ}\text{C}$ и при расчетной температуре, МПа. Принимается по ОСТ 26-373-78 или другой руководящей нормативной документации;

$[\sigma]$ - допускаемое напряжение, МПа. Принимается по ГОСТ 14249-80 или другой руководящей нормативной документации для каждой из рассчитываемых деталей;

Двухпорное фланцевое соединение



4epm. 25

- $q, [q]$ - минимальное и допускаемое удельное давление на прокладку, МПа. Принимается по ОСТ 26-373-78 ;
 m - прокладочный коэффициент. Принимается по ОСТ 26-373-78 ;
 P - расчетное давление, МПа ;
 F - внешняя нагрузка, растягивающая фланцевое соединение (сжимающая со знаком минус), Н ;
 M - внешний изгибающий момент, действующий на фланцевое соединение, Н·мм.

4.3.2. Рекомендации по конструированию

При выборе наружного диаметра и толщины фланцевых колец необходимо удовлетворить следующие условия:

$$\frac{D_H}{D} \leq 2, \quad \frac{h}{b} \geq 0.25.$$

где $h = h_\varphi - h_K, \quad b = \frac{D_H - D}{2}.$

При выборе болтов и площади прокладки, находящейся в зоне сжатия, необходимо удовлетворить следующие условия:

$$\frac{Q_\delta^* R_\delta}{R_{nb} b_{nb} + R_{nh} b_{nh}} \geq q, \quad \frac{Q_\delta^* R_\delta}{R_{nb} b_{nb} + R_{nh} b_{nh}} \leq [q],$$

где $Q_\delta^* \leq \frac{\pi \delta f_\delta [\sigma]_\delta^{20}}{2 \pi R_\delta}; \quad f_\delta = \frac{\pi d_\delta^2}{4}; \quad R_\delta = \frac{D_\delta}{2};$

$$R_{nb} = \frac{D_{1B} + D_{2B}}{4}; \quad b_{nb} = \frac{D_{1B} - D_{2B}}{2},$$

$$R_{nh} = \frac{D_{1H} + D_{2H}}{4}; \quad b_{nh} = \frac{D_{1H} - D_{2H}}{2}.$$

4.3.3. Расчет нагрузок

4.3.3.1. При затяжке болтов нагрузки составных деталей фланцевого соединения определяются по формулам:

$$Q_o^* = 0, \quad H_o^* = P_3 E S \varphi^*, \quad M_o^* = -P_4 E S R_o \varphi^*,$$

$$Q_{ns}^{\circ} = \frac{b_{ns}}{R_{ns} b_{ns} + R_{nn} b_{nn}} \left[Q_{\delta}^{\circ} R_{\delta} - \frac{2E_{\pi} (R_{nn} - R_{ns}) R_{ns} b_{nn}}{S_n} \varphi^{\circ} \right],$$

$$Q_{nn}^{\circ} = \frac{b_{nn}}{R_{ns} b_{ns} + R_{nn} b_{nn}} \left[Q_{\delta}^{\circ} R_{\delta} + \frac{2E_{\pi} (R_{nn} - R_{ns}) R_{ns} b_{ns}}{S_n} \varphi^{\circ} \right],$$

$$\text{т.е.} \quad R = \frac{D + D_n}{4}; \quad R_o = \frac{D + S}{2}; \quad \omega = \sqrt{\frac{2.73 R_o^2}{S^2}};$$

$$\rho_1 = \frac{h\omega}{R_o}; \quad \rho_2 = \frac{ERS}{E_p R_o b}; \quad \rho_3 = \frac{\rho_1 (1 + \rho_1)}{2\omega^2 (\rho_1 + \rho_2)};$$

$$\rho_4 = \frac{\rho_1 (2 + \rho_1) + \rho_2}{4\omega^3 (\rho_1 + \rho_2)}; \quad A_o = \frac{3\rho_2}{\rho_1^3} \frac{2\rho_1 + 2\rho_1^2 + \rho_1^3 + \rho_2}{\rho_1 + \rho_2};$$

$$A_n = \frac{24E_n R (R_{nn} - R_{ns})}{E_p b h^3 S_n} \frac{R_{ns} b_{ns} R_{nn} b_{nn}}{(R_{ns} b_{ns} + R_{nn} b_{nn})^2}; \quad c_{\delta} = R_{\delta} - \frac{R_{ns}^2 b_{nn} + R_{nn}^2 b_{ns}}{R_{ns} b_{ns} + R_{nn} b_{nn}}.$$

$$\varphi^{\circ} = \frac{12RR_{\delta}c_{\delta} Q_{\delta}^{\circ}}{E_p b h^3 (1 + A_o + A_n)}.$$

4.3.3.2. Приложения нагрузок, вызванные внешними воздействиями на фланцевое соединение, определяются по формулам:

$$Q_o' = \frac{P_{np} D^2}{2R_o}, \quad H_o' = \rho_3 E S \psi' + \rho_5 [0.3 Q_o' - (1 - \rho_2) P R_o + Q_r],$$

$$M_o' = -\rho_4 E S R_o \psi' + \rho_6 [(1 - \rho_2) P R_o^2 - 0.3 Q_o' R_o - Q_r R_o],$$

$$Q_{ns}' = \frac{b_{ns}}{f_{np}} \left(\frac{\Delta t - 2c_o \psi'}{2\pi\gamma_{\delta}} - Q_o' R_o \right), \quad Q_{nn}' = \frac{b_{nn}}{f_{np}} \left(\frac{\Delta t + 2c_n \psi'}{2\pi\gamma_{\delta}} - Q_o' R_o \right),$$

$$Q_{\delta}' = \frac{\Delta t - 2(R_{\delta} - R_{ns}) \psi'}{2\pi\gamma_{\delta} R_{\delta}} - \frac{f_{np} Q_{ns}'}{R_{\delta} b_{ns}},$$

$$\text{при } P_{np} = P + \frac{1}{\pi D^2} (F + \frac{2M}{R_0}); \quad Q_f = (\alpha_f - \alpha) (t - t_0) ES;$$

$$\Delta_f = 2h_\varphi [\alpha_f(t_f - t) - \alpha_\delta(t_\delta - t_0)]; \quad l_\delta = 2h_\varphi + S_n + 0,3d_\delta;$$

$$y_\delta = \frac{l_\delta}{E_\delta f_{\delta} n_\delta}; \quad f_{\delta n} = \frac{S_n}{2\pi Y_\delta E_n}; \quad f_{np} = f_{\delta n} + R_{n\delta} b_{n\delta} + R_{n\eta} b_{n\eta};$$

$$C_\delta = R_\delta - R_{n\delta} + \frac{R_{n\eta} - R_{n\delta}}{f_{\delta n}} R_{n\eta} b_{n\eta}; \quad C_\eta = R_{n\eta} - R_\delta + \frac{R_{n\eta} - R_{n\delta}}{f_{\delta n}} R_{n\delta} b_{n\delta};$$

$$C_o = \frac{R_{n\delta} b_{n\delta} + R_{n\eta} b_{n\eta} + R_\delta f_{\delta n}}{f_{np}} - R_o; \quad \bar{C}_\delta = \frac{R_{n\delta} b_{n\delta} (R_\delta - R_{n\delta}) - R_{n\eta} b_{n\eta} (R_{n\eta} - R_\delta)}{f_{np}};$$

$$A_\delta = \frac{24R_\delta [R_{n\delta} b_{n\delta} (R_\delta - R_{n\delta}) + R_{n\eta} b_{n\eta} (R_{n\eta} - R_\delta)]^2}{2\pi Y_\delta E_\delta b h^3 f_{np}}, \quad \bar{A}_n = \frac{24E_n R (R_{n\eta} - R_{n\delta})^2 R_{n\delta} b_{n\delta} R_{n\eta} b_{n\eta}}{E_\delta b h^3 S_n f_{np}};$$

$$\rho_5 = \frac{h}{R_o (\rho_1 + \rho_2)}; \quad \rho_6 = \frac{\rho_1}{2\omega^2 (\rho_1 + \rho_2)};$$

$$M' = \rho_6 (1 + \rho_1) [(1 - \rho_2) P R_o - Q_f - 0,3 Q_o'] R_o^2 + \frac{\bar{C}_\delta \Delta t}{2\pi Y_\delta} + Q_o' R_o C_o,$$

$$\varphi' = \frac{12 R M'}{E_\delta b h^3 (1 + A_o + \bar{A}_n + A_\delta)}.$$

4.3.3.3. Нагрузки деталей фланцевого соединения в расчетном состоянии определяются по формулам:

$$Q_\delta = Q_\delta^o + Q_\delta'; \quad Q_{n\delta} = Q_{n\delta}^o + Q_{n\delta}'; \quad Q_{n\eta} = Q_{n\eta}^o + Q_{n\eta}';$$

$$Q_o = Q_o'; \quad H_o = H_o^o + H_o'; \quad M_o = M_o^o + M_o'.$$

Угол поворота фланца определяется по формуле

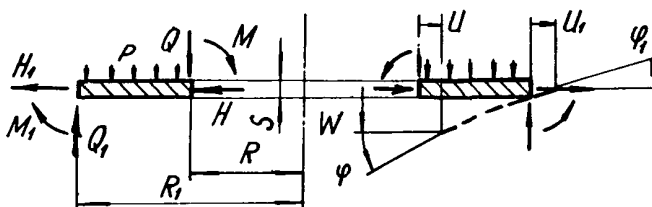
$$\varphi = \varphi^o + \varphi'.$$

4.3.4. Расчет прочности цилиндрической оболочки производится по формулам п.I.7. Расчет деталей фланцевого соединения - по формулам п. I.8 при $P_t = P$.

ПРИЛОЖЕНИЕ I
Обязательное

ДЕФОРМАЦИИ И НАПРЯЖЕНИЯ В ИСПОЛЬЗУЕМЫХ ДЕТАЛЯХ

I. Кольцевая пластина (черт. I)



черт. I

I.1. Деформации:

$$W = \frac{R^2}{D} (A_{11} Q R + A_{12} M + A_{13} M_1 + A_{14} P R_1^2) ,$$

$$\varphi = \frac{R}{D} (A_{12} Q R + A_{22} M + A_{23} M_1 + A_{24} P R_1^2) ,$$

$$\varphi_1 = \frac{R}{D} \beta_n (A_{31} Q R + A_{23} M + A_{33} M_1 + A_{34} P R_1^2) ,$$

$$U = \frac{R}{D_M} (A_{22} H + A_{23} H_1) ,$$

$$U_1 = \frac{R}{D_M} (A_{23} H + A_{33} H_1) .$$

I.2. Вспомогательные величины:

$$A_{11} = \frac{(1-\beta_n^2)(\beta_n^2+1)(1-\nu)\beta_n^2 + 4A_n^2}{8(1-\nu^2)\beta_n^4} ; \quad A_{12} = \frac{(1-\nu)\beta_n^2 - 2A_n}{2(1-\nu^2)\beta_n^2} ;$$

$$\begin{aligned}
 A_{11} &= \frac{1-\nu - 2A_n}{2(1-\nu^2)\beta_n^2}; \quad A_{1n} = \frac{(1-\beta_n^2)(1-\nu)(5+\nu - (7+3\nu)\beta_n^2) / 4A_n(3+\nu+4A_n)}{64(1-\nu^2)\beta_n^2}; \\
 A_{22} &= \frac{1+\nu + (1-\nu)\beta_n^2}{(1-\nu^2)(1-\beta_n^2)}; \quad A_{23} = \frac{2}{(1-\nu^2)(1-\beta_n^2)}; \\
 A_{24} &= \frac{3+\nu - (1-\nu)\beta_n^2 + 4A_n}{8(1-\nu^2)}; \quad A_{33} = \frac{1-\nu + (1+\nu)\beta_n^2}{(1-\nu^2)(1-\beta_n^2)\beta_n^2}; \\
 A_{34} &= \frac{1-\nu + \beta_n^2(1+3\nu+4A_n)}{8(1-\nu^2)\beta_n^2}; \quad A_n = \frac{(1+\nu)\beta_n^2 l_n \beta_n}{1-\beta_n^2}; \\
 D &= \frac{ES^3}{12(1-\nu^2)}; \quad D_M = \frac{ES}{1-\nu^2}; \quad \beta_n = \frac{R}{R_i}.
 \end{aligned}$$

Значения коэффициентов $A_{11}, A_{12}, A_{13}, A_{14}, A_{22}, A_{23}, A_{24}, A_{33}, A_{34}$ при $\nu = 0,3$ приведены в табл. I.

I.3. Расчет напряжений, возникающих на наружном и внутреннем контурах пластины, производится по формулам:

- мембранные напряжения в радиальном направлении

$$\sigma_M = \frac{H_i}{S}, \quad \sigma_M = -\frac{H}{S};$$

- изгибающие напряжения на верхней и нижней поверхностях

$$\sigma_u = \mp \frac{\delta M}{S^2}, \quad \sigma_u = \pm \frac{\delta M}{S^2};$$

- касательные напряжения на торцах

$$\tau = \frac{[Q]_1}{S}, \quad \tau = \frac{[Q]}{S}.$$

Здесь

$$Q_1 = \frac{R}{R_i} Q + \frac{R_i^2 - R^2}{2R_i} P.$$

Таблица I

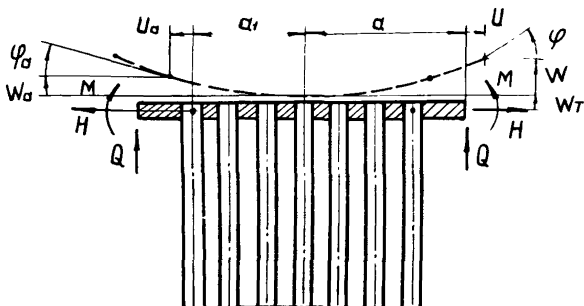
Значения коэффициентов $A_{11}, A_{12}, A_{13}, A_{14}, A_{22}, A_{23}, A_{24}, A_{33}, A_{34}$

β_n	A_{11}	A_{12}	A_{13}	A_{14}	A_{22}	A_{23}	A_{24}	A_{33}	A_{34}
Базисные	$\frac{1-\beta_n}{1}$	$\frac{1}{1}$	$\frac{1}{1}$	$\frac{(1-\beta_n)^2}{(1-\beta_n)^2}$	$\frac{1}{1}$	$\frac{1}{1}$	$\frac{1-\beta_n}{1}$	$\frac{1}{1}$	$\frac{1-\beta_n}{1}$
≈ 1.00	0.91	0.91	0.91	1.82	0.91(1- β_n)	0.91(1- β_n)	1.82	0.91(1- β_n)	1.82
0.99	0.0112	1.106	1.114	0.000055	109.70	110.40	0.00549	111.20	0.00553
0.98	0.0227	1.113	1.129	0.000223	54.70	55.50	0.01097	56.30	0.01113
0.97	0.0345	1.121	1.145	0.000506	36.40	37.20	0.01645	38.00	0.01680
0.96	0.0467	1.128	1.161	0.000908	27.30	28.00	0.02190	28.90	0.02260
0.95	0.0593	1.136	1.178	0.001430	21.80	22.50	0.02740	23.40	0.02840
0.94	0.0723	1.144	1.195	0.002080	18.10	18.90	0.03280	19.80	0.03430
0.93	0.0857	1.152	1.212	0.002860	15.50	16.30	0.03830	17.20	0.04030
0.92	0.0996	1.160	1.230	0.003760	13.50	14.30	0.04370	15.20	0.04640
0.91	0.1139	1.168	1.248	0.004800	12.00	12.80	0.04920	13.70	0.05260
0.90	0.1287	1.177	1.267	0.005970	10.80	11.60	0.05460	12.50	0.05890
0.88	0.1597	1.194	1.306	0.008760	8.97	9.74	0.06540	10.70	0.07170
0.86	0.1928	1.212	1.347	0.012140	7.67	8.44	0.07620	9.48	0.08500
0.84	0.2283	1.231	1.391	0.016170	6.70	7.46	0.08700	8.56	0.09880
0.82	0.2662	1.250	1.437	0.020870	5.94	6.71	0.09770	7.85	0.11300
0.80	0.3069	1.270	1.486	0.026300	5.34	6.11	0.10840	7.31	0.12790

Продолжение табл. I

β_n	A_{11}	A_{12}	A_{13}	A_{14}	A_{22}	A_{23}	A_{24}	A_{33}	A_{34}
0.78	0.351	1.291	1.539	0.0325	4.84	5.61	0.119	6.88	0.143
0.76	0.398	1.313	1.594	0.0395	4.43	5.20	0.130	6.53	0.159
0.74	0.448	1.335	1.653	0.0474	4.09	4.86	0.140	6.26	0.176
0.72	0.503	1.359	1.716	0.0563	3.79	4.56	0.151	6.05	0.194
0.70	0.562	1.384	1.784	0.0662	3.54	4.31	0.161	5.88	0.212
0.68	0.626	1.409	1.857	0.0773	3.32	4.09	0.172	5.75	0.232
0.66	0.695	1.436	1.935	0.0895	3.12	3.89	0.182	5.66	0.253
0.64	0.771	1.464	2.019	0.1031	2.95	3.72	0.193	5.60	0.275
0.62	0.853	1.494	2.110	0.1182	2.80	3.57	0.203	5.57	0.298
0.60	0.943	1.525	2.209	0.1348	2.66	3.43	0.213	5.57	0.323
0.58	1.041	1.557	2.316	0.1533	2.54	3.31	0.224	5.60	0.350
0.56	1.149	1.591	2.433	0.1738	2.43	3.20	0.234	5.65	0.378
0.54	1.269	1.627	2.562	0.1965	2.33	3.10	0.244	5.74	0.410
0.52	1.400	1.665	2.703	0.2217	2.24	3.01	0.254	5.86	0.443
0.50	1.547	1.705	2.859	0.2498	2.16	2.93	0.264	6.01	0.481

2. Трубная решетка (черт. 2)



Черт. 2

2.1. Деформации наружного контура:

$$W = \frac{a^2}{D_p} [T_{11} Q a + T_{12} M + T_{13} (P_T - P_M) a^2], \quad u = \frac{T_{33} H a}{E_p S_p},$$

$$\varphi = \frac{a}{D_p} [T_{12} Q a + T_{22} M + T_{23} (P_T - P_M) a^2];$$

на расстоянии a_1 от центра:

$$w_a = \frac{1}{K a_1} (\varphi_1 Q a + \varphi_2 \beta M a), \quad u_a = \frac{(1-\nu) H a_1}{\psi_p E_p S_p},$$

$$\varphi_a = \frac{\beta}{K a_1} (\varphi_2 Q a + \varphi_3 \beta M a);$$

трубного пучка:

$$W_T = \frac{1}{K} (\alpha, P_M - \alpha P_T) + \frac{\nu L}{4 E_T S_T} (d_T P_M - d_B P_T).$$

2.2. Вспомогательные величины:

$$\alpha = 1 - \frac{\pi d_B^2}{4 f}; \quad \alpha_1 = 1 - \frac{\pi d_T^2}{4 f};$$

$$\alpha_\psi = \alpha (0.8 + 0.2 \frac{f_{sp}}{S_p}); \quad \psi = \alpha_\psi^2 \sqrt{\alpha_\psi};$$

$$\psi_p = \psi (1 + 0.1 \frac{d_B}{S_p}); \quad \psi_p = \frac{t - d_B}{t};$$

$$J = \frac{\pi}{64} (d_r^4 - d_s^4), \quad D_p = \frac{E_p S_p^3}{10,92}.$$

Значения коэффициентов ψ_0 приведены в табл. 2

Таблица 2

Коэффициенты ψ_0

α_ψ	3,4	0,45	0,5	0,55	0,6	0,65	0,7	0,75	0,8	0,85
ψ_0	0,12	0,15	0,2	0,25	0,3	0,37	0,44	0,51	0,59	0,68

$$K = \frac{2E_f f_i}{L f_i}, \quad \beta = \sqrt[4]{\frac{K}{\psi_0 D_p}}, \quad \omega = \beta a, \quad \cdot$$

Коэффициенты $\varphi_1, \varphi_2, \varphi_3$ вычисляются по следующим формулам:

$$\varphi_1 = \frac{\omega}{T} [ber^2 \omega + bej^2 \omega + \frac{0,7}{\omega} (ber' \omega \cdot bei \omega - bei' \omega \cdot ber \omega)],$$

$$\varphi_2 = \frac{\omega}{T} (ber \omega \cdot ber' \omega + bei \omega \cdot bei' \omega), \quad \varphi_3 = \frac{\omega}{T} (ber' \omega^2 + bei' \omega^2),$$

$$T = ber \omega \cdot bej \omega - bei \omega \cdot ber' \omega - \frac{0,7}{\omega} (ber'^2 \omega + bej'^2 \omega);$$

$$ber \omega = 1 - \frac{1}{(2!)^2} \left(\frac{\omega}{2}\right)^4 + \frac{1}{(4!)^2} \left(\frac{\omega}{2}\right)^8 - \dots; bei \omega =$$

$$= \left(\frac{\omega}{2}\right)^2 \frac{1}{(3!)^2} \left(\frac{\omega}{2}\right)^6 + \frac{1}{(5!)^2} \left(\frac{\omega}{2}\right)^{10} - \dots;$$

$$ber' \omega = \frac{1}{2} \left(\frac{\omega}{2}\right)^3 + \frac{1}{3! 4!} \left(\frac{\omega}{2}\right)^7 - \frac{1}{5! 6!} \left(\frac{\omega}{2}\right)^{11} + \dots; bei' \omega = \frac{\omega}{2} - \frac{1}{23!} \left(\frac{\omega}{2}\right)^5 + \frac{1}{415!} \left(\frac{\omega}{2}\right)^9 - \dots$$

Значения коэффициентов $\varphi_1, \varphi_2, \varphi_3$ приведены в табл. 3.

Таблица 3

Коэффициенты Φ_1 , Φ_2 , Φ_3

ω	0	0.5	1.0	1.5	2.0	2.5	3.0	3.5
Φ_1	2	2.00	2.06	2.28	2.79	3.58	4.50	5.39
Φ_2	0	0.02	0.19	0.62	1.32	2.16	2.94	3.59
Φ_3	0	0.19	0.76	1.65	2.75	3.76	4.65	5.36
Продолжение табл. 3								
ω	4	5	6	7	8	9	10	10
Φ_1	6.19	7.65	9.08	10.51	11.94	13.36	14.78	2
Φ_2	4.13	5.13	6.15	7.17	8.19	9.20	10.21	
Φ_3	6.03	7.38	8.81	10.24	11.66	13.08	14.50	2

$$\bar{A}_n = A_n + \frac{\Phi_1}{\psi_p \omega^4};$$

$$\bar{A}_{12} = A_{12} - \frac{\Phi_2}{\psi_p \omega^3};$$

$$\bar{A}_{22} = A_{22} + \frac{\Phi_3}{\psi_p \omega^2};$$

$$T_n = \beta_n^2 \left(\bar{A}_n - \bar{A}_{12} \frac{\bar{A}_{12}}{\bar{A}_{22}} \right);$$

$$T_{12} = \beta_n^2 \left(A_{13} - A_{23} \frac{\bar{A}_{12}}{\bar{A}_{22}} \right);$$

$$T_{13} = \beta_n^4 \left(A_{13} - A_{23} \frac{\bar{A}_{12}}{\bar{A}_{22}} \right) - \frac{1 - \beta_n^2}{2} T_{12};$$

$$T_{22} = \beta_n^2 \left(A_{33} - A_{23} \frac{\bar{A}_{23}}{\bar{A}_{22}} \right);$$

$$T_{23} = \beta_n^4 \left(A_{33} - A_{23} \frac{\bar{A}_{23}}{\bar{A}_{22}} \right) - \frac{1 - \beta_n^2}{2} T_{12};$$

$$T_{33} = 0.91 \beta_n^2 \left(A_{33} - A_{23} \frac{\bar{A}_{23}}{\bar{A}_{22}} \right); \quad \bar{A}_{23} = \frac{A_{23}}{A_{22} + \frac{1}{1.3 \psi_p}}.$$

Коэффициенты $A_{11}, A_{12}, A_{13}, A_{14}, A_{22}, A_{23}, A_{24}, A_{33}, A_{34}$ вычисляются по формулам п. I приложения при $\beta_n = \sigma_1 / \sigma$.

2.3. Расчет напряжений, возникающих на наружном контуре и в области закрепления труб, производится по формулам:

- мембранные напряжения в радиальном направлении

$$\sigma_M = \frac{H}{S_p},$$

$$\sigma_M = \frac{H_0}{\psi_p S_p};$$

- изгибающие напряжения на верхней и нижней поверхностях

$$\sigma_u = \mp \frac{\delta M}{S_p^2}, \quad \sigma_u = \mp \frac{\delta M_{max}}{\psi_p S_p^2} \mp \frac{\psi_p \alpha_p E_p}{1,3 \psi_p} (t_{pr} - t_{pr}) ;$$

- касательные напряжения на торках

$$T = \frac{Q}{S_p},$$

$$T = \frac{Q_a}{\psi_p S_p}.$$

$$\text{Здесь } M_{max} = A \frac{Q_a}{\beta}$$

$$\text{при } -0,7 \leq \pi_p = \frac{\beta M_a}{Q_a} \leq 1;$$

$$M_{max} = \beta M_a$$

$$\text{при } 0 \leq \pi_p = \frac{Q_a}{\beta M_a} \leq 1;$$

$$Q_a = \frac{1}{A_1} \left[Q_a + \frac{a^2 - a_1^2}{2} (P_r - P_M) \right], \quad H_a = \bar{A}_{23} H,$$

$$M_a = \frac{1}{\bar{A}_{22}} \left[\bar{A}_{12} Q_a a_1 + A_{23} M + A_{24} (P_r - P_M) a_1^2 \right]$$

Коэффициенты В и А представляют собой максимальные по абсолютной величине значения функций:

$$B = \frac{QH}{T} \left[\pi_p \left(f_1(\omega) \operatorname{ber}'' x - f_2(\omega) \operatorname{ber}' x \right) + \operatorname{ber}' \omega \operatorname{ber}'' x + \operatorname{ber}'' \omega \operatorname{ber}' x \right],$$

$$A = \frac{QH}{T} \left[f_1(\omega) \operatorname{ber}'' x - f_2(\omega) \operatorname{ber}' x + \pi_p (\operatorname{ber}' \omega \operatorname{ber}'' x + \operatorname{ber}'' \omega \operatorname{ber}' x) \right],$$

где

$$f_1(\omega) = \frac{0,7}{\omega} \operatorname{ber}'' \omega + \operatorname{ber}'' \omega; \quad f_2(\omega) = \frac{0,7}{\omega} \operatorname{ber}' \omega - \operatorname{ber}' \omega;$$

$$\operatorname{ber}'' x = -\operatorname{ber} x - \frac{\operatorname{ber}' x}{x}; \quad \operatorname{ber}' x = -\operatorname{ber} x - \frac{\operatorname{ber}'' x}{x}.$$

Максимум отыскивается в интервале $0 \leq x \leq \omega$.

При $\omega > 3$ - в интервале $(\omega - 3) \leq x \leq \omega$.

Значения коэффициентов В приведены в табл. 4, А - в табл. 5.

Таблица 4

Коэффициенты В

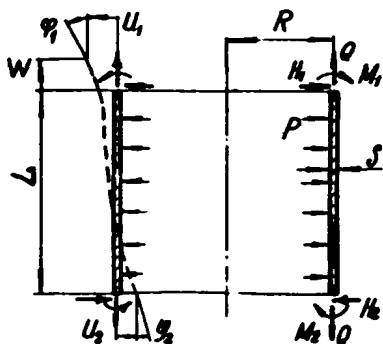
Pr	Коэффициенты В при ω							
	0,5	1,0	1,5	2,0	3,0	4,0	5,0	10,0 и более
0,9	0,83	0,93	1,00	0,95	0,94	1,00	1,04	1,08
0,8	0,80	0,91	0,96	0,91	0,91	0,97	1,01	1,05
0,7	0,79	0,88	0,92	0,87	0,88	0,94	0,98	1,02
0,6	0,78	0,86	0,88	0,84	0,86	0,92	0,95	0,99
0,5	0,76	0,82	0,84	0,80	0,84	0,89	0,92	0,96
0,4	0,75	0,80	0,80	0,78	0,82	0,87	0,90	0,94
0,3	0,74	0,77	0,76	0,75	0,80	0,85	0,88	0,91
0,2	0,73	0,74	0,73	0,74	0,79	0,84	0,86	0,90
0,1	0,71	0,72	0,71	0,73	0,78	0,82	0,85	0,88
0	0,70	0,70	0,71	0,72	0,78	0,81	0,84	0,87

Таблица 5

Коэффициенты А

M_p	Коэффициенты А при ω							
	0,5	1,0	1,5	2,0	3,0	4,0	5,0	10,0 и более
-0,7	0,52	0,54	0,57	0,60	0,63	0,64	0,64	0,64
-0,6	0,45	0,47	0,50	0,52	0,55	0,55	0,55	0,55
-0,5	0,38	0,40	0,43	0,45	0,47	0,47	0,47	0,46
-0,4	0,31	0,33	0,36	0,38	0,40	0,39	0,39	0,38
-0,3	0,24	0,26	0,29	0,31	0,32	0,31	0,30	0,29
-0,2	0,17	0,19	0,27	0,35	0,31	0,27	0,29	0,31
-0,1	0,10	0,20	0,34	0,40	0,34	0,32	0,34	0,36
0	0,13	0,27	0,40	0,45	0,38	0,37	0,39	0,41
0,1	0,20	0,34	0,46	0,51	0,42	0,43	0,45	0,47
0,2	0,27	0,41	0,53	0,56	0,47	0,48	0,51	0,54
0,3	0,34	0,48	0,59	0,61	0,52	0,55	0,58	0,60
0,4	0,41	0,55	0,66	0,67	0,58	0,61	0,64	0,67
0,5	0,48	0,62	0,72	0,72	0,64	0,68	0,71	0,74
0,6	0,55	0,68	0,78	0,78	0,71	0,72	0,73	0,81
0,7	0,62	0,75	0,85	0,83	0,76	0,81	0,85	0,89
0,8	0,69	0,82	0,91	0,88	0,83	0,88	0,92	0,96
0,9	0,76	0,89	0,98	0,94	0,90	0,96	1,00	1,04
1,0	0,83	0,96	1,04	0,99	0,96	1,03	1,07	1,12

3. Цилиндрическая оболочка (черт. 3)



Черт. 3

3.1. Деформации:

$$\varphi_1 = \frac{1}{ES^3} (B_{11}M_1 + B_{12}H_1S + B_{13}M_2 + B_{14}H_2S),$$

$$U_1 = \frac{1}{ES} (B_{11}M_1 + B_{21}H_1S + B_{31}M_2 + B_{41}H_2S - VQR + PR^2),$$

$$\varphi_2 = \frac{1}{ES^3} (B_{22}M_1 + B_{23}H_1S + B_{24}M_2 + B_{32}H_2S),$$

$$U_2 = \frac{1}{ES} (B_{22}M_1 + B_{23}H_1S + B_{24}M_2 + B_{32}H_2S + VQR - PR^2),$$

$$W = \frac{L}{ES} (K_Q - V K_P PR).$$

3.2. Вспомогательные величины:

$$\omega = \sqrt{\frac{2,73 R^2}{S^2}}, \quad \lambda = L \sqrt{\frac{2,73}{R^2 S^2}}.$$

для очень короткой оболочки

$$\lambda < 0,3$$

$$B_{11} = B_{13} = \frac{L^2 R^2 S}{L^3} ; \quad B_{12} = B_{14} = \frac{6 R^2}{L^2} ;$$

$$B_{22} = \frac{4 R^2}{L S} ; \quad B_{24} = \frac{2 R^2}{L S} .$$

для короткой оболочки $0,3 \leq \lambda \leq 3$:

$$B_{II} = \frac{4S\omega^3}{R} \Phi_{II}$$

$$B_{I2} = 2\omega^2 \Phi_{I2},$$

$$B_{I3} = \frac{4S\omega^3}{R} \Phi_{I3},$$

$$B_{I4} = 4\omega^2 \Phi_{I4},$$

$$B_{22} = \frac{2R\omega}{S} \Phi_{22},$$

$$B_{24} = \frac{2R\omega}{S} \Phi_{24},$$

$$\text{т.е. } \Phi_{II} = \frac{Sh\lambda \cdot ch\lambda + Sin\lambda \cdot Cos\lambda}{Sh^2\lambda - Sin^2\lambda},$$

$$\Phi_{I2} = \frac{Sh^2\lambda + Sin^2\lambda}{Sh^2\lambda - Sin^2\lambda},$$

$$\Phi_{I3} = \frac{Sh\lambda \cdot Cos\lambda + ch\lambda \cdot Sin\lambda}{Sh^2\lambda - Sin^2\lambda},$$

$$\Phi_{I4} = \frac{Sh\lambda \cdot Sin\lambda}{Sh^2\lambda - Sin^2\lambda},$$

$$\Phi_{22} = \frac{Sh\lambda \cdot ch\lambda - Sin\lambda \cdot Cos\lambda}{Sh^2\lambda - Sin^2\lambda},$$

$$\Phi_{24} = \frac{ch\lambda \cdot Sin\lambda - Sh\lambda \cdot Cos\lambda}{Sh^2\lambda - Sin^2\lambda},$$

для длинной оболочки

$$\lambda > 3:$$

$$B_{II} = \frac{4S}{R} \omega^3,$$

$$B_{I2} = 2\omega^2$$

$$B_{22} = \frac{2R}{S} \omega,$$

$$B_{I3} = B_{I4} = B_{24} = 0.$$

Значения коэффициентов $\Phi_{II}, \Phi_{I2}, \Phi_{I3}, \Phi_{I4}, \Phi_{22}, \Phi_{24}$ приведены в табл.6.

для оболочки без компенсатора $Kq = Kp = I$. Если на цилиндрической оболочке установлен компенсатор

$$Kq = I + \frac{2\pi RES}{LKk}; \quad Kp = I - \frac{\pi (D_k^2 - d_k^2) Es}{24 L R Kk},$$

где жесткость компенсатора Kk принимается по руководящей нормативной документации на компенсаторы. Допускается значение Kk принимать по разделу 2.

3.3. Расчет напряжений, возникающих в верхнем и нижнем сечениях, производится по формулам:

- мембранные осевые напряжения

$$\sigma_{Mx} = \frac{Q}{S};$$

- мембранные окружные напряжения

$$\sigma_{M\varphi} = V \sigma_{Mx} + \frac{U_x E}{R};$$

$$\sigma_{M\varphi} = V \sigma_{Mx} - \frac{U_x E}{R};$$

Коэффициенты $\Phi_{II}, \Phi_{I2}, \Phi_{I3}, \Phi_{I4}, \Phi_{22}, \Phi_{24}$

λ	Φ_{II}	Φ_{I2}	Φ_{I3}	Φ_{I4}	Φ_{22}	Φ_{24}
0,3	III,2200	33,3430	III,0700	16,6640	6,6672	3,3329
0,4	47,0240	18,7670	46,8240	9,3700	5,0012	2,4991
0,5	24,1860	12,0260	23,9360	5,9923	4,0024	1,9982
0,6	14,II20	8,3710	13,8I20	4,1555	3,3374	1,6636
0,7	9,006I	6,1737	8,6566	3,046I	2,8637	1,4237
0,8	6,I560	4,7544	5,7569	2,3240	2,5097	1,2427
0,9	4,4487	3,7882	4,0003	1,8269	2,2360	1,I008
I,0	3,3700	3,I042	2,8727	I,4693	2,0189	0,9858
I,1	2,6602	2,6050	2,1146	I,2027	I,8433	0,8903
I,2	2,1783	2,2324	I,585I	0,9979	I,699I	0,809I
I,3	I,843I	I,9493	I,203I	0,8366	I,5795	0,7386
I,4	I,6057	I,7315	0,9202	0,7067	I,4795	0,6764
I,5	I,4354	I,5623	0,7056	0,6002	I,3955	0,6205
I,6	I,3I2I	I,4303	0,5398	0,5113	I,3247	0,5697
I,7	I,2226	I,3269	0,4096	0,436I	I,2650	0,5229
I,8	I,1574	I,246I	0,3059	0,3717	I,2148	0,4793
I,9	I,II02	I,1830	0,2225	0,3I60	I,1727	0,4385
2,0	I,0762	I,I34I	0,155I	0,2675	I,1376	0,3999
2,1	I,0520	I,0966	0,1003	0,2250	I,1085	0,3634
2,2	I,0350	I,0680	0,0557	0,1876	I,0845	0,3288
2,3	I,0233	I,0467	0,0197	0,1546	I,0650	0,2958
2,4	I,0I54	I,0310	-0,0094	0,1255	I,0493	0,2646
2,5	I,0I04	I,0I98	-0,0325	0,0999	I,0368	0,2350
2,6	I,0072	I,0I19	-0,0504	0,0775	I,0270	0,207I
2,7	I,0054	I,0067	-0,064I	0,0579	I,0I95	0,1809
2,8	I,0044	I,0033	-0,0739	0,0410	I,0I38	0,1565
2,9	I,0039	I,0014	-0,0807	0,0264	I,0096	0,1338
3,0	I,0038	I,0004	-0,0847	0,014I	I,0066	0,1I30

- изгибные осевые на наружной и внутренней поверхностях

$$\sigma_{ux} = \mp \frac{\delta M_1}{s^2}; \quad \sigma_{ux} = \pm \frac{\delta M_2}{s^2};$$

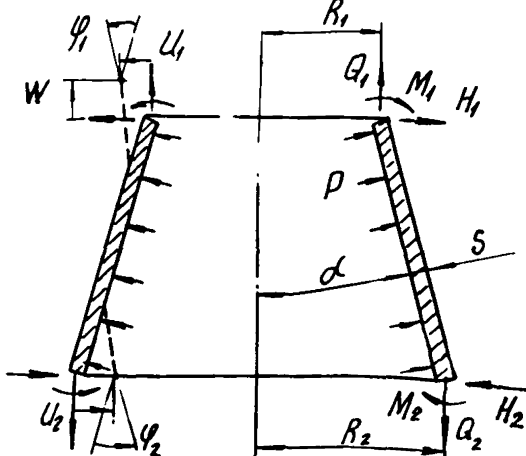
- изгибные окружные на наружной и внутренней поверхностях

$$\sigma_{u\varphi} = \nu \sigma_{ux}; \quad \sigma_{u\varphi} = \nu \sigma_{ux};$$

- касательные напряжения на торцах

$$\tau = \frac{|H_1|}{s}; \quad \tau = \frac{|H_2|}{s}.$$

4. Коническая оболочка (черт. 4)



черт. 4

4. I. Деформации:

$$\varphi_1 = \frac{1}{ES^2} (C_{11}M_1 + C_{12}H_1S + C_{13}M_2 + C_{14}H_2S + C_{15}Q_1S + C_{16}P_1S^2),$$

$$U_1 = \frac{1}{ES} (C_{21}M_1 + C_{22}H_1S + C_{23}M_2 + C_{24}H_2S + C_{25}Q_1S + C_{26}P_1S^2),$$

$$\varphi_2 = \frac{1}{ES^2} (C_{31}M_1 + C_{32}H_1S + C_{33}M_2 + C_{34}H_2S + C_{35}Q_2S + C_{36}P_2S^2),$$

$$U_2 = \frac{1}{ES} (C_{41}M_1 + C_{42}H_1S + C_{43}M_2 + C_{44}H_2S + C_{45}Q_2S + C_{46}P_2S^2),$$

$$W = \frac{1}{ES} (C_{51}M_1 + C_{52}H_1S + C_{53}M_2 + C_{54}H_2S + C_{55}Q_1S + C_{56}P_1S^2).$$

Для неусеченной конической оболочки:

$$\varphi_2 = \frac{1}{ES^2} (C_{33}M_2 + C_{34}H_2S + C_{35}Q_2S - C_{36}P_2S^2),$$

$$U_2 = \frac{1}{ES} (C_{34}M_2 + C_{44}H_2S + \bar{C}_{45}Q_3S - \bar{C}_{46}P_3S^2) .$$

4.2. Вспомогательные величины

$$\omega_1 = \sqrt{\frac{3(1-\nu^2)R_1^2}{S^2}}$$

$$\omega_2 = \sqrt{\frac{3(1-\nu^2)R_2^2}{S^2}} ;$$

$$\lambda = \frac{2\sqrt{G\alpha S}}{\sin\alpha} (\omega_2 - \omega_1) ;$$

$$\lambda_0 = \frac{R_2^2 - R_1^2}{2R_2S} ;$$

$$Q_2 = \frac{R_1}{R_2} Q_1 + \lambda_0 \rho S ;$$

$$C_{11} = B_{11}\omega_1 ; \quad C_{12} = C_{21} = B_{12}\omega_1^2 ; \quad C_{13} = B_{13}\omega_1 ;$$

$$C_{14} = C_{32} = B_{14}\omega_1\omega_2 ; \quad C_{15} = tg\alpha \left(\frac{1}{\cos\alpha} + C_{12} + \frac{R_1}{R_2} C_{14} \right) ; \quad C_{16} = tg\alpha \left(\lambda_0 C_{14} - \frac{2R_1}{S\cos\alpha} \right) ;$$

$$C_{22} = B_{22}\omega_1^3 ; \quad C_{23} = B_{24}\omega_1^2\omega_2 ; \quad C_{24} = B_{24}\omega_1^2\omega_2 ;$$

$$C_{25} = tg\alpha \left(C_{22} + \frac{R_1}{R_2} C_{24} \right) - \frac{\nu R_1}{S\cos\alpha} ; \quad C_{26} = \lambda_0 C_{24} tg\alpha + \frac{R_1^2}{S^2\cos\alpha}$$

$$C_{31} = B_{13}\omega_2 ; \quad C_{33} = B_{11}\omega_2 ; \quad C_{34} = C_{43} = B_{12}\omega_2^2 ;$$

$$C_{35} = tg\alpha \left(C_{32} + \frac{R_1}{R_2} C_{34} + \frac{R_1}{R_2 \cos\alpha} \right) ; \quad C_{36} = \frac{1}{2} \alpha \left(\lambda_0 C_{34} - \frac{3R_2^2 + R_1^2}{2R_2 S \cos\alpha} \right) ;$$

$$C_{41} = B_{14}\omega_2^2 ; \quad C_{42} = B_{24}\omega_1\omega_2^2 ; \quad C_{44} = B_{22}\omega_2^3 ;$$

$$C_{45} = tg\alpha \left(C_{42} + \frac{R_1}{R_2} C_{44} \right) + \frac{\nu R_1}{S\cos\alpha} ; \quad C_{46} = \lambda_0 C_{44} tg\alpha - \frac{(2-\nu)R_2^2 + \nu R_1^2}{2S^2\cos\alpha} ;$$

$$C_{51} = tg\alpha (B_{12}\omega_1^2 + B_{11}\omega_2^2) ; \quad C_{52} = tg\alpha (B_{22}\omega_1^2 + B_{24}\omega_1^2)\omega_2 ;$$

$$C_{53} = tg\alpha (B_{12}\omega_1^2 + B_{11}\omega_2^2) ; \quad C_{54} = tg\alpha (B_{22}\omega_1^2 + B_{24}\omega_1^2)\omega_2 ;$$

$$C_{55} = tg\alpha \left(C_{52} + \frac{R_1}{R_2} C_{54} \right) + \frac{R_1 L_n \frac{R_2}{R_1}}{S \sin\alpha \cos^2\alpha} ;$$

$$C_{56} = \lambda_0 \left[C_{54} tg\alpha - \frac{R_2 (3tg^2\alpha - 1 + 2\nu)}{2S \sin\alpha} \right] \frac{R_1^2 L_n \frac{R_2}{R_1}}{2S^2 \sin\alpha \cos^2\alpha} ;$$

$$\bar{C}_{35} = \left(C_{34} + \frac{1}{\cos \alpha} \right) \lg \alpha ;$$

$$\bar{C}_{45} = C_{44} \lg \alpha + \frac{V R_2}{S \cos \alpha} ;$$

Для очень короткой оболочки

$$B_{11} = B_{13} = \frac{12}{\lambda^3} \sqrt{\frac{3(1-\nu^2)}{\cos \alpha}} ;$$

$$B_{22} = \frac{4}{\lambda} \sqrt{\frac{\cos \alpha}{3(1-\nu^2)}} ;$$

Для короткой оболочки

$$B_{11} = 4\Phi_{11} \sqrt{\frac{3(1-\nu^2)}{\cos \alpha}} ;$$

$$B_{12} = 2\Phi_{12} ;$$

$$B_{22} = 2\Phi_{22} \sqrt{\frac{\cos \alpha}{3(1-\nu^2)}} ;$$

$$\bar{C}_{35} = \frac{2R_2 \lg \alpha}{S \cos \alpha} ;$$

$$\bar{C}_{46} = \frac{R_2^2}{S^2 \cos \alpha} .$$

$$\lambda < 0,3 ;$$

$$B_{12} = B_{13} = \frac{6}{\lambda^2} ;$$

$$B_{22} = \frac{2}{\lambda} \sqrt{\frac{\cos \alpha}{3(1-\nu^2)}} .$$

$$0,3 \leq \lambda \leq 3 :$$

$$B_{13} = 4\Phi_{13} \sqrt{\frac{3(1-\nu^2)}{\cos \alpha}} ;$$

$$B_{11} = 4\Phi_{11} ;$$

$$B_{22} = 2\Phi_{22} \sqrt{\frac{\cos \alpha}{3(1-\nu^2)}} .$$

Расчетные формулы для определения коэффициентов $\Phi_{11}, \Phi_{12}, \Phi_{13}, \Phi_{14}$

Φ_{22}, Φ_{24} приведены в п.3

Для длинной оболочки

$$B_{11} = 4 \sqrt{\frac{3(1-\nu^2)}{\cos \alpha}} ;$$

$$B_{12} = 2 ;$$

$$\lambda > 3$$

$$B_{22} = 2 \sqrt{\frac{\cos \alpha}{3(1-\nu^2)}} ;$$

$$B_{13} = B_{11} = B_{22} = 0 .$$

4.3. Расчет напряжений, возникающих в верхнем и нижнем сечениях, производится по формулам:

- мембранные осевые напряжения

$$\sigma_{mx} = \frac{1}{S} (Q_1 \cos \alpha - H_1 \sin \alpha) ; \quad \sigma_{mx} = \frac{1}{S} (Q_2 \cos \alpha - H_2 \sin \alpha) ;$$

- мембранные окружные напряжения

$$\sigma_{m\varphi} = V \sigma_{mx} + \frac{U_1 E}{R_1} , \quad \sigma_{m\varphi} = V \sigma_{mx} - \frac{U_2 E}{R_2} ;$$

- изгибные осевые на наружной и внутренней поверхностях

$$\sigma_{ix} = \pm \frac{6M_1}{S^2} , \quad \sigma_{ix} = \pm \frac{6M_2}{S^2}$$

- изгибные окружные на наружной и внутренней поверхностях

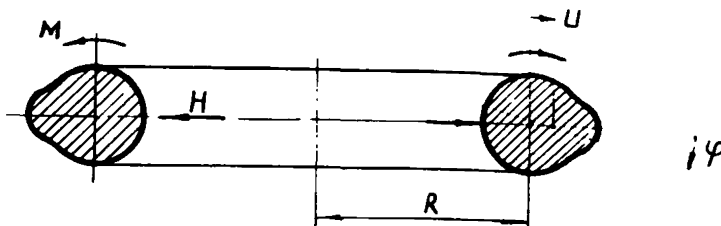
$$\sigma_{u\varphi} = \sqrt{\sigma_{ux}},$$

$$\sigma_{u\varphi} = \sqrt{\sigma_{ux}};$$

- касательные напряжения на торцах

$$\tau = \frac{|H_1 \cos \alpha + Q_1 \sin \alpha|}{S}, \quad \tau = \frac{|H_2 \cos \alpha + Q_2 \sin \alpha|}{S}.$$

5. ТОНКОЕ КОЛЬЦО (черт. 5,6)



Черт.5

5.1. Деформации:

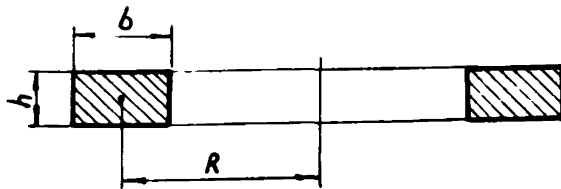
$$\varphi = \frac{MR^2}{EI}, \quad U = \frac{HR^2}{EF},$$

где M, H - крутящий момент, H , и радиальная нагрузка, $H/\text{мм}$, отнесенные к единице длины срединной окружности кольца радиусом R ;

I, F - минимальный момент инерции, мм^4 , и площадь, мм^2 поперечного сечения кольца.

5.2. Для тонкого кольца прямоугольной формы (черт.6) имеем:

$$I = \frac{bh^3}{12}, \quad F = bh.$$



Черт.6

Границы применимости расчетных формул:

$$\frac{2R+b}{2R-b} \leq 2, \quad \frac{h}{h} \geq 0,25$$

ПРИЛОЖЕНИЕ 2
Справочное

АЛГОРИТМЫ ДЛЯ ВЫЧИСЛЕНИЯ КОЭФФИЦИЕНТОВ

1. Коэффициенты Φ , приведенные в табл. I, вычисляются по формуле

$$\Phi = \frac{J_0 - \frac{0.7}{\alpha_e} J_1}{1 - J_0},$$

где

$$J_0 = 1 - \left(\frac{\alpha_e}{2} \right)^2 + \frac{1}{(1.2)^2} \left(\frac{\alpha_e}{2} \right)^4 - \frac{1}{(1.2.3)^2} \left(\frac{\alpha_e}{2} \right)^6 + \dots;$$

$$J_1 = \frac{\alpha_e}{2} \left[1 - \frac{1}{1.2} \left(\frac{\alpha_e}{2} \right)^2 + \frac{1}{(1.2)^2 3} \left(\frac{\alpha_e}{2} \right)^4 - \frac{1}{(1.2.3)^2 4} \left(\frac{\alpha_e}{2} \right)^6 + \dots \right].$$

2. Коэффициенты A_1 , приведенные в табл. 3, принимаются равными единице, если раз沃尔цовка теплообменных труб производится в отверстиях без канавок.Если раз沃尔цовка труб производится в отверстие с одной канавкой, то коэффициент A_1 вычисляется по формуле

$$A_1 = \frac{(1+B_4 C_5)(1+2C_1+C_2) - B_4 C_4 (C_2+C_3)}{(1+C_1)(1+C_3) - 0.5(1-C_2)^2},$$

где $R_T = \frac{1}{2}(d_o - S_T)$; $R_K = R_T + 0.5h_K$; $\beta = \sqrt{\frac{2.73}{R_T^2 S_T^2}}$;

$$\omega_K = \beta b_K; \quad F_K = b_K(h_K + S_T); \quad J_K = \frac{b_K(h_K + S_T)^3}{12};$$

$$B_1 = \frac{10.92 J_K}{B S_T^3 R_T R_K}; \quad B_2 = \frac{2 B R_T F_K}{S_T R_K}; \quad B_3 = \frac{b_K(d_o + 2h_K)}{2 R_T d_o} - \frac{d_o F_K}{4 R_T S_T R_K};$$

$$B_4 = \frac{8 \beta R_T^2}{d_o}; \quad B_0 = (1+B_1)(2+B_2) + B_2 (1+\omega_K)^2;$$

$$C_1 = \frac{2+B_2}{B_0}; \quad C_2 = \frac{1}{B_0} [2 + (4+B_2)\omega_K];$$

$$C_3 = \frac{1}{B_0} [1+B_1 + 0.5 B_2 \omega_K^2 + (1+2\omega_K)^2]; \quad C_4 = \frac{2 B_3}{B_0} (1+\omega_K);$$

$$C_5 = \frac{B_3}{B_0} [1+B_1 + (1+\omega_K)(1+2\omega_K)].$$

Если разводка труб производится в отверстия с дном или бортом канавками, то коэффициент A_1 вычисляется по формуле

$$A_1 = \frac{2B_4}{\Delta_{01}} \left[(C_2 - 2\omega_k C_1) \Delta_{11} + (C_3 - \omega_k C_2) \Delta_{21} \right],$$

$$\text{где } \lambda = \beta L_k; \quad \Phi_n = \frac{\operatorname{sh} \lambda \cdot \operatorname{ch} \lambda + \sin \lambda \cdot \cos \lambda}{\operatorname{sh}^2 \lambda - \sin^2 \lambda};$$

$$\varphi_{12} = \frac{\operatorname{sh}^2 \lambda + \sin^2 \lambda}{\operatorname{sh}^2 \lambda - \sin^2 \lambda}; \quad \varphi_{13} = \frac{\operatorname{sh} \lambda \cdot \cos \lambda + \operatorname{ch} \lambda \cdot \sin \lambda}{\operatorname{sh}^2 \lambda - \sin^2 \lambda};$$

$$\varphi_{14} = \frac{\operatorname{sh} \lambda \cdot \sin \lambda}{\operatorname{sh}^2 \lambda - \sin^2 \lambda}; \quad \varphi_{22} = \frac{\operatorname{sh} \lambda \cdot \operatorname{ch} \lambda - \sin \lambda \cdot \cos \lambda}{\operatorname{sh}^2 \lambda - \sin^2 \lambda}$$

$$\varphi_{24} = \frac{\operatorname{ch} \lambda \cdot \sin \lambda - \operatorname{sh} \lambda \cdot \cos \lambda}{\operatorname{sh}^2 \lambda - \sin^2 \lambda}; \quad \sigma_n = 2(C_1 + \varphi_{11});$$

$$\sigma_{12} = C_2 - \varphi_{12}; \quad \sigma_{13} = 2\varphi_{13}; \quad \sigma_{14} = -2\varphi_{14};$$

$$\sigma_{22} = C_3 + \varphi_{22}; \quad \sigma_{24} = \varphi_{24}; \quad \Delta_0 = \sigma_{11} \sigma_{22} - \sigma_{12}^2;$$

$$\Delta_1 = \sigma_{12} \sigma_{14} - \sigma_{13} \sigma_{22}; \quad \Delta_2 = \sigma_{12} \sigma_{24} - \sigma_{14} \sigma_{22};$$

$$\Delta_3 = \sigma_{22} C_4 - \sigma_{12} C_5; \quad \Delta_4 = \sigma_{12} \sigma_{13} - \sigma_{11} \sigma_{14};$$

$$\Delta_5 = \sigma_{12} \sigma_{14} - \sigma_{11} \sigma_{24}; \quad \Delta_6 = \sigma_{11} C_5 - \sigma_{12} C_4;$$

$$A_{11} = \sigma_{11} + \frac{\sigma_{13} \Delta_1 + \sigma_{14} \Delta_4}{\Delta_0}; \quad A_{12} = \sigma_{12} + \frac{\sigma_{13} \Delta_2 + \sigma_{14} \Delta_5}{\Delta_0};$$

$$A_{22} = \sigma_{22} + \frac{\sigma_{14} \Delta_2 + \sigma_{24} \Delta_5}{\Delta_0}; \quad C_{41} = -\frac{\sigma_{13} \Delta_3 + \sigma_{14} \Delta_6}{\Delta_0};$$

$$C_{51} = \frac{1}{B_4} - \frac{\sigma_{14} \Delta_3 + \sigma_{24} \Delta_6}{\Delta_0}; \quad \Delta_{01} = A_{11} A_{22} - A_{12}^2;$$

$$\Delta_{11} = A_{22} C_{41} - A_{12} C_{51}; \quad \Delta_{21} = A_{11} C_{51} - A_{12} C_{41};$$

L_k - расстояние между канавками.

С О Д Е Р Ж А Н И Е

1. Расчет греющих камер	2
1.1. Исходные данные	2
1.2. Определение возможности развалычки труб в решетке	8
1.3. Определение минимальной толщиной трубной решетки....	9
1.4. Расчет нагрузок	11
1.5. Расчет трубных решеток	34
1.6. Расчет теплообменных труб.....	36
1.7. Расчет прочности обечаек.....	41
1.8. Расчет деталей фланцевого разъема.....	41
2. Расчет осевых компенсаторов	43
2.1. Исходные данные	43
2.2. Расчет линзовых компенсаторов	45
2.3. Расчет стяжек для линзовых компенсаторов.....	48
2.4. Расчет и конструирование пружинных компенсаторов...	49
3. Расчет мест пересечения осесимметрично нагруженных оболочек вращения	53
3.1. Место пересечения конической оболочки сепаратора с цилиндрической оболочкой колпака греющей камеры.....	53
3.2. Место пересечения конической оболочки сепаратора с цилиндрической оболочкой колпака греющей камеры, подкрепленное ступенчатой цилиндрической оболочкой...	57
3.3. Место крепления конической оболочки к цилиндрической оболочке сепаратора через кольцо	63
4. Расчет фланцевых соединений	67
4.1. Фланцевое соединение сепаратора с колпаком греющей камеры	67
4.2. Двухпорное фланцевое соединение на шпильках.....	80
4.3. Двухпорное фланцевое соединение на болтах.....	85

Приложение 1. Обязательное. Деформации и напряжения в используемых деталях	91
Приложение 2. Справочное .Алгоритмы для вычисления коэффициентов	108

УкрНИИхиммаш

Зам.директора к.т.н.

Л.П.Перчев

Зав.отделом стандартизации

В.И.Шанденко

Зав.отделом прочности

В.И.Стогний

Руководитель разработки

к.т.н.

П.С.Марченко

Исполнители

Н.Д.Шарапова

В.Н.Нелиуба

Д.Г.Рязов

СОГЛАСОВАНО:

НИИхиммаш

Зам.директора

П.Ф.Серб

Лист регистрации изменений

ПЕРЕЧЕНЬ
документов, на которые даны ссылки в руководством
техническом материале

ГОСТ 14249-80 . Сосуды и аппараты. Нормы и методы расчета на прочность.

ГОСТ 13764-68- ГОСТ 13776-68. Пружины винтовые, цилиндрические сжатия и растяжения из стали круглого сечения.

ГОСТ 25859-83. Сосуды и аппараты стальные. Нормы и методы расчета на прочность при малоциклических нагрузлениях.

ОСТ 26-291-79. Сосуды и аппараты стальные сварные. Технические требования.

ОСТ 26-373-78. Сосуды и аппараты. Нормы и методы расчета на прочность фланцевых соединений.

ОСТ 26-01-II2-79. Аппараты выпарные трубчатые стальные. Общие технические условия.

ОСТ 26-II85-81. Сосуды и аппараты. Нормы и методы расчета на прочность. Элементы теплообменных аппаратов.

ОСТ 26-І7-01-83. Аппараты теплообменные и аппараты воздушного охлаждения стандартные. Технические требования к развалцовке труб с ограниченным крутящим моментом.

Заказ № 312

Тираж 100 экз.

Ротапринт УкрНИИхиммаша, г.Харьков, ул. Маршала Конева, 21